

საქართველოს ტექნიკური უნივერსიტეტი

ლეგან მებონია

ენგურჟესის პიდროგენერატორის ტირისტორული აგზნების სისტემაში
ელექტრომაგნიტური პროცესები

წარმოდგენილია დოქტორის აკადემიური ხარისხის მოსაპოვებლად

სადოქტორო პროგრამა: „ენერგეტიკა და ელექტროინჟინერია“
შიფრი: 0405

საქართველოს ტექნიკური უნივერსიტეტი

თბილისი, 0175, საქართველო

მარტი, 2018 წელი

საავტორო უფლება © 2018 წელი, ლეგან მებონია

თბილისი

2018 წელი

**საქართველოს ტექნიკური უნივერსიტეტი
ენერგეტიკისა და ტელეკომუნიკაციის ფაკულტეტი**

ჩვენ, ხელისმომმწერნი ვადასტურებთ, რომ გავეცანით ლევან მებონიას მიერ შესრულებულ სადისერტაციო ნაშრომს დასახელებით: „ენგურპესის ჰიდროგენერატორის ტირისტორული აგზნების სისტემაში ელექტრომაგნიტური პროცესები“ და ვაძლევთ რეკომენდაციას საქართველოს ტექნიკური უნივერსიტეტის ენერგეტიკისა და ტელეკომუნიკაციის ფაკულტეტის სადისერტაციო საბჭოში მის განხილვას დოქტორის აკადემიური ხარისხის მოსაპოვებლად.

მარტი, 2018 წელი

ხელმძღვანელი ----- პროფესორი თამაზ კოხრეიძე

რეცენზენტი -----

რეცენზენტი -----

საქართველოს ტექნიკური უნივერსიტეტი
2017 წელი

ავტორი: მებონია ლევან

თემის დასახელება: ენგურჰესის პიდროგენერატორის ტირისტორული აგზების სისტემაში ელექტრომაგნიტური პროცესები

ფაკულტეტი: ენერგეტიკისა და ტელეკომუნიკაციის

სარისხი: აკადემიური დოქტორი

სხდომა ჩატარდა: მარტი, 2018 წ.

ინდივიდუალური პიროვნებების ან ინსტიტუტების მიერ ზემოთმოყვანილი დასახელების დისერტაციის გაცნობის მიზნით მოთხოვნის შემთხვევაში მისი არაკომერციული მიზნებით კოპირებისა და გავრცელების უფლება მინიჭებული აქვს საქართველოს ტექნიკურ უნივერსიტეტს.

ავტორის ხელმოწერა

ავტორი ინარჩუნებს დანარჩენ საგამომცემლო უფლებებს და არც მოლიანი ნაშრომის და არც მისი ცალკეული კომპონენტების გადაბეჭდვა ან სხვა რაიმე მეთოდით რეპროდუქცია დაუშვებელია ავტორის წერილობითი ნებართვის გარეშე.

ავტორი ირწმუნება, რომ ნაშრომში გამოყენებული საავტორო უფლებებით დაცული მასალებზე მიღებულია შესაბამისი ნებართვა (გარდა ის მცირე ზომის ციტატებისა, რომლებიც მოითხოვენ მხოლოდ სპეციფიურ მიმართებას ლიტერატურის ციტირებაში, როგორც ეს მიღებულია სამეცნიერო ნაშრომების შესრულებისას) და ყველა მათგანზე იღებს პასუხისმგებლობას.

რეზიუმე

ენერგოსისტემაში სინქრონული მანქანების მუშაობის ეფექტურობა მჭიდროდაა დაკავშირებული აგზნების სისტემის საიმედო მუშაობასთან.

თანამედროვე სინქრონული თბო და ჰიდროგენერატორები აღჭურვილია თვითაგზნების ციფრული სისტემებით. მძლავრი სინქრონული გენერატორების თვითაგზნების სისტემებში გამოიყენება მძლავრდენისა ტირისტორული გარდამქმნელები, რომელშიც ნორმირებული დენები უზრუნველყოფილია რამოდენიმე ვენტილური შტოების პარალელური შეერთებით, შესრულებული ბოგირული სქემით. სინქრონული გენერატორების აგზნების სისტემასთან წაყვეტული მოთხოვნების შესაბამისად, თვითაგზნების სისტემამ უნდა უზრუნველყოს მათი მუშაობის ყველა რეჟიმი, მათ შორის სინქრონული გენერატორის გამოყვანებზე ძაბვის ფორსირების ჩათვლით, როცა ადგილი აქვს მოკლე შერთვას ენერგოსისტემაში.

აგზნების სისტემაში მრავალ როულ მოვლენებს შორის განსაკუთრებული ადგილი უკავია ელექტრომაგნიტურ პროცესებს. სადისერტაციო სამუშაოში აღნიშნული პროცესები განხილულია სტატიკური ტირისტორული თვითაგზნების სისტემისათვის და მოიცავს დამყარებულ და გარდამავალ რეჟიმებს. თანამედროვე თვითაგზნების სისტემებში მიკროპროცესორული მართვის გამოყენება ქმნის პირობას მძლავრდენისა ტირისტორული გარდამქმნელის მართვის ეფექტური ალგორითმის დამუშავებისა, რომელიც ითვალისწინებს რეალურ ელექტრომაგნიტურ და თბურ რეჟიმებს გარდამქმნელის მუშაობაში, უზრუნველყოფს გენერატორის ფორსირებას, როცა ადგილი აქვს შტოებში პარალელური ვენტილების მტყუნებას.

ნაშრომის პირველ თავში წარმოდგენილია ჰიდროგენერატორის მძლავრდენისა ტირისტორული აგზნების სისტემაში ელექტრომაგნიტური პროცესების მათემატიკური მოდელი. მოცემულია ჰიდროგენერატორის სტატიკური მძლავრდენისა ტირისტორული აგზნების სისტემა.

განხილულია აგზნების სისტემის მუშაობის თავისებურებანი. ელექტრომაგნიტური პროცესები ტირისტორული აგზნების სისტემაში განიხილება გამართველ სისტემებში ჯერ ერთჯგუფიანი, შემდეგ ორჯგუფიანი გარდამქმნელის ბოგირული სქემით. გენერატორის აგზნების დენი ნორმალურ რეჟიმში განისაზღვრება გარდამქმნელის გარე მახასიათებლის და ძაბვების ვექტორული დიაგრამის საშუალებით. მიღებულია ძირითადი თანაფარდობები როგორც ერთჯგუფიანი ისე თრჯგუფიანი გარდამქმნელებისთვის, რომლებიც საშუალებას იძლევა ელექტრომაგნიტური პროცესების ანალიზის. მიღებულია სამფაზა მოკლე შერთვის რეჟიმისთვის განტოლებები. მოკლე შერთვა განხილულია გენერატორის გამოყვანებსა და გადამცემი ხაზის დასაწყისში, რომელიც წარმოადგენს გაცილებით მძიმე პირობას თვითაგზნების სისტემის მუშაობის დროს. ამიტომ გარდამავალი პროცესის გამოკლევა მიზანშეწონილია შესრულდეს აღნიშნული ზღვრული შემთხვევისათვის. მიღებულია პერიოდული და

აპერიოდული მდგენელების საანგარიშო თანაფარდობები, რომლებიც იძლევიან პროცესების ანალიზის ჩატარების საშუალებას.

ნაშრომის მეორე თავში ჩატარებულია პიდროგენერატორის სტატიკური მდლავრდენისა ტირისტორული აგზების სისტემაში სამფაზა მოკლე შერთვის რეჟიმის ანალიზი. განხილულია მოკლე შერთვა მიმდევრობითი ვოლტსამატი ტრანსფორმატორის არსებობის დროს და მის გარეშე.

დადგენილია, რომ ვოლტსამატი ტრანსფორმატორის არსებობის დროს აგზების სისტემის ეფექტურობა სამფაზა მოკლე შერთვის შემთხვევაში გადამცემი ხაზის დასაწყისში მიიღწევა სამი ვენტილის რიგითობითი მუშაობის რეჟიმში, ე.ი. გარე მახასიათებლის ელიფსურ მონაკვეთზე; განხილულია არასიმეტრიული მოკლე შერთვის დროს თვითაგზებით პიდროგენერატორის მუშაობა, როცა სისტემაში გვაქვს მიმდევრობითი ვოლტსამატი ტრანსფორმატორი. ნაჩვენებია, რომ მიმდევრობითი ვოლტსამატი ტრანსფორმატორი აუმჯობესებს ძაბვების სიმეტრიას ვენტილურ გარდამტმნელზე. მიღებულია ძირითადი თანაფარდობები არასიმეტრიული მოკლე შერთვის რეჟიმების ანგარიშისათვის.

შესწავლილია ფორსირებისა და განაგზების პროცესი. ნაჩვენებია, რომ გენერატორის დინამიკური მდგრადობის ამაღლებისათვის აუცილებელია აგზების ფორსირება არა მხოლოდ მოკლე შერთვის დროს, არამედ მისი გამორთვის შემდეგაც, როცა მიმდინარეობს ზემოთხოვესის ზრდა.

ნაშრომის მესამე თავში მოცემულია პიდროგენერატორის სტატიკური მდლავრდენისა ტირისტორული აგზების სისტემაში ელექტრომაგნიტური პროცესები და მათი განსაკუთრებულობა. განხილულია აგზების სხვადასხვა სქემები: აგზება გაწონასწორებული მართვადი სქემით, ნულოვანი ვენტილებით და სამფაზა გამმართველით, არასიმეტრიული მართვის სქემა, თვითაგზების ტირისტორული სისტემა ნულოვანი ვენტილებით და ექსფაზა სქემით სამფაზა გამათანაბრებელი რეაქტორით, სამფაზა ბოგირული სქემა ორი ნულოვანი ვენტილით. მოცემული სქემებისათვის მიღებულია ძირითადი თანაფარდობები ელექტრომაგნიტური პროცესების ანგარიშისათვის და ჩატარებულია მათი ანალიზი. ამავე თავში შესწავლილია წრედის ცვლადი მდგენელების გავლენა ცვლადი დენის ძაბვაზე. დადგენილია, რომ ექვსფაზა სქემაში სამფაზა გამათანაბრებელი რეაქტორით, მის გარეშე დენის ცვლადი მდგენელის გავლენა გამართული ძაბვის საშუალო მნიშვნელობაზე მიიღება მეტი, ვიდრე სამფაზა ბოგირული სქემაში და აღწევს $12\div 15\%$.

ნაშრომის მეოთხე თავში მოცემულია რეგულირებად პიდროგენერატორში გარდამავალი ელექტრომაგნიტური პროცესები. გამოკვეთილია პიდროგენერატორში რეგულირების ამოცანები. მიღებულია რეგულირებადი პიდროგენერატორის განტოლებები. დადგენილია რეგულირების სისტემის გავლენა პიდროგენერატორის დინამიკურ თვისებაზე. შედგენილია აგზების რეგულირების განზოგადოებული სტრუქტურული სქემა. განხილულია პიდროგენერატორის მუშაობა არასიმეტრიული დატვირთვის დროს. მოცემულია პიდროგენერატორის ტირისტორული აგზების სისტემის

წრედებში გადამეტმაბვები, განპირობებული კომუნიკაციური პროცესებით მოცემულია სქემა გადამეტმაბვისგან დაცვის.

ნაშრომის მეხუთე თავში მოცემულია ენგურჰესის 306 მგვა სიმძლავრის პიდროგენერატორის მართვისა და რეგულირების მახასიათებლები. პიდროგენერატორის და ტირისტორული აგზნების პარამეტრები. მიკროპროცესორების გამოყენება ენგურჰესის პიდროგენერატორების მართვისა და რეგულირების მოწყობილობებში. მოცემულია პიდროგენერატორის რეჟიმების ელექტრომაგნიტური პარამეტრების ცვლილების ოსცილოგრამები დროში.

Summary

High efficiency of synchronous operation of machines in energy system is closely related to reliable work of excitation system.

Nowadays, lots of synchronous heat and hydro generators are equipped with self-excitation digital systems. In the self-excitation systems of powerful synchronous generators are used high-current thyristor converters, in which the rated currents are provided with parallel connection of several valve branches, which are usually executed by bridge circuit. According to requirements imposed to excitation system of synchronous generators, self-excitation system has to provide all modes of their operation, including power boost (voltage forcing) at leads of synchronous generator, where short circuit takes place in energy system.

Electromagnetic processes hold a special place among many complex phenomena taking place in excitation system.

Mentioned processes are considered in the thesis for static thyristor self-excitation system and include steady and transitional states. Use of microprocessor management in modern self-excitation systems creates conditions for development of effective and more functional algorithm for control of high-current thyristor converter, which foresees real electromagnetic and heat modes in converters' operation in order to provide generator forcing while failure of parallel valves in branches.

In the first chapter we see mathematical model of electromagnetic processes in high-current thyristor excitation system of hydrogenerator. There is the static high-current thyristor excitation system of hydrogenerator. Peculiarities of excitation system operation are considered. Electromagnetic processes in thyristor excitation system first of all are considered in rectifying systems. First is considered the excitation system with bridge circuit of one-group, and then two-group converter. Excitation in normal mode is identified by means of vector diagram of external rectifier characteristic and voltages. Basic ratios are obtained both for one-group and two-group converters that makes possible carrying out of analysis of electromagnetic processes. There are obtained equations for three-phase short circuit mode. Short circuit is considered in generator leads and in the beginning of transmission line that is much more complex condition during operation of self-excitation system. That is why is expedient to explore transition process for mentioned boundary case. There are obtained design ratios both for periodical and non-periodical components that makes possible carrying out of process analysis.

In the second chapter of the work we observe the analysis of three-phase short circuit mode in static high-current thyristor excitation system of generator. Short circuit is considered in case of existence of series step-up (boost) transformer and without it.

It is established that when step-up (boost) transformer is available the efficiency of excitation system in case of three-phase short circuit in the beginning

of transmission line is attained in alternate operation mode of three valves, i.e. at elliptic segment of external characteristic. There is considered the operation of hydrogenerator with self-excitation during non-symmetric short circuit, when we have series step-up transformer in the system. It is shown that series step-up transformer improves voltage symmetry of valve converter. Basic ratios are obtained for calculation of non-symmetric short circuit modes. Processes of forcing and de-excitation are studied. It is shown that excitation forcing is compulsorily for enhancement of transient (dynamic) stability of generator not only during short circuit, but also after its switching-out, when θ angle gets bigger.

The third chapter provides electromagnetic processes in the static high-current thyristor excitation system of generator, as well as their peculiarity, various excitation systems are considered, such as: excitation via balanced controllable circuit; three-phase rectifier with zero valves; non-symmetric control circuit; self-excitation thyristor system with zero valves and with six-phase circuit and three-phase balancing reactor; three-phase bridge circuit with two zero valves. Basic ratios for given circuit are obtained for calculation of electromagnetic processes and their analysis is carried out. In the same chapter is studied the effect of alternating circuit component on ac current voltage (volts alternating current). It is established that in six-phase circuit with three-phase balancing reactor, without it the effect of alternating current component on average value of rectified voltage is more than in three-phase bridge circuit and it reaches 12÷15%.

In the fourth chapter of the work are given transition electromagnetic processes controlled in hydrogenerator. Issues of hydrogenerator control (regulation) are singled out. Equations for controlled hydrogenerator are obtained. Effect of control system on dynamic properties of hydrogenerator is established. Generalized structural chart of hydrogenerator excitation control system is composed. Operation of hydrogenerator in case of non-symmetric load is considered. Excess voltages in thyristor excitation system circuits of hydrogenerator are studied. There is given a circuit of protection from the excess voltage caused by commutation processes in converters.

In the fifth chapter of the work there are given characteristics of control and regulation of 306 MgWt generator of Enguri HPP; devices for hydrogenerator and thyristor excitation system and their parameters; use of microprocessors in control and regulation devices of Enguri HPP hydrogenerator. Experimental oscillograms of electromagnetic processes in thyristor excitation devices of hydrogenerator are given.

შინაარსი

შესავალი	17
ლიტერატურული მიმოხილვა.....	20
შედეგები და მათი განსჯა.....	25
თავი I. პიდროგენერატორის მძლავრდენისა ტირისტორული აგზნების სისტემაში ელექტრომაგნიტური პროცესების მათემატიკური მოდელი.....	25
1.1. პიდროგენერატორის სტატიკური მძლავრდენისა ტირისტორული აგზნების სისტემა	25
1.2. სტატიკური მძლავრდენისა ტირისტორული აგზნების სისტემაში ელექტრომაგნიტური პროცესების მათემატიკური მოდელი	27
1.3. სამფაზა მოკლე შერთვის რეჟიმი.....	33
თავი II. პიდროგენერატორის სტატიკური მძლავრდენისა ტირისტორული აგზნების სისტემაში სამფაზა მოკლე შერთვის რეჟიმის ანალიზი.....	43
2.1. სამფაზა მოკლედ შერთვის დროს მიმდევრობითი ვოლტსამატი ტრანსფორმატორის მოქმედების ეფექტურობა	43
2.2. არასიმეტრიული მოკლე შერთვის დროს თვითაგზნებით პიდროგენერატორის მუშაობა	50
2.3. თვითაგზნება მიმდევრობითი ვოლტსამატი ტრანსფორმატორის გამოყენების გარეშე	61
2.4. ფორსირებისა და განაგზნების პროცესები	62
2.5. ასინქრონული რეჟიმის, თვითსინქრონიზაციის და რესინქრონიზაციის განსაკუთრებულობა	62
თავი III. პიდროგენერატორის სტატიკური მძლავრდენისა ტირისტორული აგზნების სისტემაში ელექტრომაგნიტური პროცესები.....	63
3.1. ელექტრომაგნიტური პროცესების განსაკუთრებულობა	63
3.2. არასიმეტრიული მართვის სქემა	66
3.3. სქემები ნულოვანი ვენტილებით	69
3.4. წრედის ცვლადი მდგენელების გავლენა ცვლადი დენის ძაბვაზე	73
თავი IV. რეგულირებად პიდროგენერატორში გარდამავალი ელექტრომაგნიტური პროცესები	77

4.1. პიდროგენერატორში რეგულირების ამოცანები	77
4.2. რეგულირებადი პიდროგენერატორის განტოლებები	78
4.3. რეგულირების სისტემის გავლენა პიდროგენერატორის <u>დინამიკურ</u> თვისებაზე.....	82
4.4. რეგულირებადი პიდროგენერატორის განზოგადოებული <u>სტრუქტურული</u> სქემა.....	87
4.5. პიდროგენერატორის მუშაობა არასიმეტრიული <u>დატვირთვის</u> დროს	91
4.6. პიდროგენერატორის ტირისტორული აგზების სისტემის <u>წრედებში</u> გადამეტაბები	98
თავი V. ენგურჰესის 306 მგვა სიმძლავრის პიდროგენერატორის მართვისა და რეგულირების ექსპერიმენტალური მახასიათებლები	104
5.1. ენგურჰესის 306 მგვა სიმძლავრის პიდროგენერატორის ტირისტორული აგზების მოწყობილობები და მათი პარამეტრები.....	104
5.2. მიკროპროცესორების გამოყენება ენგურჰესის პიდროგენერატორების მართვისა და რეგულირების მოწყობილობებში.....	107
5.3. ენგურჰესის 306 მგვა სიმძლავრის პიდროგენერატორის ტირისტორული აგზების მოწყობილობებში ექსპერიმენტალური ელექტრომაგნიტური პროცესები	128
დასკვნები.....	145
გამოყენებული ლიტერატურა.....	148

ცხრილების ნუსხა

	გვ.
ცხრილი 4.1. სინქრონული მანქანის სტატორის და როტორის გრაგნილებში მაღალი რიგის ჰარმონიკების წარმოქმნის მექანიზმი.....	97
ცხრილი 5.1. რეგულატორების შედარებითი მახასიათებლები.....	124
ცხრილი 5.2. შეტყობინების ტექსტი.....	130
ცხრილი 5.3. შეტყობინების ტექსტი.....	131
ცხრილი 5.4. შეტყობინების ტექსტი.....	132
ცხრილი 5.5. შეტყობინების ტექსტი.....	133
ცხრილი 5.6. შეტყობინების ტექსტი.....	134

ნახაზების ნუსხა

გვ.

ნახ.1.1. პიდროგენერატორის სტატიკური ტირისტორული აგზების სისტემა.....	26
ნახ. 1.2. გარდამქმნელის ორჯგუფიანი სქემა ტირისტორული აგზების სისტემის.....	31
ნახ. 2.1. დამოკიდებულება $k_{\text{pp}} = f(k)$ (1) და $\sqrt{6} E = f(k)$ (2).....	46
ნახ. 2.2. დამოკიდებულება $\alpha = f(k), \gamma = f(k)$	46
ნახ.2.3. მიმდევრობითი და გამმართველი ტრანსფორმატორების სიმძლავრეების დამოკიდებულება k -თან.....	48
ნახ. 2.4. თვითაგზნების სისტემის მოქმედების ეფექტურობა სამფაზა მშის რეჟიმში გადამცემი ხაზის დასაწყისში, როცა $X_{d1} = 0,5\%$	49
ნახ. 2.5. გადამცემი ხაზის დასაწყისში ორფაზა მშის დროს მიწაზე ძაბვებისა და დენების ვექტორული დიაგრამა.....	54
ნახ. 2.6. ელექტროგადაცემის ჩანაცვლების სქემა.....	58
ნახ. 3.1. ამაღლებული ფორსირების ჯერადობის დროს გამართული ძაბვა ($\gamma = 0$).....	65
ნახ. 3.2. აგზნება გაწონასწორებული მართვადი სქემით I – მთავარი გენერატორი, II – დამხმარე გენერატორი.....	65
ნახ. 3.3. ნულოვანი ვენტილებით და სამფაზა გამმართველებით აგზნების სქემა.....	65
ნახ. 3.4. პიდროგენერატორის აგზნების სისტემის პრინციპული სქემა...68	
ნახ. 3.5. აგზნების ფორსირების ჯერადობის დამოკიდებულება ტიპიური სიმძლავრისაგან.....	69
ნახ. 3.6. თვითაგზნების ტირისტორული სისტემა ნულოვანი ვენტილებით და ექვსფაზა სქემით სამფაზა გამათანაბრებელი რეაქტორით.....	70

ნახ.3.7. ა) სამფაზა ბოგირული სქემა ორი ნულოვანი ვენტილით 1,2 (ა), ფაზური დენი და გამართული ძაბვა სამფაზა სქემაში ნულოვანი ვენტილით (ბ).....	71
ნახ. 3.8. $\gamma_1, \gamma_2, \gamma_3$ კომუტაციის კუთხეების განსაზღვრა.....	74
ნახ. 3.9. გამართული ძაბვის საშუალო მნიშვნელობის განსაზღვრის ცდომილების მრუდი.....	75
ნახ. 4.1. ელექტროსისტემის უმარტივესი სქემა.....	79
ნახ. 4.2. ძლიერი მოქმედების რეგულატორის ჩანაცვლების სქემა.....	81
ნახ. 4.3. ჰიდროგენერატორის აგზნების რეგულირების სისტემის განხოგადოებული სტრუქტურული სქემა.....	90
ნახ. 4.4. გადამეტმაბეჭისაგან დაცვა, განპირობებული კომუტაციური პროცესებით გარდამქმნელში.....	102
ნახ. 5.1. აგზნების ავტომატური რეგულატორის ფუნქციონალური სქემა.....	110
ნახ. 5.2. აგზნების ციფრული რეგულატორის ბლოკ-სქემა.....	121
ნახ. 5.3. ტირისტორული გარდამქმნელის ფუნქციონალური სქემა ციფრული მართვის სისტემით.....	126
ნახ. 5.4. ჰიდროგენერატორის რეჟიმის პარამეტრების ცვლილების ოსცილოგრამები დროში.....	135
ნახ. 5.5. ჰიდროგენერატორის რეჟიმის პარამეტრების ცვლილების ოსცილოგრამები დროში.....	136
ნახ. 5.6. ჰიდროგენერატორის რეჟიმის პარამეტრების ცვლილების ოსცილოგრამები დროში.....	137
ნახ. 5.7. ჰიდროგენერატორის რეჟიმის პარამეტრების ცვლილების ოსცილოგრამები დროში.....	138
ნახ. 5.8. ჰიდროგენერატორის რეჟიმის პარამეტრების ცვლილების ოსცილოგრამები დროში.....	139
ნახ. 5.9. ჰიდროგენერატორის რეჟიმის პარამეტრების ცვლილების ოსცილოგრამები დროში.....	140
ნახ. 5.10. ჰიდროგენერატორის რეჟიმის პარამეტრების ცვლილების ოსცილოგრამები დროში.....	141
ნახ. 5.11. ჰიდროგენერატორის რეჟიმის ელექტრომაგნიტური პარამეტრების ცვლილების ოსცილოგრამები დროში.....	142

ნახ. 5.12. პიდროგენერატორის რეჟიმის ელექტრომაგნიტური პარამეტრების ცვლილების ოსცილოგრამები დროში.....	143
ნახ. 5.13. პიდროგენერატორის რეჟიმის ელექტრომაგნიტური პარამეტრების ცვლილების ოსცილოგრამები დროში.....	144

მირითადი აღნიშვნები

$\cos\varphi$ – სიმძლავრის კოფიციენტი

t_g – ფორსირების გადატვირთვის დრო

P – აქტიური სიმძლავრე

γ – კომუტაციის კუთხე

\bar{E} – ფაზური მნიშვნელობის კომუტაციის ემდ

\bar{U} – გენერატორის ძაბვა

\bar{I} – გენერატორის დენი

k_{pp} – გამძართველი ტრანსფორმატორის ტრანსფორმაციის კოეფიციენტი

X'_M – ტრანსფორმატორის ინდუქციური წინაღობა

E_m – ემდ-ის ამპლიტუდა

φ – კუთხე U და I შორის

U_d – აგზების წრედის ძაბვა

I_d – გამართული დენის საშუალო მნიშვნელობა

α – მძლავრდენისა ტირისტორის მართვის კუთხე

ΔU – პირდაპირი ძაბვის ვარდნა ტირისტორებში სქემის ერთ მხარეს

R_f – ომური წინაღობა აგზების გრაგნილის და შემაერთებელი კაბელების მუდმივი დენის მხარეზე

k – აგზების ფორსირების ჯერადობა

U_{dH} – აგზების წრედის ძაბვა ნომინალურ რეჟიმში

X_{d1} – ტრანსფორმატორის პირველადი გრაგნილის ინდუქციური წინაღობა

K – მიმღევრობითი ტრანსფორმატორის ტრანსფორმაციის კოეფიციენტი

Y_P – კომუტაციის კუთხე მხოლოდ ერთი მუშა ჯგუფის მუშაობის დროს

X_P, r_P – ინდუქციური და აქტიური წინაღობა მოკლე შერთვის დროს გამძართველი ტრანსფორმატორის პირველადი და ნაწილი მეორადი გრაგნილის, შემაერთებელი კაბელების გათვალისწინებით

X_B – ინდუქციური წინაღობა მშის წერტილსა და გენერატორის გამომყვანებს შორის

r -ჯამური წინაღობა სტატორის წრედის მშის წერტილამდე

P_1 -ტირისტორული აგზების სისტემის რეგულირების ($\alpha \neq 0$) დროს გარდამავალი დენების მდგენელების მიღევის კოეფიციენტი

P_{10} -ტირისტორული აგზების სისტემის არარეგულირების ($\alpha = 0$) დროს გარდამავალი დენის მდგენელების მიღევის კოეფიციენტი

e_d –სინქრონული გენერატორის ე.მ.ძ.

$K(P)$ –რეგულატორის, აგზების სისტემის და როტორის გადამცემი ფუნქცია

შესავალი

ენერგოსისტემაში სინქრონული მანქანების მუშაობის მაღალი ეფექტურობა მჭიდროდაა დაკავშირებული აგზნების და აგზნების ავტომატური რეგულატორების სრულყოფილი სისტემების გამოყენებასთან.

ამჟამად, ფართოდ გამოიყენება სტატიკური და მბრუნავი ნახევრადგამტარული გამმართველები, რომლებმაც მთლიანად შეცვალეს აგზნების კოლექტორული სისტემები.

აგზნების სისტემაში მრავალ რთულ მოვლენას შორის განსაკუთრებული ადგილი უკავია ელექტრომაგნიტურ პროცესებს. მოცემულ სამუშაოში აღნიშნული პროცესები განხილულია სტატიკური ტირისტორული თვითაგზნების სისტემებისათვის და მოიცავს დამყარებულ და გარდამავალ რეჟიმებს.

მძლავრდენისა ნახევრადგამტარული გენტილების გამოყენებას შემოაქვს სპეციფიკური განსაკუთრებულობა მოწყობილობის ექსპლოატაციაში, რომელიც მუშაობს მანქანის როტორის გრაგნილის წრედში. მათ მიეკუთვნება მაღალსიხშირული რჩევები და გადამეტაბებები.

დენების ცვლილების არასინუსოიდური ხასიათმა გამოიწვია აუცილებლობა მოქმედი და ჰარმონიკული დენების ანგარიშის მეთოდების განვითარებისა.

აგზნების სისტემას და აგზნების ავტომატურ რეგულატორს გააჩნია გადამწყვეტი გავლენა სინქრონული გენერატორების სტატიკურ და დინამიკურ მდგრადობაზე. გამომდინარე აქედან ჰიდროგენერატორის ტირისტორული აგზნების სისტემაში ელექტრომაგნიტური პროცესების შესწავლა არ კარგავს აქტუალობას.

სადისერტაციო ნაშრომში ელექტრომაგნიტური პროცესების შესწავლა მოიცავს შემდეგ საკითხებს:

ჰიდროგენერატორის ტირისტორული აგზნების სისტემაში ელექტრომაგნიტური პროცესების მათემატიკური მოდელის დამუშავებას როგორც სიმეტრიული სამფაზა მოკლე შერთვის ისე არასიმეტრიული

მოკლე შერთვის დროს. პიდროგენერატორის ტირისტორული აგზნების სისტემის სხვადასხვა სქემების, სამფაზა ბოგირული სქემა ნულოვანი გენტილებით და მის გარეშე; თვითაგზნების ტირისტორული სისტემა ნულოვანი გენტილებით და ექვსფაზა სქემით სამფაზა გამათანაბრებელი რეაქტორით, კვლევას. მიღებული ძირითადი თანაფარდობების საფუძველზე რეგულირების კუთხის და კომუტაციის კუთხის ცვლილების არის განსაზღვრას. ნულოვანი გენტილების როლის კვლევას პიდროგენერატორის ტირისტორული აგზნების სისტემის სხვადასხვა სქემებში. პიდროგენერატორის ტირისტორული აგზნების სისტემაში მიმდევრობითი ვოლტსამატი ტრანსფორმატორის როლს. კვლევების პროცესში გამოყენებული იქნა ინდუქციურად და კავშირებული წრედების თეორია და მათემატიკური მოდელირების მეთოდები.

ნაშრომის სამეცნიერო სიახლეა:

1. დამუშავებულია პიდროგენერატორის ტირისტორული აგზნების სისტემაში ელექტრომაგნიტური პროცესების საანგარიშო მათემატიკური მოდელი როგორც სიმეტრიული სამფაზა მოკლე შერთვის ისე არასიმეტრიული მოკლე შერთვის დროს.
2. გამოკვლეულია პიდროგენერატორის ტირისტორული აგზნების სისტემის სხვადასხვა სქემები: სამფაზა ბოგირული სქემა ნულოვანი გენტილებით და მის გარეშე; თვითაგზნების ტირისტორული სისტემა ნულოვანი გენტილებით და ექვსფაზა სქემით სამფაზა გამათანაბრებელი რეაქტორით. მიღებული ფორმულების საფუძველზე აგებულია რეგულირების კუთხის და კომუტაციის კუთხის ცვლილების არე (α, γ) კორდინატებში. აღნიშნული დიაგრამები ნათელ წარმოდგენას იძლევიან ტირისტორული აგზნების სისტემის ყველა რეჟიმში მუშაობაზე.
3. ნაჩვენებია, რომ ტირისტორული აგზნების სისტემაში ნულოვანი გენტილების გამოყენება ახდენს მთელი რიგი უწესრივობათა აცილებას, ხარისხოვნად აუმჯობესებს ტირისტორული აგზნების სისტემას.

სადისერტაციო სამუშაოში მიღებული შედეგები შეიძლება გამოყენებული იქნეს სინქრონული თბო და პიდროგენერატორების ტირისტორული აგზნების სისტემის ექსპლუატაციის პროცესში.

სადისერტაციო სამუშაოების შედეგები გამოქვეყნებული იქნა ოთხ სამეცნიერო სტატიაში.

სადისერტაციო სამუშაოს ძირითადი შედეგები მოხსენებული იქნა აკაკი წერეთლის სახელმწიფო უნივერსიტეტში მე-III საერთაშორისო სამეცნიერო კონფერენციაზე, ენერგეტიკა: რეგიონული პრობლემები და განვითარების პერსპექტივები (2015 წ).

ლიტერატურული მიმოხილვა

თანამედროვე სინქრონული თბო და პიდროგენერატორები აღჭურვილია თვითაგზნების ციფრული სისტემებით [1-3]. მძლავრი სინქრონული გენერატორების თვითაგზნების სისტემებში გამოიყენება მძლავრდენისა ტირისტორული გარდამქმნელები (ტგ), რომელშიც ნორმირებული დენები უზრუნველყოფილია რამოდენიმე გენტილური შტოების პარალელური შეერთებით. აღნიშნული შეერთება სტრუქტურულად და კონსტრუქციულად რეალიზებულია ან გარდამქმნელის მხარში ან პარალელურ გენტილურ ნაწილებში, ჩვეულებრივ შესრულებული ბოგირული სქემით [1,4-10]. სინქრონული გენერატორების (სგ) აგზნების სისტემასთან წაყენებული მოთხოვნების შესაბამისად, თვითაგზნების სისტემამ უნდა უზრუნველყოს მათი მუშაობის ყველა რეჟიმი, მათ შორის სგ-ის გამომყვანებზე ძაბვის ფორსირება, როცა ადგილი აქვს მოკლე შერთვას (ტგ) ენერგოსისტემაში [11-14]. პარალელური შტოების ან გენტილური ნაწილების მტყუნება მძლავრდენისა გარდამქმნელში იწვევს მისი დატვირთვის უნარიანობის შემცირებას, რის შედეგად იზღუდება სინქრონული გენერატორის მუშაობის რეჟიმები. ამავე დროს ძაბვის ფორსირების უზრუნველყოფა სგ-ის გამომყვანებზე წარმოადგენს აუცილებელ პირობას ენერგოსისტემაში ავარიის დროს გ-ის მდგრადი მუშაობის შენარჩუნებისათვის აუცილებელ პირობას. ამგვარად საანგარიშო რეჟიმებში ტირისტორების არჩევის დროს თვითაგზნების სისტემაში მიიღება გენერატორის ფორსირება რამოდენიმე პარალელური გენტილების ერთდროული მტყუნების გათვალისწინებით. ერთ მხარში გენტილების მტყუნების რიცხვიდან დამოკიდებულებაში სახელმწიფო სტანდარტი ადგენს გენერატორის როტორის დენის შეზღუდვას და შემოაქვს აკრძალვა სგ-ის გამომყვანებზე ძაბვის ფორსირებაზე [15-19].

თუმცა ამ დროს არ ითვალისწინება სიტუაცია, რომელშიც ტგ-ს გააჩნია უნარი ადადგინოს ძაბვა სგ-ის გამომყვანებზე ნორმირებულზე ნაკლები დენის მიხედვით ფორსირების ფაქტიური ჯერადობის დროს.

გარდა ამისა ფორსირების რეალური ხანგრძლივობა განისაზღვრება მშ-ის გამორთვის დროით და წარმატებული გამორთვის შემთხვევაში როცა განვითარებული მშ ხშირად აღმოჩნდება მნიშვნელოვნად ნაკლები ნორმირებულზე [20]. ამიტომ, როცა მშ-ის გამორთვის დრო არ აჭარბებს ტბ-ის გახურების ხანგრძლივობას ზღვრულ დასაშვებ ტემპერატურამდე, ფორსირება არ იწვევს ტირისტორების გახურებას და არ უნდა იყოს მიზეზი მისი შეწყვეტისა. თანამედროვე თვითაგზნების სისტემებში მიკროპროცესორული მართვის გამოყენება [16,18] ქმნის პირობას მძლავრდენისა ტირისტორული გარდამქმნელის მართვის ეფექტური ალგორითმის დამუშავებისა, რომელიც ითვალისწინებს რეალურ ელექტრომაგნიტურ და თბურ რეჟიმებს გარდამქმნელის მუშაობაში, უზრუნველყოს გენერატორის ფორსირება, როცა ადგილი აქვს შტოებში პარალელური ვენტილების მტყუნებას.

რადგანაც ფორსირების დასაშვები ხანგრძლივობა შეზღუდულია ტირისტორების გახურების დროით ნორმირებული ტემპერატურამდე, ამიტომ მისი სიდიდე დამოკიდებულია მრავალ ფაქტორზე: წინა რეჟიმში ვენტილური გარდამქმნელის დატვირთვა, გარდამქმნელის მხარში გამტარი ვენტილური შტოების რაოდენობა, ტირისტორების გახურების ტემპერატურის ტექნოლოგიური გაფანტვა და სხვა. გარდა ამისა თვითაგზნების სისტემაში ვენტილური გარდამქმნელი კვებას ღებულობს სგ-ის გამოყვანებიდან და ამიტომ მისი მუშაობის პირობებზე და რეჟიმზე ფორსირების პროცესში ახდენენ გავლენას გარდამავალი პროცესები არა მხოლოდ როტორის წრედში არამედ სგ-ის სტატორის წრედში. [21-24]. შედეგად, მისწრაფებისა შეინარჩუნოს სინქრონული გენერატორის ფუნქციონალური შესაძლებლობა პარალელური ტირისტორების მტყუნების დროს, საჭიროა გათვალისწინებული იქნეს სინქრონულ გენერატორში და ტირისტორულ გარდამქმნელში პროცესების ურთიერთკავშირი. ამ შემთხვევაში უნდა განისაზღვროს დამოკიდებულება დენის მიხედვით ფორსირების დასაშვები ჯერადობისა და მისი ხანგრძლივობისა მშ-ის სახეობისა და დაშორებისაგან.

თვითაგზნების სინქრონული გენერატორის მუშა რეჟიმში ტირისტორული გარდამქმნელის ყველა მხარში დატვირთვა, როგორც წესი ერთნაირია. დატვირთვის არათანაბარი განაწილება აღიძვრება პარალელური ვენტილური შტოების მტყუნების დროს ან გენერატორის არასიმეტრიული მშის დროს. ამ შემთხვევაში განსხვავება ტირისტორების გახურების ტემპერატურას შორის სხვადასხვა მხარში დამოკიდებულია ტირისტორული გარდამქმნელის მკვებავი ძაბვების არასიმეტრიულობისაგან, ტირისტორების მართვის სისტემის შესრულებისაგან და მკვებავი ქსელის ძაბვასთან მისი სინქრონიზაციის მეთოდით. გარდამქმნელის იმპულსურ-ფაზური მართვის დროს მისი მუშაობის რეჟიმები განისაზღვრება ტირისტორების ჩართვის კუთხებით, რომლის მართვა შეიძლება განხორციელდეს სხვადასხვაგვარად [25-26] აგზნების დენის შეზღუდვა ტირისტორების სიმეტრიული მართვის დროს საშუალებას იძლევა საჭირო დროის მომენტში შეამციროს ძაბვის მიხედვით ფორსირების ჯერადობა და ამით შეზღუდოს აგზნების დენი და აიცილოს გარდამქმნელის გადახურება ფორსირების დენით. მეორე მხრივ, თუ გარდამქმნელის სხვადასხვა მხარში ტირისტორების დატვირთვა ამა თუ იმ მიზეზის გამო აღმოჩნდება არა ერთნაირი, მაშინ სიმეტრიული მართვა არ იძლევა საშუალებას სრულად გამოვიყენოთ გარდამქმნელის არსებული მარაგი. ეს შესაძლებელია მხოლოდ მხრების არასიმეტრიული მართვის დროს.

აღნიშნული რეზერვის რეალიზაცია საშუალებას იძლევა არა მხოლოდ აგვაცილოს ტირისტორული გარდამქმნელის გადახურება ფორსირებული დენით პარალელური ტირისტორების მტყუნების დროს, არამედ იმოქმედოს მისი დასაშვები ხანგრძლივობაზე და მით მეტი შეინარჩუნოს ფუნქციონალური თვისება ტირისტორული გარდამქმნელის და თვითაგზნების სისტემის ტირისტორების უფრო უფექტური მართვის ხარჯზე.

ამიტომ ტირისტორული გარდამქმნელის ეფექტური მართვის ალგორითმის დამუშავება, მოითხოვს ფორსირებული რეჟიმის კვლევას ტირისტორების მართვის სხვადასხვა მეთოდის დროს. გარდა ამისა

მოკლე შერთვის დროს ენერგოსისტემაში სინქრონული გენერატორის გამომყვანებზე ძაბვა და, შესაბამისად ფორსირების ჯერადობა ძაბვის მიხედვით მცირდება. ამიტომ აღნიშნულ რეჟიმებში ტირისტორების მართვით, შეიძლება ავიცილოთ ჯერადობის ასეთი შემცირება, რომლის დროსაც შეუძლებელია ფორსირება ან აღიძვრება ძაბვის ზვავი სინქრონული გენერატორის გამომყვანებზე [27-31]. აღნიშნული ამოცანის გადაწყვეტისათვის გამოკვლეული უნდა იქნეს დამოკიდებულება ფორსირების დასაშვები ხანგრძლივობის გენერატორის როტორის ძაბვისა და დენის მიხედვით ჯერადობისაგან ტირისტორების სხვადასხვა მეთოდით მართვის დროს.

ამისათვის უნდა ჩატარდეს შემდეგი ლონისძიებები:

- უნდა დამყარდეს ურთიერთკავშირი ტირისტორების მართვის მეთოდებს შორის, მხრებში დენების განაწილებასთან, გარდამქმნელის გამართულ ძაბვასთან და თბური დანაკარგებთან მათ ვენტილებში სინქრონული გენერატორის გარედ სხვადასხვა სახის მშის დროს.
- უნდა დაუკავშირდეს ელექტროტბური პროცესები ტირისტორული გარდამქმნელში ელექტრომაგნიტური გარდამავალ პროცესებთან სინქრონული გენერატორის გრაგნილებში ენერგოსისტემაში მშ-ს სხვადასხვა ხანგრძლივობისა და დაშორებისა.
- განისაზღვროს ფორსირების დასაშვები ჯერადობა და ხანგრძლივობა ტირისტორების მართვის სხვადასხვა მეთოდებისათვის. აღნიშნული ამოცანის გადაწყვეტოსათვის აუცილებელია მათემატიკური მოდელი სინქრონული გენერატორის თვითაგზნების სისტემით, რომელმაც უნდა აღწეროს ურთიერთკავშირი ტირისტორული გარდამქმნელის ელემენტების პარამეტრებსა და სინქრონული გენერატორის შორის მუშაობის გარდამავალ რეჟიმში, ტირისტორების მართვის შესაძლო მეთოდების გათვალისწინებით.

აგზნების ვენტილური სისტემებით სინქრონული მანქანების მუშაობის რეჟიმების ანალიზი და ანგარიშის საკითხები განხილული

იქნა ცნობილი მეცნიერების მხრივ, როგორებიც იყვნენ: გორევი ა.ა., ვენიკოვი ს.ა., ულიანოვი ა.ა., კოვაჩი ა.ა., კაზოვსკი ე.პ., კრიუჩიოვი ი.პ., ოურგანოვი ა.ს., ესიპოვიჩი ა.ხ., ლოხანინი ე.პ., და სხვა., ხოლო სამუშაოებში გლებოვი ი.ა., ვინოგრადოვი ა.ა., ვეიგანდტი ვ.ი., კოსტელიანცი ვ.ს., აბრამოვიჩი ბ.ნ., პლახტინი ო.გ., ლოგინოვი ა.გ., ლუტიძე შ.ი., მაღლაფერიძე ო.კ., ფედოტოვი ა.ი და შემდეგი. სინქრონული გენერატორების ანალიზი განიხილება თვითაგზნების ვენტილურ სისტემებთან. აღნიშნულ სამუშაოებში სინქრონული გენერატორის აგზნების დენის მიხედვით ფორსირების ჯერადობის შეზღუდვა პარალელური ვენტილების შტოების დროს არ განიხილება. ურთიერთკავშირში ძაბვის მიხედვით ჯერადობასთან და ფორსირების დასაშვები ხანგრძლივობასთან. ამიტომ დასმულია ამოცანა – დამუშავდეს მათემატიკური მოდელი “სინქრონული გენერატორი თვითაგზნების სისტემით – მძლავრდენისა ტორისტორული გარდამქნელი”, რომელშიც ტირისტორულ გარდამქმნელში ელექტროობელური პროცესებთან, და მის საფუძველზე დამუშავდეს მიკროპროცესორული მოწყობილობებით მართვადი თვითაგზნების სისტემის მართვის ალგორითმი ტირისტორული გარდამქმნელის პარალელური ვენტილების მტკუნების დროს, როდესაც შენარჩუნებული იქნეს სინქრონული გენერატორების და მათი მძლავრდენისა თვითაგზნების სისტემების მაღალი ფუნქციონალური თვისებები ენერგოსისტემაში მშის დროს.

შედეგები და მათი განსჯა

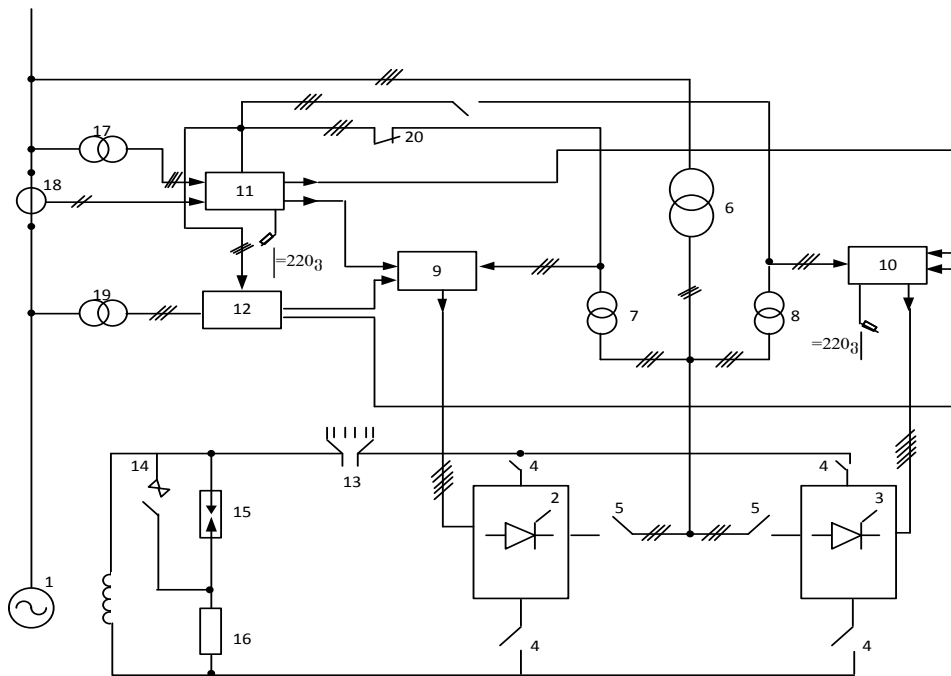
თავი I. პიდროგენერატორის მძლავრდენისა ტირისტორული აგზნების სისტემაში ელექტრომაგნიტური პროცესების მათემატიკური მოდელი

1.1. პიდროგენერატორის სტატიკური მძლავრდენისა ტირისტორული აგზნების სისტემა

ნახ.1.1. მოცემულია პიდროგენერატორის სტატიკური მძლავრდენისა ტირისტორული აგზნების სისტემა. როტორის გრაგნილი კვებას ღებულობს გამმართველებიდან, რომლებიც მიერთებული არიან გამმართველი ტრანსფორმატორის მეორად გრაგნილთან. პირველადი გრაგნილი უშუალოდ მიერთებულია პიდროგენერატორის გამომყვანებთან. გამმართველებს ცვლადი და მუდმივი დენის მხარეს გააჩნია ჩამრაზები. ეს იძლევა საშუალებას პროფილაქტიკური და სარემონტო სამუშაოების ჩატარებისა ერთ-ერთ მათგანზე განერატორის გამორთვის გარეშე.

გამმართველების თბური ანგარიში ითვალისწინებს შემდეგი პირობების შესრულებას:

- ნომინალური მუშაობის რეჟიმი უზრუნველყოფილია ვენტილების სრული რიცხვის დროს და როცა თითოეულ მხარეში პარალელურ შტოდან ერთ-ერთის მტყუნებას აქვს ადგილი;
- გადატვირთვა ფორსირების დროს (t_g) ნომინალური რეჟიმიდან $2I_{d\sigma}$ -მდე; აღნიშნული რეჟიმი უზრუნველყოფილი უნდა იქნეს ვენტილების სრული რიცხვის დროს და როცა თითოეულ მხარეში პარალელურ შტოდან ერთ-ერთის მტყუნებას აქვს ადგილი;



ნახ.1.1. პიდროგენერატორის სტატიკური მძლავრდენისა ტირისტორული აგზების სისტემა 1-პიდროგენერატორი; 2,3-ტირისტორული გარდამქმნელები; 4-ჩამრაზები მუდმივი დენის მხარეს; 5-ჩამრაზები ცვლადი დენის მხარეს; 6-გამმართველი ტრანსფორმატორი; 7,8-საკუთარი მოხმარების ტრანსფორმატორები; 9,10- მძლავრდენისა ტირისტორული გარდამქმნელების მართვის სისტემები; 11-აგზების აგტომატური რეგულატორი; 12-ძაბვის აგტომატური რეგულატორი; 13-კელის ქრობის აგტომატი; 14-თვითსინქრონიზაციის კონტაქტორი; 15-მცლელი; 16-თვითსინქრონიზაციის წინაღობა; 17,19-ძაბვის ტრანსფორმატორები; 18-დენის ტრანსფორმატორი; 20-კელის რელე.

დატვირთვის შეზღუდვის რეჟიმი $P = P_B$ და $\cos \varphi = 1$ უზრუნველყოფილი უნდა იქნეს როცა ადგილი აქვს გამმართველის ნებისმიერ მხარეში ორი პარალელური შტოს მტყუნებას ან როცა ადგილი აქვს ორი გამმართველიდან ერთ-ერთის გამორთვას.

საწყისი აგზება გენერატორის ქსელში ჩართვის დროს ზუსტი სინქრონიზაციის მეთოდით, ხორციელდება საკუთარი მოხმარების 0,4 კვ ძაბვის ქსელიდან ან სააკუმულატორო ბატარეადან.

კელის ქრობა გენერატორის მუშაობის ნორმალურ რეჟიმში ხორციელდება, როცა ადგილი აქვს აგრეგატის ნორმალურ გაჩერებას, გარდამქმნელის ინვერტორულ რეჰიმში გადაყვანით, ხოლო ავარიულ რეჰიმში კელის ქრობის ავტომატით.

აგზნების რეგულირება ხორციელდება ძლიერი მოქმედების აგზნების ავტომატური რეგულატორით, რომელიც ზემოქმედებს ტირისტორული გამმართველების ორივე მართვის სისტემაზე.

ძლიერი მოქმედების აგზნების ავტომატური რეგულატორის პარალელურად გვაქვს პროპორციული მოქმედების ძაბვის ავტომატური რეგულატორი, რომელიც მუშაობაში შედის ძირითადი რეგულატორის გამორთვის დროს. ძაბვის ავტომატური რეგულატორი მუშაობს ორ რეჟიმში - მიმყოლი და წამყვანი; მას გააჩნია მახსოვრობის და რეგულირების არხები. მიმყოლ რეჟიმში ძაბვის ავტომატური რეგულატორი იმახსოვრებს სიგნალებს, პროპორციულ გენერატორის სტატორზე ძაბვის და მიწოდებულს ტირისტორების მართვის სისტემაზე მთავარი რეგულატორიდან. მთავარი რეგულატორის გამორთვის დროს ძაბვის ავტომატური რეგულატორი გადადის წამყვან რეჟიმში და ახორციელებს გენერატორის ძაბვის რეგულირებას. ძაბვის ავტომატური რეგულატორის დანაყენის ცვლილება მიმდინარეობს დისტანციურად მართვის ფარიდან. მთავარი რეგულატორის გადასვლის დროს სარეზერვოზე, როტორის დენის ცვლილება არ აჭარბებს $\pm 10\%$. მოცემულ აგზნების სისტემაში გამმართველებს გააჩნია ბუნებრივი საპაერო გაცივება.

1.2. სტატიკური მძლავრდენისა ტირისტორული აგზნების სისტემაში ელექტრომაგნიტური პროცესების მათემატიკური მოდელი

ტირისტორული აგზნების სისტემაში ელექტრომაგნიტური პროცესები უპირველეს ყოვლისა განიხილება გამმართველ სისტემებში. თავიდან განვიხილება აგზნების სისტემა ერთჯგუფიანი, შემდეგ ორჯგუფიანი გარდამქმნელის ბოგირული სქემით [52,54].

გენერატორის აგზნების დენი ნორმალურ რეჟიმში განისაზღვრება გარდამქმნელის გარე მახასიათებლის და ძაბვების ვექტორული

დიაგრამის საშუალებით. გამმართველი ნორმალურ რეჟიმში მუშაობს კომუტაცის კუთხით γ . ფაზური მნიშვნელობის კომუტაციის ემდენისას შემდეგი გამოსახულებით

$$\bar{E} = \frac{\bar{U}}{k_{\text{pp}}} + jx'_M \bar{I}, \quad (1.1)$$

სადაც \bar{U} და \bar{I} - გენერატორის ძაბვა და დენი, k_{pp} - გამმართველი ტრანსფორმატორის ტრანსფორმაციის კოეფიციენტი, x'_M - ტრანსფორმატორის ინდუქციური წინაღობა.

თუ აგზნების ავტომატური რეგულატორი ინარჩუნებს მუდმივ U ძაბვას გენერატორის მომჭერებზე, მაშინ $U = \text{const.}$ იმ შემთხვევაში, როცა შენარჩუნებულია ძაბვა მუდმივი არა გენერატორის მომჭერებზე, არამედ სადგურის მაღალი ძაბვის სალტებზე, აუცილებელია გავითვალისწინოთ ძაბვის ვარდნა ამამაღლებელ ტრანსფორმატორში.

(1.1) განტოლებიდან გპოულობთ ემდ-ის ამპლიტუდას

$$E_m = \sqrt{2} \sqrt{\left(\frac{U}{k_{\text{pp}}} + Ix'_M \sin \varphi \right)^2 + (Ix'_M \cos \varphi)^2} \quad (1.2)$$

სადაც Φ -კუთხე U და I შორის.

აგზნების წრედისთვის გვექნება [32]

$$U_d = \frac{3\sqrt{3}}{\pi} E_m \cos \alpha - 2\Delta U - \frac{3}{\pi} x I_d - \left(2 - \frac{3\gamma}{2\pi} \right) r I_d, \quad (1.3)$$

სადაც α - მართვის კუთხე, ΔU - პირდაპირი ძაბვის ვარდნა ტირისტორებში სქემის ერთ მხარეს, I_d - გამართული დენის საშუალო მნიშვნელობა.

(1.2) და (1.3) გამოსახულებიდან ერთჯგუფიანი გარდამქმნელის სქემისთვის გპოულობთ

$$\begin{aligned} I_d R_f + \frac{3}{\pi} x I_d + \left(2 - \frac{3\gamma}{2\pi} \right) r I_d + 2\Delta U = \\ = \frac{3\sqrt{6}}{\pi} \sqrt{\left(\frac{U}{k_{\text{pp}}} + Ix'_M \sin \varphi \right)^2 + (Ix'_M \cos \varphi)^2 \cos \alpha}, \end{aligned} \quad (1.4)$$

სადაც R_f -ომური წინაღობა აგზნების გრაგნილის და შემაერთებელი კაბელების მუდმივი დენის მხარეზე.

დენი I და $\cos\varphi$ განისაზღვრება სინქრონული გენერატორის მუშაობის რეჟიმით. გენერატორის აგზნების დენი I_d გამოითვლება ძაბვების ვექტორული დიაგრამის საშუალებით.

მართვის კუთხე ა დამოკიდებულია იმაზე, თუ როგორი საწყისი რეჟიმია მიღებული აგზნების ფორსირების დროს. ძაბვის შემცირებისას ჭერული ძაბვის მნიშვნელობა აგზნების ავტომატური რეგულატორის შესასვლელში უნდა აღწევდეს 5%-მდე ფორსირების ჯერადობის დროს 3 და 7,5%-მდე, ფორსირების დიდი ჯერადობის დროს. თუ ავღნიშნავთ

$$\varepsilon = \frac{100 - (5 \div 7,5)}{100},$$

მაშინ ფორსირების რეჟიმში α -ს მყისი ცვალებადობით ნულამდე (1.4)-დან მივიღებთ

$$KI_d R_f + \frac{3}{\pi} I_d + \left(2 - \frac{3\gamma}{2\pi}\right) r I_d + 2\Delta U = \frac{3\sqrt{6}}{\pi} \sqrt{\left(\frac{\varepsilon U}{k_{np}} + IX'_M \sin\varphi\right)^2 + (IX'_M \cos\varphi)^2}, \quad (1.5)$$

სადაც k - აგზნების ფორსირების ჯერადობა, დენები I_d და I , აგრეთვე $\cos\varphi$ იგივეა, რაც (1.4)-ში.

უნდა აღინიშნოს, რომ ძაბვის შემცირება 5 და 7,5%-ზე წარმოადგენს ზღვრულს. ძლიერი მოქმედების აგზნების ავტომატურ რეგულატორს გააჩნია საქმარისი მაღალი რეგულირების კოეფიციენტი ძაბვის მიხედვით. თუ მაგალითად, რეგულირების კოეფიციენტი ტოლია 50, მაშინ ჩვეულებრივი ფორსირების ჯერადობის 2-ის დროს და საწყისი ნომინალური რეჟიმის დროს აგზნების ჭერული ძაბვა იქნება მიღწეული გენერატორის ძაბვის 2%-ით შემცირების დროს. მოყვანილი მაგალითი მიუთითებს შესაძლებლობებზე მხედველობაში არ მივიღოთ გენერატორის ძაბვის მცირე შემცირება აგზნების ფორსირების დროს საწყისი ნომინალური რეჟიმიდან. ამ შემთხვევაში (1.4)-დან (1.5)-ის ნაცვლად გვექნება

$$\cos\varphi = 1 - \left(K - \frac{U_d}{U_{dH}}\right) \frac{\pi U_{dH}}{3\sqrt{6}E}, \quad (1.6)$$

სადაც U_d -საწყისი ძაბვა, ხოლო U_{dH} -ძაბვა ნომინალურ რეჟიმში.

სავარაუდო ანგარიშების დროს დასაშვებია (1.4)-ის კიდევ გამარტივება თუ დაუშვებთ, რომ მიმდევრობითი ტრანსფორმატორის

გრაგნილებისთვის მაგნიტური კავშირის კოეფიციენტი მიახლოებით ტოლია ერთის. ამ შემთხვევაში

$$X'_M = kX_{\Delta 1}, \quad X_H = k^2 X_{\Delta 1} + X_T,$$

სადაც k -მიმდევრობითი ტრანსფორმატორის ტრანსფორმაციის კოეფიციენტი, $X_{\Delta 1}$ -ტრანსფორმატორის პირველადი გრაგნილის ინდუქციური წინაღობა. მაშინ (1.4) გარდაიქმნება შემდეგი სახით

$$I_d R_f + \frac{3}{\pi} \left(k^2 X_{\Delta 1} + X_T \right) + \left(2 - \frac{3y}{2\pi} \right) (r_{\Delta 2} + r_T) I_d + 2\Delta U =$$

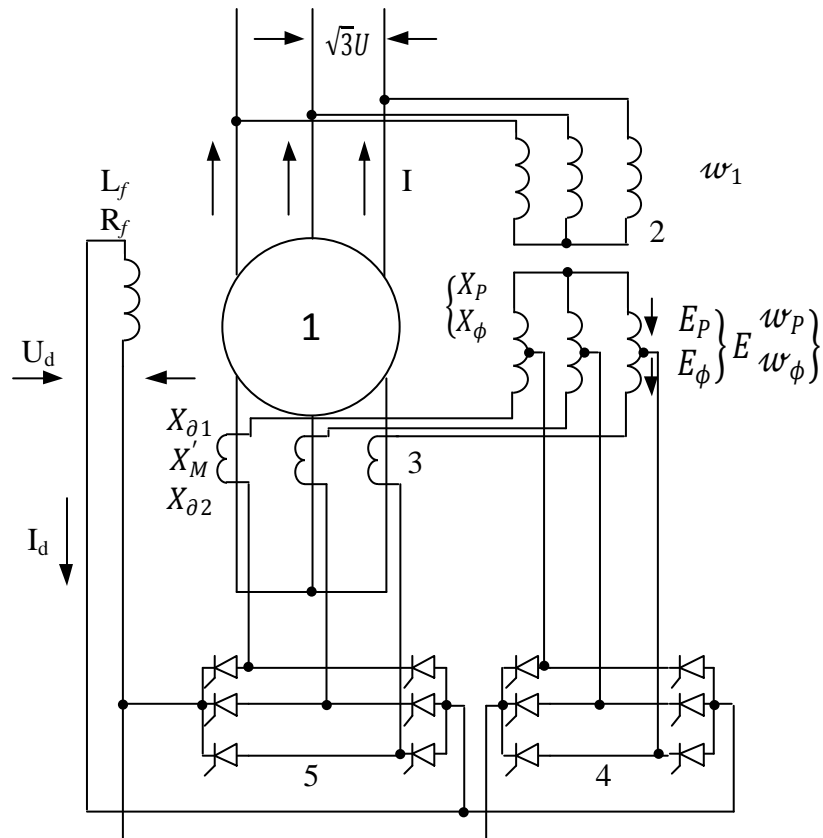
$$\frac{3\sqrt{6}}{\pi} \sqrt{\left(\frac{U}{k_{pp}} + IKX_{\Delta 1} \sin\varphi \right)^2 + \left(IKX_{\Delta 1} \cos\varphi \right)^2 \cos\alpha} \quad (1.7)$$

გამოსახულების შემდეგი გამარტივება, მდგომარეობს ტრანსფორმატორების და შემაერთებელი კაბელების აქტიური წინაღობების უგულველყოფით. მაშინ

$$I_d R_f + \frac{3}{\pi} \left(k^2 X_{\Delta 1} + X_T \right) + 2\Delta U = \frac{3\sqrt{6}}{\pi} \sqrt{\left(\frac{U}{k_{pp}} + IKX_{\Delta 1} \sin\varphi \right)^2 + \left(IKX_{\Delta 1} \cos\varphi \right)^2 \sin\alpha} \quad (1.8)$$

(1.6)-დან შეიძლება ვიპოვოთ $\cos\alpha$. მაშინ (1.8) ადგენს კავშირს k_{pp}, k და $X_{\Delta 1}$ მთავარი პარამეტრებს შორის. ამიტომ მათი განსაზღვრისათვის საჭიროა დამატებითი განტოლებები, რომლებიც ქვემოდ იქნება მიღებული გარდამავალი პროცესების შესწავლის საფუძველზე.

ნახ.1.2 ნაჩვენებია ტირისტორული აგზნების სისტემის გარდამქმნელის ორჯგუფიანი სქემა.



ნახ.1.2. გარდამქმნელის ორჯგუფიანი სქემა ტირისტორული აგზნების სისტემის:

1-სინქრონული გენერატორი, 2-გამმართველი ტრანსფორმატორი,
3-მიმდევრობითი ვოლტსამატი ტრანსფორმატორი, 4-ვენტილების მუშა
კბუფი, 5-ვენტილების ფორსირებული კბუფი.

აგზნების სისტემის ორჯგუფიანი სქემის შემთხვევაში (ნახ.1.2) გრაგნილების ფორსირებული ნაწილი ახდენს მცირე გავლენას გარე მახასიათებელზე. ამიტომ საწყის რეჟიმში

$$E_{mp} = \sqrt{2} \frac{(1-a)U}{k_{np}}, \quad (1.9)$$

სადაც $a = \frac{\omega_\phi}{\omega}$, $k_{np} = \omega_1/\omega$ (ω_ϕ -ხვიათა რიცხვი გრაგნილის ფორსირებული ნაწილის, ω -მეორადი გრაგნილის სრული ხვიათა რიცხვი), ω_1 – გამმართველი ტრანსფორმატორის პირველადი გრაგნილის ხვიათა რიცხვი).

(1.9)-ის მხედველობაში მიღებით, (1.4)-ის ნაცვლად გვექნება

$$I_d R_f + \frac{3}{\pi} \chi_P I_d + \left(2 - \frac{3yp}{2\pi}\right) r_P I_d + 2\Delta U = \frac{3\sqrt{6}(1-a)U}{\pi k_{np}} \quad (1.10)$$

აქ γ_P -კომუტაციის კუთხე მხოლოდ ერთი მუშა ჯგუფის მუშაობის დროს, X_P და r_P -ინდუქციური და აქტიური წინაღობა მოკლე შერთვის დროს გამმართველი ტრანსფორმატორის პირველადი და მეორადი გრაგნილის მუშა ნაწილის, შემაერთებელი კაბელების გათვალისწინებით.

თუ საწყის რეჟიმში ადგილი აქვს მუშა და ფორსირებული ჯგუფის ვენტილების მონაცვლეობით მუშაობას, მაშინ

$$U_d = \frac{3\sqrt{3}}{\pi} E_{mp} \cos \alpha_P + \frac{3}{\pi} E_{m\phi} \left[1 + \cos \left(\alpha_\phi + \gamma_{\phi P} + \frac{\pi}{6} \right) \right] - \frac{3}{\pi} X_P I_d - \left(2 - \frac{3\gamma_P}{2\pi} \right) r_P I_d - 2\Delta U, \quad (1.11)$$

სადაც E_{mp} - გამმართველი ტრანსფორმატორის მეორადი გრაგნილის მუშა ნაწილის ელექტრომამოძრავებელი ძალის (ე.მ.ძ) ამპლიტუდა; $E_{m\phi}$ - მიმდევრობითი ტრანსფორმატორის მეორადი გრაგნილის ე.მ.ძ-ისა და გამმართველი ტრანსფორმატორის მეორადი გრაგნილის ფორსირებული ნაწილის ე.მ.ძ-ის გეომეტრიული ჯამის ამპლიტუდა; α_P და α_ϕ - მუშა და ფორსირებული ვენტილთა ჯგუფების მართვის კუთხეები; $\gamma_{\phi P}$ - კომუტაციის კუთხე ფორსირებული ვენტილთა ჯგუფის გადასვლის დროს მუშა ვენტილთა ჯგუფზე. E_{mp} გამოითვლება (1.9) გამოსახულებით. $E_{m\phi}$ გამოთვლისათვის გამოიყენება გამოსახულება, ანალოგიური (1.2) გამოსახულებისა, სახელდობრ

$$E_{m\phi} = \sqrt{2} \sqrt{\left(\frac{\alpha U}{k_{np}} + IX'_M \sin \varphi \right)^2 + (IX'_M \cos \varphi)^2} \quad (1.12)$$

ფორსირების რეჟიმში იმუშავებს მხოლოდ ერთი, ფორსირების ტირისტორული ჯგუფი. ვინაიდან ვოლტსამატი ტრანსფორმატორის მეორადი გრაგნილი ჩართულია მიმდევრობით, გამმართველი ტრანსფორმატორის გრაგნილის მეორად ფორსირებულ ნაწილთან (ნახ.1.2), მაშინ (1.4)-(1.8) ფორმულები სამართლიანია ორჯგუფიანი სქემებისათვის. მოკლე შერთვის წინაღობა X_t და r_t მიეკუთვნება გამმართველი ტრანსფორმატორის მეორად სრულ გრაგნილს, შემაერთებელი კაბელების გათვალისწინებით.

უნდა აღინიშნოს, რომ ფარდობა ინდუქციური წინაღობების $q = x_P/x$ ვენტილთა ორი ჯგუფით თვითაგზნების სქემისათვის იქნება

მნიშვნელოვნად ნაკლები, ვიდრე დამოუკიდებელი აგზნების სისტემისთვის. ეს აიხსნება მნიშვნელოვანი დამატებითი წინაღობის არსებობით, ფორსირებული ტირისტორული ჯგუფის კომუტაციის წრედებში.

1.3. სამფაზა მოკლე შერთვის რეჟიმი

თუ დამამშვიდებელ სისტემას გავითვალისწინებთ ერთი ეპვივალენტური კონტურით თითოეულ დერძში და, გარდა ამისა, მივიღებთ, რომ კონტურების ურთიერთ ინდუქციის ინდუქციური წინაღობა ერთმანეთის ტოლია, მაშინ (4.8) განტოლების შესაბამისად [30]-დან სამფაზა მოკლე შერთვის (მშ) რეჟიმისათვის გადამცემ ხაზზე მივიღებთ

$$\begin{bmatrix} r + (x_d + x_B)P & x_q + x_B & x_{ad}P & x_{ad}P & x_{aq} \\ -(x_d + x_B) & r + (x_q + x_B)P & -x_{ad} & -x_{ad} & x_{aq}P \\ x_{ad}P & r_f + x_f P & x_{ad}P & & \\ x_{ad}P & x_{aq}P & r_{kd} + x_{kd}P & & \\ x_{aq}P & & r_{kq} + x_{kq}P & & \end{bmatrix} X \begin{bmatrix} i_d \\ i_q \\ I_d^* \\ I_{kd} \\ I_{kq} \end{bmatrix} = \begin{bmatrix} 0 \\ 0 \\ U_d^* \\ 0 \\ 0 \end{bmatrix}, \quad (1.13)$$

სადაც x_B -ინდუქციური წინაღობა მშ-ის წერტილსა და გენერატორის გამომყვანებს შორის; r -ჯამური წინაღობა სტატორის წრედის მშ-ის წერტილამდე. (1.13) განტოლება არ ითვალისწინებს როტორის სიჩქარის ცვლილებას და ფოლადის გაჯერებას. ამავე დროს უნდა აღინიშნოს, რომ როტორის სიჩქარის მცირე ცვლილებამ სამფაზა მშ-ის დროს, არ შეიძლება მნიშვნელოვანი გავლენა იქონიოს დენებზე გენერატორის კონტურში. რაც შეეხება გაჯერებულობას, ის იცვლება მშ-ის მომენტში ფოლადის გაჯერებით განბნევის გზით და დაახლოებით შეიძლება გათვალისწინებული იქნეს პარამეტრების გაჯერებული მნიშვნელობების გამოყენებით. ამ შემთხვევაში მხედველობაში უნდა მივიღოთ, რომ მშ-ის დროს ამამაღლებელი ტრანსფორმატორის იქით დენები გენერატორის კონტურებში და შესაბამისად ფოლადის გაჯერება იცვლება ნაკლებად, ვიდრე მშ-ის დროს მომჭერებზე. მშ-ის მცირე ხანგრძლივობის შედეგად ($0,1 \div 0,25$) წმ როტორის სიჩქარე და ფოლადის გაჯერება შეიძლება განვიხილოთ

დაახლოებით მუდმივი. (1.13) განტოლების და გარდამქმნელის გარე მახასიათებლების ერთობლივი შესწავლის აუცილებლობასთან დაკავშირებით მოხერხებულია გამოვიყენოთ აგზნების დენის და ძაბვისათვის ფარდობით ერთეულებში სპეციალური აღნიშვნა * ინდექსის საშუალებით.

აღსანიშნავია რომ, ვინაიდან მშ-ის დროს გამმართველი გადადის მაღალი გამართული ძაბვის მნიშვნელობაზე, ორჯგუფიან სქემაში, აღნიშნულ რეჟიმში, იმუშავებს მხოლოდ ვენტილების ერთი ფორსირების ჯგუფი. აღნიშნულ პირობებში ერთი და ორჯგუფიანი სქემები იქნება იდენტური.

E_d განსაზღვრისათვის აუცილებელია ვიცოდეთ E_m სამფაზა მშ-ის რეჟიმში. [30]-დან შეიძლება ჩავწეროთ

$$E_m = \sqrt{x_M^2 + r_M^2} \sqrt{i_d^2 + i_q^2} i_\delta \quad (1.14)$$

აქ მხედველობაში არ მიიღება ემპ, განპირობებული სტატორის დენების ქრობით. ასეთი დაშვების შესაძლებლობა დაფუძნებულია იმაზე, რომ დენის ცვლილების სიჩქარე, როცა მისი მიღევა ექსპონენციალური კანონის მიხედვით მნიშვნელოვნად ნაკლებია დენის ცვლილების სიჩქარეზე, რომელსაც გააჩნია სიხშირე $f_o = 50$ ჰც. რადგან $r_M \ll x_M$, მაშინ შესაბამისად [30]-დან გვაქვს

$$E_m \approx \left(x'_M + \frac{x_B}{k_{np}} \right) \sqrt{i_d^2 + i_q^2} i_\delta \quad (1.15)$$

ჩავწეროთ E_d და R_d ფარდობით ერთეულებში. ავლიშნოთ ბაზისური სიდიდეები $U_{d\delta} = U_{f\delta}$ და $I_{d\delta} = i_{f\delta}$ შესაბამისად. მაშინ გვექნება

$$\begin{cases} \ell_d = \frac{E_d}{U_{\alpha\delta}} = \frac{2}{3} \frac{E_d}{U_\delta i_\delta} I_{d\delta}, \\ r_d = \frac{R_d}{U_{d\delta}} = \frac{2}{3} \frac{R_d}{U_\delta i_\delta} I_{d\delta}^2 \end{cases} \quad (1.16)$$

(1.13) განტოლების მესამე სტრიქონი შეიძლება წარმოვიდგინოთ შემდეგი სახით

$$x_{\alpha d} P i_d + [r_f + (x_f + \omega L_d)P] I_d^* + x_{\alpha d} P I_{kd} = e_d - r_d I_d^* - \Delta U^* \quad (1.17)$$

სადაც

$$\Delta U^* = \frac{2\Delta U}{U_{d\delta}} = \frac{2}{3} \frac{2\Delta U}{U_\delta i_\delta} I_{d\delta}$$

თუ გავითვალისწინებთ, რომ $\omega L_d \ll x_f$, მაშინ (1.17) ტოლობა მიიღებს შემდეგ სახეს:

$$x_{ad}Pi_d + (r_f + r_d + x_f P)I_d^* + x_{ad}PI_{kd} = r_e \sqrt{i_d^2 + i_q^2} - \Delta U^*, \quad (1.18)$$

სადაც

$$r_e = \frac{2}{3} \left(x'_M + \frac{x_B}{k_{np}} \right) \frac{I_{a\delta}}{U_\delta} k_B \quad (1.19)$$

(1.18)-ის ჩასმის შემდეგ (1.13)-ში მესამე სტრიქონის ნაცვლად განტოლების მარჯვენა ნაწილში წარმოიქმნება დენების გეომეტრიული ჯამი გრძივ და განივ დერძებში. ამიტომ სიჩქარის მუდმივობის და ფოლადში მაგნიტური შეღწვადობის უცვლელობის მიუხედავად (1.13) განტოლება გახდება არახაზოვანი. რიცხობრივი მეორედების გამოყენების შემთხვევაში დიფერენციალური განტოლების ამოხსნის განტოლება (1.13) წინასწარ უნდა გარდაიქმნას პირველი რიგის დიფერენციალური განტოლებათა სისტემაში, რომელიც ამოხსნება დენების წარმოებულების მიმართ. ასეთი გარდაქმნა მიზანშეწონილია აგრეთვე, როცა კიყენებთ დიფერენციალური განტოლებათა სისტემის ამოხსნისათვის კომპიუტერული ტექნიკას.

გაცილებით მძიმე პირობა მიიღება თვითაგზნების სისტემის მუშაობისას გადამცემი ხაზის დასაწყისში განხორციელებული სამფაზა მ.შ. დროს, ამიტომ გარდამავალი პროცესის გამოკვლევა მიზანშეწონილია შესრულდეს აღნიშნული ზღვრული შემთხვევისათვის. ამ შემთხვევაში $x_B = x_T$, სადაც x_T - ამამაღლებელი ტრანსფორმატორის მშის ინდუქციური წინაღობა.

რადგანაც გადამცემი ხაზი მოცემულ შემთხვევაში არ შედის სტატორის გრაგნილების წრედებში, მაშინ აქტიური წინაღობა მოცემული წრედებისთვის მიიღება შედარებით მცირე. ეს იძლევა საშუალებას გამოვიყენოთ გენერატორის გარდამავალი რეჟიმის გამარტივებული ანალიზი სტატორის დენების პერიოდული და არაპერიოდული მდგრელების განსზღვრისათვის. პირველ შემთხვევაში

სტატორის გრავნილების წინადობა შეიძლება მივიღოთ ნულის ტოლად, რასაც მივყავართ დენების ქრობის ნაკლებ სიჩქარესთან დამამშვიდებელ სისტემაში და მანქანის გამათანაბრებელი ნაკადების ბრუნვის გამორიცხვასთან. მეორე შემთხვევაში გენერატორის თითოეული ფაზა შეიძლება განხილული იქნეს, როგორც კონტური, რომელიც შეიცავს მიმდევრობით შეერთებული r წინადობას და უკუ მიმდევრობის ინდუქციური წინადობას x_2 .

საწყისი პირობების მნიშვნელობები და r და x_2 წინადობები იძლევა შესაძლებლობას განისაზღვროს სტატორის დენების აპერიოდული მდგრებელები.

სანამ გადავიდოდეთ (1.13) განტოლების გამარტივებული ფორმით ჩაწერაზე, განვიხილოთ საკითხი სტატორის აპერიოდული დენების გაგლენაზე აგზნების სისტემის მუშაობაზე. მოცემულ შემთხვევაში ეს ზეგავლენა შეიძლება იყოს როგორც ცვლადი დენის წრედის მხრიდან, ისე გამართული დენის მხრიდან.

აპერიოდული დენების გავლენა გარდამქმნელის კვების წრედზე მიმდინარეობს აგზნების სისტემის ტრანსფორმატორის მხრიდან, რომლის მეორად გრაგნილებში გამოვლინდება აპერიოდული დენები, რომელთა სიდიდე ძირითადად დამოკიდებულია ვოლტსამატი და გამმართველი ტრანსფორმატორის გრაგნილების ურთიერთ ინდუქციის კოეფიციენტების თანაფარდობაზე, გამართული დენის წრედის ინდუქციურობასთან ერთად. ვინაიდან ვოლტსამატი ტრანსფორმატორის მაგნიტური წრედი გახსნილია, გამმართველი ტრანსფორმატორის მაგნიტური წრედი შეკრული და აგზნების გრაგნილს გააჩნია დიდი ინდუქციურობა, მაშინ ტრანსფორმატორის მეორად გრაგნილებში დენების აპერიოდული მდგრებელები წარმოადგენენ მცირე სიდიდეებს შედარებით პერიოდულ მდგრებელებთან, რომლთა სიდიდე განისაზღვრება ძირითადად მუდმივი დენის აგზნების გრაგნილის წინადობით. დენების აპერიოდული მდგრებელები ახდენენ უარყოფით გავლენას ვენტილების ძაბვაზე. ეს მიმდინარეობს აპერიოდული დენების ხანგრძლივობის შეზღუდვის შედეგად, ვენტილების გამტარობის ერთი

მიმართულებით, აგრეთვე ტრანსფორმატორის მეორადი გრაგნილის კონტურში აპერიოდული დენების მიღევის შედეგად.

ამგვარად, სტატორის დენების აპერიოდული მდგრელები ახდენენ მცირე გავლენას გარდამქმნელის კვების წრედზე. მეორე მხრივ, ეს გავლენა შეიძლება იყოს მნიშვნელოვანი, თუ ვოლტსამატი ტრანსფორმატორის პირველადი და მეორადი გრაგნილების მაგნიტომამოძრავებელი ძალა (მმდ) მიიღება განსხვავებული და აპერიოდული დენები იწვევს ამ ტრანსფორმატორის მაგნიტური წრედის გაჯერებულობის მნიშვნელოვან გაზრდას.

რაც შეეხება აპერიოდული დენების გავლენას გამართული დენის მხარეზე, ის დამოკიდებულია, იმაზე გენერატორს გააჩნია თუ არა დამამშვიდებელი სისტემა. ასეთი სისტემის არსებობის დროს აგზნების დენის პულსაცია მიიღება მინიმალური, ამიტომ აპერიოდული დენების გავლენა გამართული ძაბვის საშუალო მნიშვნელობაზე პრაქტიკულად შეიძლება არ გავითვალისწინო. დამამშვიდებელი სისტემის გარეშე სტატორის აპერიოდული დენების გავლენა იქნება დიდი, მეორე მხრივ ამ შემთხვევაში მას შეიძლება არ ქონდეს არსებითი მნიშვნელობა.

ეხლა გადავიდეთ (1.13) განტოლების გამარტივებულ სახეში წარმოდგენაზე:

$$\begin{aligned} & \begin{bmatrix} (x_d + x_B)P & x_q + x_B & x_{\alpha d}P & x_{\alpha d}P & x_{\alpha q} \\ -(x_d + x_B) & (x_q + x_B)P & -x_{\alpha d} & -x_{\alpha d} & x_{\alpha q}P \\ x_{\alpha d}P & r_f + r_d + x_f P & x_{\alpha d}P & x_{\alpha d}P & \\ x_{\alpha d}P & x_{\alpha d}P & r_{kd} + x_{kd}P & r_{kq} + x_{kq}P & \\ x_{\alpha q}P & & & & \end{bmatrix} X \begin{bmatrix} i_d \\ i_q \\ I_d^* \\ I_{kd} \\ I_{kq} \end{bmatrix} \\ & = \begin{bmatrix} 0 \\ 0 \\ r_e \sqrt{i_d^2 + i_q^2} - U^* \\ 0 \\ 0 \end{bmatrix}, \quad (1.20) \end{aligned}$$

მიღებული განტოლება რჩება არახაზოვანი. გამოვრიცხოთ მისგან დამამშვიდებელი სისტემის დენები. გარდაქმნის შემდეგ შეიძლება მივიღოთ

$$\left. \begin{aligned} & \Delta P^2 i_d + \left[\rho_f \sigma'_d + \rho_{kd} \sigma' - \rho_e (\sigma_d - \sigma'_d) \frac{i_d}{\sqrt{i_d^2 + i_q^2}} \right] P i_d + \\ & + \left[\rho_f \rho_{kd} i_d + \rho_{kd} \rho_e (1 - \sigma_d) \sqrt{i_d^2 + i_q^2} + \rho_e (\sigma_d - \sigma'_d) \times \right. \\ & \times \left. \frac{i_q}{\sqrt{i_d^2 + i_q^2}} P i_q \right] = \rho_{kd} (1 - \sigma') \Delta U^*, \\ & \sigma'_q P i_q + \rho_{kq} i_q = 0 \end{aligned} \right\} \quad (1.21)$$

აქ განბნევის პოლიციური ტექნიკისათვის გამოყენებულია შემდეგი აღნიშვნები:

$$\begin{aligned} \sigma_d &= 1 - \frac{x_{ad}}{x_d + x_B}, \sigma'_d = 1 - \frac{x_{ad}^2}{x_{kd}(x_d + x_B)}, \\ \sigma' &= 1 - \frac{x_{ad}^2}{x_f(x_d + x_B)}, \sigma'_q = 1 - \frac{x_{ad}^2}{x_{kq}(x_q + x_B)}, \\ \Delta &= 1 + 2 \frac{x_{ad}^3}{x_f x_{kd}(x_d + x_B)} - \frac{x_{ad}^2}{x_{kd}(x_d + x_B)} - \frac{x_{ad}^2}{x_f x_{kd}} - \frac{x_{ad}^2}{x_f(x_d + x_B)} \end{aligned} \quad (1.22)$$

მიღევის პოლიციური ტექნიკისათვის განვითარებულია შემდეგი ტოლია

$$\rho_f = \frac{r_f + r_d}{x_f}, \rho_e = \frac{r_e}{x_f}, \rho_{kd} = \frac{r_{kd}}{x_{kd}}, \rho_{kq} = \frac{r_{kq}}{x_{kq}} \quad (1.23)$$

(1.21)-ის მეორე განტოლებიდან გამოულობთ

$$i_q = i''_{qo} e^{-\rho''_{kq} t}, \quad (1.24)$$

სადაც i''_{qo} - დენი დამამშვიდებელი პონტურის განივი დერძში სამფაზა მშის რეჟიმში ($t = o$),

$$\rho''_{kq} = \frac{\rho_{kq}}{\sigma'_q} \quad (1.25)$$

i''_{qo} -ის მნიშვნელობა შეიძლება განისაზღვროს ნაკადშების მუდმივობის პირობიდან მშის მომენტში. (1.20) განტოლებიდან როცა $P = \infty$ გვექნება

$$\begin{cases} (x_q + x_B) i''_{qo} + x_{aq} I''_{kqo} = o \\ x_{aq} i''_{qo} + x_{kq} I''_{kqo} = x_{aq} i_{qo}, \end{cases} \quad (1.26)$$

სადაც i_{qo} -სტატორის გრავილის დენი განივი დერძში მშის დაწყების წინ.

(1.26) განტოლებიდან განვსაზღვრავთ

$$i''_{qo} = \frac{\sigma'_q - 1}{\sigma'_q} i_{qo} \quad (1.27)$$

ჩავსვათ i_q (1.24)-დან (1.21)-ის პირველ განტოლებაში, მივიღებთ

$$y'' + \alpha_1 y' + \alpha_2 y = c, \quad (1.28)$$

სადაც

$$\begin{aligned} y &= i_d, a_1 = \frac{1}{\Delta} \left[\rho_f \sigma'_d + \rho_{kd} \sigma' - \rho_e (\sigma_d - \sigma'_d) \frac{i_d}{\sqrt{i_d^2 + (i_{qo}'')^2 e^{-2\rho_{kq} t}}} \right], \\ a_2 &= \frac{1}{\Delta i_d} \left[\rho_f \rho_{kd} i_d + \rho_{kd} \rho_e (1 - \sigma_d) \sqrt{i_d^2 + (i_{qo}'')^2 e^{-2\rho_{kq}'' t}} - \rho_e \rho_{kq}'' (\sigma_d - \right. \\ &\quad \left. \sigma'_d) \frac{(i_{qo}'')^2 e^{-2\rho_{kq}'' t}}{\sqrt{i_d^2 + (i_{qo}'')^2 e^{-2\rho_{kq}'' t}}} \right], \\ c &= \frac{\rho_{kd}(1-\sigma')}{\Delta} (\Delta U^*). \end{aligned}$$

(1.28) არახაზოვანი განტოლება ამოიხსნება რიცხობრივი მეთოდით. ამისათვის შეიძლება გამოყენებული იქნეს რუნგას, ეილერის და სხვა მეთოდები. მეორე მხრივ მიზანშეწონილია მათთან ერთად გამოყენებული იქნეს ინტეგრალური განტოლება.

ფუნქცია $y(t)$ შეიძლება წარმოდგენილი იქნეს მთელი რიგი წევრებით ინტეგრალურ ფორმაში შემდეგი სახით:

$$y(t) = y(o) + y'(o)t + \int_o^t (t-S)y''(S)ds$$

ავღნიშნოთ $y''(S) = x(S)$ და ჩავსვათ $y(t)$ დიფერენციალურ განტოლებაში (1.28). მაშინ მივიღებთ

$$x(t) + \int_o^t [a_1 + a_2(t-S)] x(S)ds = c - a_1 y'(o) - a_2 [y(o) + y'(o)t] \quad (1.2)$$

ეს არის ვოლტერის მეორე რიგის ინტეგრალური განტოლება, ის შეიძლება ჩაიწეროს შემოკლებით შემდეგნაირად

$$x(t) - \int_o^t K(t, y, S)x(S)ds = N(t), \quad (1.30)$$

სადაც $k(t, y, S) = -[a_1(y, t) + (t-S)a_2(y, t)]$ წარმოადგენს ინტეგრალური განტოლების ბირთვს, ხოლო $N(t) = C - a_1 y'(o) - a_2 [y(o) + y'(o)t]$.

თუ გამოვთვლით (1.30) ინტეგრალურ განტოლებას ტრაპეციის ფორმულის მიხედვით, მაშინ შეიძლება მივიღოთ რეკურენტული ფორმულა

$$x_n = \frac{N_n + \Delta t \left(\frac{x_0 k_{n,n}}{2} + x_1 k_{n,n-1} + \dots + x_{n-1} k_{n,1} \right)}{1 - \frac{\Delta t}{2} k_{n,o}}, \quad (1.31)$$

სადაც Δt -ინტეგრირების ბიჯი, n - ბიჯის რიგითი ნომერი, $x_n - t_n = n\Delta t$ დროის მომენტში x -ის მნიშვნელობა.

k ბირთვს გააჩნია ორი ინდექსი: პირველი მიეკუთვნება დროის მნიშვნელობას, რომლის დროსაც გამოითვლება a_1 და a_2 , ხოლო მეორე მიეკუთვნება $t_n - S$ სხვაობას.

რადგანაც $x = y''$, მაშინ ინტეგრირების გზით და ტრაპეციის ფორმულის გამოყენებით ვპოულობთ

$$y = \Delta t^2 \left[\frac{x_0 n}{2} + x_1(n-1) + x_2(n-2) + \dots + x_{n-1} \right] + y'(o)t_n + y(o) \quad (1.32)$$

x_n და y_n ანგარიში მიმდინარეობს პარალელურად, თანაც (1.32) ფორმულის მიხედვით გამოითვლება ერთი ბიჯის წინსწრებით.

(1.29) განტოლებიდან და რეკურენტული (1.31) და (1.32) ფორმულებიდან ჩანს, რომ i_d დენის განსაზღვრისათვის, როგორც დროის ფუნქცია აუცილებელია ამ დენის მნიშვნელობა და მისი წარმოებული სამფაზა მშის რეჟიმში როცა $t = o$. დენის მნიშვნელობა შეიძლება განისაზღვროს ნაკადშების მუდმივობის პირობიდან მშის მომენტში. (1.20) განტოლებიდან გვექნება

$$\begin{bmatrix} x_d + x_B & x_{ad} & x_{ad} \\ x_{ad} & x_f & x_{ad} \\ x_{ad} & x_{ad} & x_{kd} \end{bmatrix} \times \begin{bmatrix} i_{do}'' \\ I_{do}^{*''} \\ I_{kdo}'' \end{bmatrix} = \begin{bmatrix} 0 \\ x_{ad} i_{do} + x_f I_{do}^* \\ x_{ad} i_{do} + x_{ad} I_{do}^* \end{bmatrix}. \quad (1.33)$$

აქ i_{do} და I_{do}^* -დენების მნიშვნელობა მშ-მდე;

i_{do}'', I_{do}'' და I_{kdo}'' -დენების მნიშვნელობა სამფაზა გშ-ის რეჟიმში, როცა $t = o$, თანაც $i_{do}'' = y(o)$.

$Pi_{d(t=o)}$ დენის წარმოებულის განსაზღვრისათვის (1.20) განტოლებიდან ვპოულობთ

$$\begin{aligned} \left(r_f + r_d - r_{kd} \frac{x_f - x_{ad}}{x_{kd} - x_{ad}} \right) I_{do}^{*''} - r_{kd} \frac{(x_d + x_B)(x_f - x_{ad})}{x_{ad}(x_{kd} - x_{ad})} i_{do}'' - Pi_{d(t=o)} = \\ \frac{-r_e \sqrt{(i_{do}'')^2 + (i_{qo}'')^2} + \Delta U^*}{x_d + x_B - x_{ad} + (x_f - x_{ad}) \frac{(x_d + x_B)x_{kd} - x_{ad}^2}{x_{ad}(x_{kd} - x_{ad})}} \quad (1.34) \end{aligned}$$

ვინაიდან უველა დენი ცნობილია, მაშინ ვპოულობთ $Pi_{d(t=o)} = y'(o)$.

(1.31), (1.32) ფორმულები, ტოლია როგორც (1.33), (1.34), შეიცავს r_d და r_e , რომლებიც დამოკიდებულია იმაზე გარდამქმნელი გარე მახასიათებლის რომელ მონაკვეთზე მუშაობს. ამიტომ ანგარიშისათვის რეგურენტული (1.31) და (1.32) ფორმულების მიხედვით აუცილებელია ვიცოდეთ r_d და r_e .

გარე მახასიათებელი მოცემული პარამეტრების და რეგულირების კუთხის დროს დამოკიდებულია გამმართველის დენის I_d სიდიდეზე და კომუტაციის E_m ემბ-ის სიდიდეზე. გარდამავალ რეჟიმში აგზნების ძაბვის მაქსიმალური სიდიდის მიღებისათვის მიზანშეწონილია გვქონდეს ვენტილების ჩართვა დროის მომენტში, რომელიც შეესაბამება $U_a = o$ (არამართვადი რეჟიმი). ვინაიდან ემბ E_m გამოითვლება (1.14), მაშინ საკმარისია ვიპოვოთ I_d დენი. (1.20) განტოლებიდან შეიძლება მივიღოთ I_d დენისათვის შემდეგი გამოსახულება:

$$r_e \sqrt{i_d^2 + i_q^2} + \left(x_d + x_B - x_{ad} + \frac{(x_f - x_{ad})(x_{kd}(x_d + x_B) - x_{ad}^2)}{x_{ad}(x_{kd} - x_{ad})} \right) \frac{\Delta i_d}{\Delta t} + \\ I_d = \frac{r_{kd} \frac{(x_d + x_B)(x_f - x_{ad})}{x_{ad}(x_{kd} - x_{ad})} i_d - \Delta U^*}{r_f + r_d - r_{kd} \frac{x_f - x_{ad}}{x_{kd} - x_{ad}}} I_{a\delta}, \quad (1.35)$$

სადაც i_d ჩაისმება იმ დროის მომენტში, რომელშიც განისაზღვრება I_d , ხოლო Δi_d რიცხვში მიიღება დენის ნაზრდის საშუალო არითმეტიკული მნიშვნელობა, გრძივ ლერძში მოცემული დროის მომენტის წინ და მის შემდეგ.

ვიცით I_d, E_m , პარამეტრები და გარდამქმნელის სქემა, შეიძლება განისაზღვროს გარდამქნელის მუშაობის რეჟიმი, შეესაბამისად გარე მახასიათებლის მონაკვეთი, რომელიც შეესაბამება აღნიშნულ I_d და E_m მნიშვნელობებს. იმასთან დაკავშირებით, რომ ემბ E_m არ წარმოადგენს მუდმივ სიდიდეს, აქ განსაკუთრებით მოხერხებულია გამოვიყენოთ გარე მახასიათებელი ფარდობით ერთეულებში, რომელიც ამ შემთხვევაში არ იქნება დამოკიდებული $E_m - o$ სგან. მაშინ დენი $I_d = x_\delta I_d / E_m$ გადაიზომება აბსიცია ლერძზე და განვსაზღვრავთ k_e და k'_R , ხოლო შემდეგ r_e და r_d .

თუ გარდამქმნელი გადადის გარე მახასიათებლის ერთი უბნიდან მეორეზე, მაშინ ასეთი გადასვლის მომენტში უნდა შეიცვალოს r_e და r_d სიდიდეები. ელიფსურ უბანზე მუშაობის დროს შემდეგ r_e და r_d სიდიდეები შეიცვლება წერტილების გადაადგილების მიხედვით, რომელიც შეესაბამება I_d და E_m პარამეტრების მიმდინარე მნიშვნელობებს გარე მახასიათებლების მიხედვით.

გარდამავალი რეჟიმის საწყის მომენტში დენები i_{do}'' , i_{qo}'' და $I_{do}^{*''}$ ცნობილია. ამიტომ გარდამავალი რეჟიმის განსაზღვრა გარდამქმნელის მუშაობის დროს არ წარმოადგენს სიძნელეს.

**თავი II. პიდროგენერატორის სტატიკური მძლავრდენისა
ტირისტორული აგზნების სისტემაში სამფაზა მოკლე
შერთვის რეჟიმის ანალიზი**

**2.1. სამფაზა მოკლედ შერთვის დროს მიმდევრობითი კოლტსამატი
ტრანსფორმატორის მოქმედების ეფექტურობა**

გარდამავალ რეჟიმში ტირისტორული თვითაგზნების სისტემის მოქმედების ეფექტურობა მიზანშეწონილია შევაფასოთ ფარდობით

$$A = \frac{P_{10} - P_1}{P_{10}}, \quad (2.1)$$

სადაც P_1 - ტირისტორული აგზნების სისტემის რეგულირების კუთხის ($\alpha \neq 0$), დროს გარდამავალი დენების მდგრელების მიღევის კოეფიციენტი, P_{10} - ტირისტორული აგზნების სისტემის რეგულირების კუთხის ($\alpha = 0$) დროს გარდამავალი დენების მდგრელების მიღევის კოეფიციენტი. თუ $A < 1$, მაშინ ის გვიჩვენებს, აგზნების გრაგნილის წინაღობაში სიმძლავრის საერთო დანაკარგებიდან, რა ნაწილი იფარება გარდამქნელის გარდამავალი რეჟიმის დროს. გარდამავალი დენები ამ შემთხვევაში იქნება მიღევადი. თუ $A = 1$, მაშინ ყველა დანაკარგი აგზნების გრაგნილში დაიფარება გარდამქნელით. გარდამავალი დენები ამ შემთხვევაში იქნება უცვლელი (იგულისხმება, რომ $\Delta U \approx 0$). თუ $A > 1$, მაშინ ტირისტორული აგზნების სისტემა არა მხოლოდ დაფარავს დანაკარგებს აგზნების გრაგნილში, არამედ გაზრდის გარდამავალ დენებს.

თუ არ გავითვალისწინებთ დამამშვიდებელი სისტემის გავლენას P_1 მიღევის კოეფიციენტზე, ე.ო. შემოვიფარგლებით ძირითადი მნიშვნელობით P_1 [34], გვექნება

$$P_1 = -\frac{r_e x_d + x_B}{x_f x'_d + x_B}, \quad (2.2)$$

მაშინ (2.2)-ის ტოლობის შესაბამისად

$$A = \frac{r_f - r_e}{r_f} = \frac{\frac{r_e x_{ad}}{x_d + x_B} - r_d}{r_f};$$

r_e განისაზღვრება

$$r_e = \frac{2}{3} (x'_M + \frac{x_B}{k_{np}}) \frac{I_{\alpha\delta}}{U_\delta} k_e,$$

ხოლო r_d განისაზღვრება

$$r_d = \frac{R_d}{\frac{U_{d\delta}}{I_{d\delta}}} = \frac{2}{3} \frac{R_d}{U_\delta i_\delta} I_{d\delta}^2,$$

მაშინ $A -$ სათვის გვექნება

$$A = \frac{\frac{k_e(x'_M + \frac{x_B}{k_{np}}) - (k_R x_\delta + k_r r_\delta)}{b}}{R_f}, \quad (2.3)$$

$$\text{სადაც } b = \frac{x_d + x_B}{x_{ad}} \frac{I_{\alpha\delta}}{i_\delta} \quad (2.4)$$

წინასწარი ანგარიშების დროს, შეიძლება მხედველობაში არ მივიღოთ აქტიური წინაღობა და მივიღოთ მიმდევრობითი ტრანსფორმატორის გრაგნილის კავშირის კოეფიციენტი ერთის ტოლად. ამ შემთხვევაში მიმდევრობითი ტრანსფორმატორის ურთიერთ ინდუქციის ინდუქციური წინაღობა $x'_M = Kx_{d1}$ (2.3)-ის ნაცვლად მივიღებთ

$$A = \frac{\frac{k_e(kx_{d1} + \frac{x_B}{k_{np}}) - k_R(k^2 x_{d1} + x_T)}{b}}{R_f}, \quad (2.5)$$

k_e და k_R კოეფიციენტები დამოკიდებულია იმაზე, თუ გამმართველი გარე მახასიათებლის რომელ უბანზე მუშაობს. გარე მახასიათებლის ერთი უბნიდან მეორეზე გადასვლის დროს, აუცილებელია გამოვიყენოთ k_e და k_R კოეფიციენტების ახალი მნიშვნელობები. გარე მახასიათებლის უბნის დადგენისათვის მოხერხებულია გამოვიყენოთ ტოლობა

$$I_d = \frac{x I_d}{E_m}$$

მხედველობაში მივიღოთ (1.14), (1.15) და (2.3), ვპოულობთ

$$I_d \approx b \frac{\frac{k^2 x_{d1} + x_T}{k x_{d1} + \frac{x_B}{k_{np}}}}{(2.6)}$$

მაგალითისთვის განვიხილოთ მიმდევრობითი ვოლტსამატი ტრანსფორმატორის მოქმედების ეფექტურობა პიდროგენერატორის თვითაგზების ტირისტორული სისტემაში სიმძლავრით 73.3 მგვტ.

მივიღოთ, რომ გარდამქმნელს გააჩნია ვენტილების ერთი ჯგუფი, გამმართველის სქემა - სამფაზა ბოგირული, გამმართველ

ტრანსფორმატორს გააჩნია შეერთება \times/\times , მშვის დროს მისი ინდუქციური წინადობა ტოლია 0,07. $CBB780/190 - 32$ ტიპის პიდროგენერატორის მიმღევრობითი ტრანსფორმატორის პირველადი გრაგნილის ინდუქციური წინადობა შეადგენს 0,005-ს ან პროცენტებში 0,5%. ნომინალური მონაცემები და პარამეტრები პიდროგენერატორის შემდეგია:

$$U_H = 13,8 \text{ ვ}, I_H = 3,58 \text{ ა}, n_H = 125 \text{ ბრ/წთ}, \cos\varphi_H = 0,85, P_H = 73,3 \text{ ათ.კვტ}, X_d'' = 0,23, X_d' = 0,32, X_d = 0,87.$$

ბაზისური წინადობა x_d წარმოადგენს ნომინალური ფაზური ძაბვის მნიშვნელობის ფარდობას სტატორის დენთან.

(1.6) და (1.7) გამოსახულებებიდან განვსაზღვრავთ დამოკიდებულებას k და k_{pp} კოეფიციენტებს შორის. ამ შემთხვევაში საწყისი რეჟიმად მიღებულია ნომინალური; ფორსირების ჯერადობა k მიღებულია 2-ის ტოლად. მხედველობაში არ მიიღება შემაერთებელი კაბელების ინდუქციური წინადობა და მიღებულია, რომ $\cos\varphi_H = 0,85$ და $\Delta U = 3$ ვ, k -ს ერთი მნიშვნელობისთვის, მაგალითად 5-ისთვის, გვექნება

$$454 + \frac{3}{\pi} (25 \cdot 0,00527 + 0,016) 1762 + 2 \cdot 3 = \frac{3\sqrt{6}}{\pi} E \cos\alpha,$$

$$E = \sqrt{\left(\frac{9090}{k_{\text{pp}}} + 5 \cdot 0,00527 \cdot 0,53\right)^2 + (5 \cdot 0,0527 \cdot 0,85)^2},$$

$$\cos\alpha = 1 - \frac{\pi \cdot 454}{3\sqrt{6}E}$$

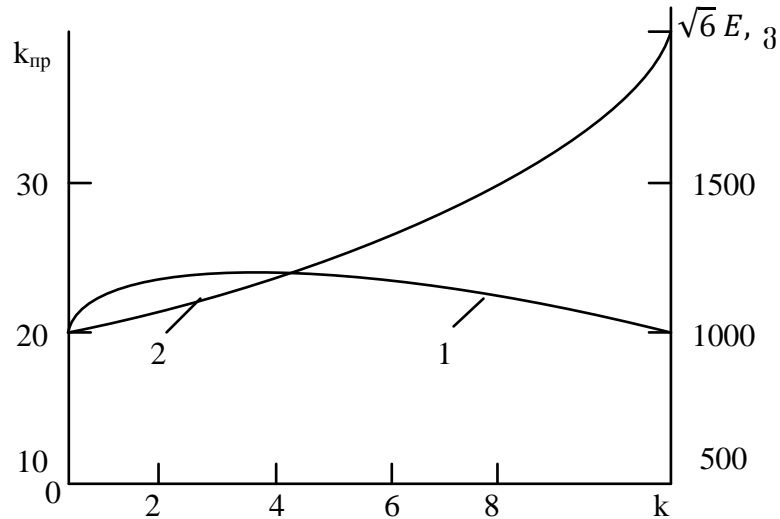
აღნიშნული ტოლობიდან ვიპოვით $k_{\text{pp}} = 27,2, E = 497$ ვ, $\alpha = 52,5^\circ$. მხედველობაში უნდა მივიღოთ, რომ გამმართველი ტრანსფორმატორის ინდუქციური წინადობა

$$x_t = \frac{13800}{\sqrt{3} \cdot 27,2 \sqrt{\frac{2}{3}} 1762} \cdot 0,07 = 0,0142 \text{ მმ.}$$

ანალოგიური ანგარიშის ჩატარების დროს k -ს მნიშვნელობისათვის 0-დან 10-მდე, მივიღებთ საძიებელ დამოკიდებულებას, ნაჩვენები ნახ.2.1. იქვე აგებულია ძაბვის ამპლიტუდის მრუდი, რომლის ზემოქმედებაში, შეიძლება იმყოფებოდეს ტირისტორული გამმართველის მხარი

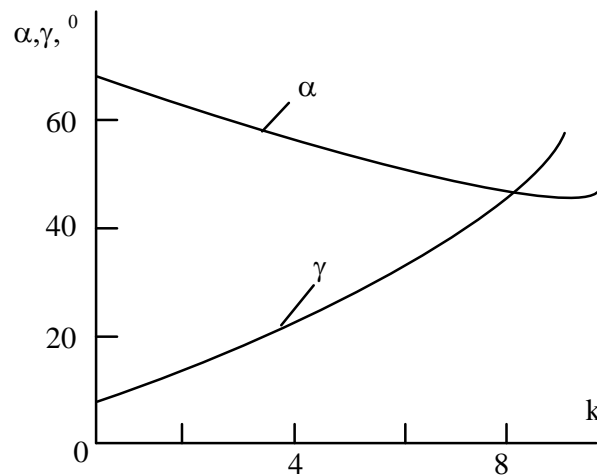
ნომინალურ რეჟიმში. მითითებული ძაბვა არსებითად იზრდება, როცა $k > 5$.

$$\cos(\alpha + \gamma) = \cos\alpha - \frac{2xI_d}{\sqrt{3}E_m} = \cos 52,5^\circ - \frac{2 \cdot 0,148 \cdot 1762}{\sqrt{6} \cdot 497},$$



ნახ.2.1. დამოკიდებულება k_{np} (1) და $\sqrt{6} E$ (2) k -ზე შვნელობისაგან

ნახ. 2.2-ზე აგებულია დამოკიდებულება მართვის კუთხის α და კომუტაციის კუთხის γ, k -ს მნიშვნელობისგან.



ნახ.2.2. მართვის კუთხის α და კომუტაციის კუთხის γ დამოკიდებულება k -ზე.

გამმართველი ტრანსფორმატორის ტიპიური სიმძლვარე შეიძლება განისაზღვროს შემდეგი გამოსახულებით

$$S_T = \frac{1}{2}(S_{T1} + S_{T2}),$$

სადაც S_{T1} და S_{T2} - პირველადი და მეორადი გრაგნილების სრული სიმძლვარე.

პირველად გრაგნილზე ძაბვა წარმოადგენს სინუსოიდურს; ძაბვა მეორად გრაგნილზე დამახინჯებულია კომუტაციური პროცესებით. გვაქვს, რა ძაბვის მრუდი, შეიძლება გამოვთვალოთ U_{T2} -ს მომქმედი მნიშვნელობა. მივიღოთ მხედველობაში, ის რომ x_T მნიშვნელობა შედარებით არაა დიდი, სავარაუდო ანგარიშებისათვის შეიძლება ავიღოთ მეორადი ძაბვა სინუსოიდური.

$$U_{T2} \approx \frac{U_L}{\sqrt{3} k_{\text{pp}}}$$

გამმართველი ტრანსფორმატორის მეორადი გრაგნილის მომქმედი დენის მნიშვნელობა განისაზღვრება გამოსახულებით

$$I \approx \sqrt{\frac{2}{3}} I_d$$

თუ აგზნების სისტემისთვის და ტრანსფორმატორისთვის არ მივიღებთ მხედველობაში დენის მიხედვით მარაგის კოეფიციენტს, მაშინ

$$S_T \approx m U_{T2} I,$$

სადაც m -ფაზათა რიცხვი

$k = 5$ შემთხვევისთვის გვექნება

$$S_T \approx 3 \frac{13800}{\sqrt{3} \cdot 27,2} \cdot \sqrt{\frac{2}{3}} 1762 = 1264 \text{ კვა}$$

ნახ. 2.3. აგებულია დამოკიდებულება S_T და k -ს შორის. მას გააჩნია მინიმუმი როცა $k = 5$.

მიმდევრობითი კოლტსამატი ტრანსფორმატორის ტიპიური სიმძლავრე განისაზღვრება შემდეგი სახით [35]:

$$S_{\Delta} = \frac{3}{4} A S_{\Delta 1} \left(1 + \frac{S_{\Delta 2}}{3 S_{\Delta 1}} \right),$$

სადაც $S_{\Delta 1}$ და $S_{\Delta 2}$ - პირველადი და მეორადი გრაგნილის სიმძლავრე, ტრანსფორმატორისთვის საპაერო გაცივებით კოეფიციენტი A ტოლია ($0,62 \div 0,65$) K_I . აქ K_I -დენის გაჯერების ჯერადობა.

საანგარიშო ძაბვად მიიღება მეორადი გრაგნილის ძაბვა გამმართველის უქმი სვლის დროს და პირველადი ნომინალური დენის დროს [36].

საგსებით ბუნებრივია, რომ გამმართველის ნომინალურ რეჟიმში მუშაობის დროს, ძაბვის მომქმედი მნიშვნელობა მიიღება რამოდენიმედ ნაკლები.

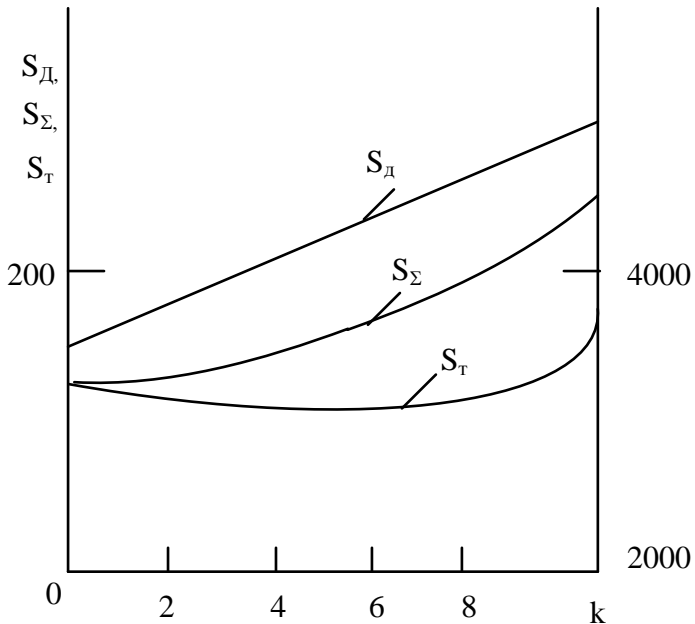
თუ მივიღებთ, რომ $K_I = 3$, $K = 5$ -ისათვის გვექნება

$$S_{\Delta 1} = 3 \cdot 8630^2 \cdot 0,00527 = 1177 \text{ კვა},$$

$$S_{\Delta 2} = 3 \cdot 8630 \cdot 5 \cdot 0,00527 \sqrt{\frac{2}{3}} 1762 = 981 \text{ კვ.ა},$$

$$S_{\Delta} = \frac{3}{4} 0,635 \cdot 3 \cdot 1177 \left(1 + \frac{981}{3 \cdot 1177} \right) = 2139 \text{ კვ.ა.}$$

დამოკიდებულება S_{Δ} და K შორის არის წრფივი (ნახ. 2.3). იმავე ნახაზზე ნაჩვენებია ტრანსფორმატორების ჯამური სიმძლავრე.



ნახ.2.3. მიმდევრობითი და გამმართველი ტრანსფორმატორების სიმძლავრეების დამოკიდებულება k -მნიშვნელობისაგან.

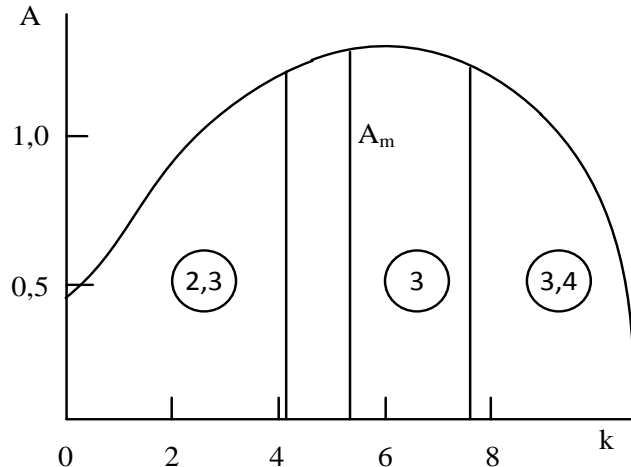
მიღებული დამოკიდებულებიდან ჩანს, რომ S_{Σ} იწყებს სწრაფად ზრდას როცა $k > 5 \div 6$. შემდგომი ეტაპი ანგარიშის მდგომარეობს A -ს განსაზღვრაში. ამისათვის წინასწარ ვპოულობთ აუცილებელ პარამეტრებს (2.4) და (2.5)-ის მიხედვით. აგზნების გრაგნილის

ბაზისური დენი $I_{d\delta}$ განისაზღვრება მშის სამკუთხედის ან რეაქტიული სამკუთხედის მიხედვით. სტატორის გრაგნილის ბაზისური დენი $i_\delta = \sqrt{2}I_H$.

ნახ. 2.4-ზე ნაჩვენებია დამოკიდებულება $A = f(k)$, რომლისგანაც შეიძლება გაკეთდეს მნიშვნელოვანი დასკვნა:

1) აგზების სისტემის ეფექტურობა სამფაზა მშის დროს გადამცემი ხაზის დასაწყისში მიიღწევა სამი კენტილის რიგითობითი მუშაობის რეჟიმში, ე.ი. გარე მახასიათებლის ელიფსურ მონაკვეთზე; მაქსიმალური მნიშვნელობას A_m აღილი აქვს განსახილველ კონკრეტულ შემთხვევაში როცა $k = 5,5$;

2) ზღვრულ რეჟიმში 2,3, როცა $k = 4,24$ და რეჟიმში, რომელსაც შეესაბამება A_m , ეფექტურობის სხვაობა მათ შორის, მიიღება შედარებით უმნიშვნელო. ამიტომ ზღვრული რეჟიმი 2,3 კომუტაციის კუთხით 60° იძლევა საშუალებას გვქონდეს აგზების სისტემის მაღალი ეფექტურობა.



ნახ.2.4. თვითაგზნების სისტემის მოქმედების ეფექტურობის კოეფიციენტის A დამოკიდებულება (სამფაზა მშის რეჟიმში გადამცემი ხაზის დასაწყისში, როცა $x_{d1} = 0,5\%$) მიმდევრობითი კოლტსამატი ტრანსფორმატორის ტრანსფორმაციის კოეფიციენტის k მნიშვნელობისაგან.

თუ გამმართველის გარე მახასიათებელი იქნებოდა წრფივი, მაშინ (2.5)-დან გიპოვით მაქსიმუმის პირობას

$$\frac{dA}{dk} = \frac{k_e x_{\Delta 1}}{b} - 2k_r k x_{\Delta 1} = 0,$$

აქედან k -ს ოპტიმალური მნიშვნელობა იქნება

$$k_{\text{опт}} = \frac{k_e}{2bk_R}.$$

2.2. არასიმეტრიული მოკლე შერთვის დროს თვითაგზნებით ჰიდროგენერატორის მუშაობა

თვითაგზნების სისტემის შესწავლა არასიმეტრიული მშის დროს მიმდინარეობს დაშვებით, რომ სისტემაში გვაქვს მიმდევრობითი ვოლტსამატი ტრანსფორმატორი. მოცემულ შემთხვევაში მნიშვნელოვანია ვიპოვოთ პირობა, რომლის დროსაც აღდგება ძაბვების სიმეტრია ვენტილურ გარდამქმნელზე, აგრეთვე განვიხილოთ განსაკუთრებულობა გენერატორის დამყარებული და გარდამავალი პროცესების ანგარიშისთვის არასიმეტრიული დაზიანების დროს.

ვინაიდან ფაზებში გვაქვს მცირე ძაბვა და დიდი დენები, მაშინ მიმდევრობითმა ვოლტსამატმა ტრანსფორმატორმა, შეიძლება გააუმჯობესოს ძაბვების სიმეტრია, მიყვანილი გარდამქმნელის ტრანსფორმატორთან. კომუტაციური პროცესები განისაზღვრება ძირითადად მიმდევრობითი ვოლტსამატი ტრანსფორმატორისა და გამმართველი ტრანსფორმატორის წინაღობებით. კომუტაციის პირველადი წრედის წინაღობა ახდენს შედარებით მცირე გავლენას კომუტაციურ პროცესზე. ამიტომ შეიძლება არ გავითვალისწინოთ არასიმეტრიულობის გავლენა პირველადი კომუტაციის წრედში მშის დროს წინაღობის მნიშვნელობაზე, განპირობებული კომუტაციის კუთხით. ამ შემთხვევაში მიმდევრობით ვოლტსამატი ტრანსფორმატორის გავლენის ეფექტურობის განსაზღვრისათვის ძაბვების სიმეტრიის აღდგენისთვის საჭმარისია ვიპოვოთ კომუტაციური ემბ-ის მნიშვნელობა.

არასიმეტრიული დაზიანების შემთხვევაში გენერატორის მუშაობის ანალიზი, მიზანშეწონილია ჩავატაროთ სიმეტრიული მდგენელთა მეთოდით.

იმასთან დაკავშირებით, რომ ამამაღლებელი ტრანსფორმატორი შეერთებულია სქემით სამკუთხედი - ვარსკვლავი, არასიმეტრიული მშის დროს გადამცემ ხაზზე გენერატორის გრაგნილებში შეიძლება გაიაროს მხოლოდ პირდაპირი და უკუ მიმდევრობის დენებმა.

მიმდევრობითი ვოლტსამატი ტრანსფორმატორი ჩართულია იმგვარად, რომ ინდუქციური დენის დროს ძაბვა მეორად გრაგნილზე ამაღლდეს, ე.ი. უნდა განხორციელდეს ნაწილობრივი ან სრული კომპენსაცია ძაბვის ვარდნისა გენერატორის ინდუქციურ წინაღობაში. უკუ მიმდევრობის სქემაში გენერატორი წარმოგვიდგება ინდუქციური წინაღობით x_2 , როცა ემდ ნულის ტოლია. ამიტომ ემდ, აღმრული მიმდევრობითი ტრანსფორმატორის მეორად გრაგნილში უკუ მიმდევრობის დენებით, იქნება შემხვედრად მიმართული ძაბვის ვარდნა გენერატორის წინაღობაში x_2 . თუ მეორადი გრაგნილები მიმდევრობითი ტრანსფორმატორების შეერთებულია გენერატორის გამოყვანებთან, მაშინ მათი ინდუქციური წინაღობები, ურთიერთ ინდუქციის და გენერატორის უკუ მიმდევრობის წინაღობა, ძაბვა გამმართველი ტრანსფორმატორის მომჭერებზე არ შეიცავს უკუ მიმდევრობის მდგრელებს, ე.ი. იქნება სიმეტრიული. ძაბვები მიიღება ტოლი და დაძრული ერთმანეთის მიმართ 120°-ით. ამგვარად ძაბვების სიმეტრიის აღდგენისათვის აუცილებელია პირობის დაკმაყოფილება.

$$x'_M = x_2 \quad (2.7)$$

მიმდევრობითი ტრანსფორმატორების ჩართვის შემთხვევაში დაბალი ძაბვის მხარეზე საჭიროა ვენტილებზე ძაბვის სიმეტრიის აღდგენა. ამის მიღწევა შესაძლებელია პირობის დაკმაყოფილებით.

$$x'_M = \frac{x_2}{k_{\text{pp}}} \quad (2.8)$$

მეორე მხრივ მხედველობაში უნდა მივიღოთ, რომ ასეთი სიმეტრიულობა ძაბვების, მიიღება მხოლოდ აქტიური წინაღობის გამორიცხვით გენერატორის პირველადი კომუტაციის წრედებში, რადგანაც წინააღმდეგ შემთხვევაში გვექნება ძაბვების ვარდნა არა მხოლოდ ინდუქციურ, არამედ აქტიურ წინაღობაში. მიმდევრობითი ტრანსფორმატორები ურთიერთ-ინდუქციის ხარჯზე წარმოქმნიან ემდ, დაძრულს $\pi/2$ კუთხით გენერატორის დენის მიმართ. შესაბამისად, მათ

არ შეუძლიათ კომპენსაცია ძაბვის ვარდნის აქტიურ წინადობაში. ამ მდგომარეობას აქვს მნიშვნელობა მცირე სიმძლავრის გენერატორებისთვის.

მაგალითის სახით განვიხილოთ ორფაზა მშის რეჟიმი მიწაზე გადამცემი ხაზის დასაწყისში, როცა გამორიცხულია კავშირი მიმღებ ენერგოსისტემასთან. მივიღოთ, რომ მიმდევრობითი ტრანსფორმატორი ჩართულია დაბალი ძაბვის მხარეზე. დაუშვათ, რომ გენერატორს გააჩნია დამოუკიდებელი აგზება, ხოლო გარდამქმნელი მუშაობს უქმი სვლის რეჟიმში.

პირდაპირი და უკუ მიმდევრობის დენები მშის წერტილში ტოლია [37].

$$\begin{aligned} \underline{I}_{A1} &= \frac{-j\underline{U}_A}{x_1 + x_B + \frac{(x_2 + x_B)x_o}{x_2 + x_B + x_o}}, \\ \underline{I}_{A2} &= -\underline{I}_{A1} \frac{x_o}{x_2 + x_B + x_o}, \end{aligned}$$

სადაც \underline{U}_A - მშის წინ ამამადლებელი ტრანსფორმატორის ფაზური ძაბვა მაღალი ძაბვის მხარეზე. x_B - ამამადლებელი ტრანსფორმატორის ინდუქციური წინადობა;

მშის წერტილში პირდაპირი და უკუ მიმდევრობის ძაბვა ტოლია

$$\underline{U}_{A1}^{(K)} = \underline{U}_{A2}^{(K)} = j\underline{I}_{A1} \frac{(x_2 + x_B)x_o}{x_2 + x_B + x_o}.$$

ტრანსფორმატორის დაბალი ძაბვის მხარეზე ძაბვის მნიშვნელობა შეიძლება მიღებული იქნეს $jx_B \underline{I}_{A1}$ და $jx_B \underline{I}_{A2}$ ძაბვის ვარდნების ჯამით და შემდგომ გამრავლებული პირდაპირი მიმდევრობის ვექტორები $-j\theta$, ხოლო უკუ მიმდევრობის ვექტორები $+j\theta$. მაშინ გენერატორის ფაზური ძაბვები და დენები მიიღებენ შემდეგ მნიშვნელობებს:

$$\left. \begin{aligned} \underline{U}_a &= j\underline{I}_{A1} \left(x_B + \frac{x_B x_o}{x_2 + x_B + x_o} \right), \\ \underline{U}_b &= -\frac{1}{2} j\underline{I}_{A1} \left(x_B + \frac{x_B x_o}{x_2 + x_B + x_o} \right) + \\ &\quad + \frac{\sqrt{3}}{2} \underline{I}_{A1} \left[x_B + \frac{(x_B + 2x_2)x_o}{x_2 + x_B + x_o} \right], \\ \underline{U}_c &= -\frac{1}{2} j\underline{I}_{A1} \left(x_B + \frac{x_B x_o}{x_2 + x_B + x_o} \right) - \\ &\quad - \frac{\sqrt{3}}{2} \underline{I}_{A1} \left[x_B + \frac{(x_B + 2x_2)x_o}{x_2 + x_B + x_o} \right], \end{aligned} \right\} \quad (2.9)$$

$$\left. \begin{aligned} \underline{I}_a &= I_{a1} \frac{x_2 + x_B + 2x_o}{x_2 + x_B + x_o}, \\ \underline{I}_b &= -\frac{1}{2} I_{a1} \frac{x_2 + x_B + 2x_o}{x_2 + x_B + x_o} - \frac{\sqrt{3}}{2} j I_{a1} \frac{x_2 + x_B}{x_2 + x_B + x_o}, \\ \underline{I}_c &= -\frac{1}{2} I_{a1} \frac{x_2 + x_B + 2x_o}{x_2 + x_B + x_o} + \frac{\sqrt{3}}{2} j I_{a1} \frac{x_2 + x_B}{x_2 + x_B + x_o}, \end{aligned} \right\} \quad (2.10)$$

სადაც $\underline{I}_{a1} = -j I_{A1}$

მიმდევრობითი ტრანსფორმატორების მეორადი გრაგნილები უნდა იყოს ჩართული ისე, რომ ემდე მათში დაემთხვეს ფაზის მიხედვით გენერატორის ემდე სამფაზა მშების რეჟიმში. ასეთი პირობების მიხედვით ემდე მიმდევრობითი ტრანსფორმატორების მეორად გრაგნილებში ტოლია

$$\left. \begin{aligned} \underline{E}_{da} &= j \underline{I}_{a1} x'_M = j I_{a1} x'_M \frac{x_2 + x_B + 2x_o}{x_2 + x_B + x_o} \\ \underline{E}_{db} &= j \underline{I}_{b1} x'_M = -\frac{1}{2} j I_{a1} x'_M \frac{x_2 + x_B + 2x_o}{x_2 + x_B + x_o} + \\ &\quad + \frac{\sqrt{3}}{2} I_{a1} x'_M \frac{x_2 + x_B}{x_2 + x_B + x_o}, \end{aligned} \right\} \quad (2.11)$$

$$\underline{E}_{dc} = -\frac{1}{2} j I_{a1} x'_M \frac{x_2 + x_B + 2x_o}{x_2 + x_B + x_o} - \frac{\sqrt{3}}{2} I_{a1} x'_M \frac{x_2 + x_B}{x_2 + x_B + x_o}$$

კოლტსამატი ტრანსფორმატორის მეორადი გრაგნილის მომჰქერებაზე ძაბვა U_d ტოლია გამმართველი ტრანსფორმატორის მეორადი გრაგნილის U_2 და აღნიშნული ტრანსფორმატორების მეორადი გრაგნილების $I x'_M$ ემდებარება. მივიღოთ მხედველობაში, რომ $U_2 = U/k_{np}$, აგრეთვე (2.9) და (2.11), გვექნება

$$\left. \begin{aligned} \underline{U}_{da} &= j I_{a1} \left[\frac{1}{k_{np}} \left(x_B + \frac{x_B x_o}{x_2 + x_B + x_o} \right) + x'_M \frac{x_2 + x_B + 2x_o}{x_2 + x_B + x_o} \right], \\ U_{db} &= -\frac{1}{2} j I_{a1} \left[\frac{1}{k_{np}} \left(x_B + \frac{x_B x_o}{x_2 + x_B + x_o} \right) + x'_M \frac{x_2 + x_B + 2x_o}{x_2 + x_B + x_o} \right] + \\ &\quad + \frac{\sqrt{3}}{2} I_{a1} \left[\frac{1}{k_{np}} \left(x_B + \frac{(x_B + 2x_2)x_o}{x_2 + x_B + x_o} \right) + x'_M \frac{x_2 + x_B}{x_2 + x_B + x_o} \right], \\ \underline{U}_{dc} &= -\frac{1}{2} j I_{a1} \left[\frac{1}{k_{np}} \left(x_B + \frac{x_B x_o}{x_2 + x_B + x_o} \right) + x'_M \frac{x_2 + x_B + 2x_o}{x_2 + x_B + x_o} \right] - \\ &\quad - \frac{\sqrt{3}}{2} I_{a1} \left[\frac{1}{k_{np}} \left(x_B + \frac{(x_B + 2x_2)x_o}{x_2 + x_B + x_o} \right) + x'_M \frac{x_2 + x_B}{x_2 + x_B + x_o} \right]. \end{aligned} \right\} \quad (2.12)$$

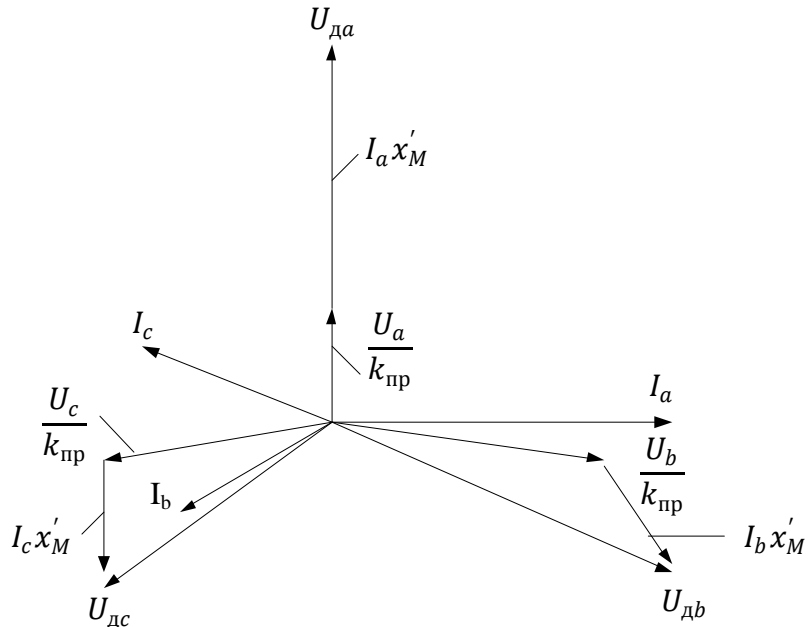
სამფაზა სიმეტრიული სისტემის მიღებისათვის აუცილებელია

$$\frac{1}{k_{np}} \left(x_B + \frac{x_B x_o}{x_2 + x_B + x_o} \right) + x'_M \frac{x_2 + x_B + 2x_o}{x_2 + x_B + x_o} =$$

$$= \sqrt{\frac{1}{4} \left[\frac{1}{k_{np}} \left(x_B + \frac{x_B x_o}{x_2 + x_B + x_o} \right) + x'_M \frac{x_2 + x_B + 2x_o}{x_2 + x_B + x_o} \right]^2 + \frac{3}{4} \left[\frac{1}{k_{np}} \left(x_B + \frac{(x_B + 2x_2)x_o}{x_2 + x_B + x_o} \right) + x'_M \frac{x_2 + x_B}{x_2 + x_B + x_o} \right]^2},$$

საიდანაც $x'_M = x_2/k_{np}$

(2.9)-(2.12) განტოლებების შესაბამისად აგებულია ძაბვებისა და დენების ვექტორული დიაგრამა (ნახ. 2.5):



ნახ.2.5. გადამცემი საზის დასაწყისში ორფაზა მშის დროს მიწაზე ძაბვებისა და დენების ვექტორული დიაგრამა

ანალოგიურად შეიძლება აიგოს ძაბვებისა და დენების ვექტორული დიაგრამა სხვა სახის დაზიანებისათვის.

რადგანაც გარდამქმნელი წარმოადგენს სიმეტრიულს, მაშინ სიმეტრიული სისტემის კომუტაციის ემპ-ის მიღებისათვის საკმარისია, რომ აგზნების გრაგნილზე მუშაობის დროს მის დენებსა და ძაბვებს ქონდეთ ერთნაირი ფორმა ყველა ფაზაში.

თუ მიმდევრობით ტრანსფორმატორს წაყენებული აქვს მოთხოვნა ადადგინოს ძაბვების სიმეტრია გარდამქმნელზე არასიმეტრიული დაზიანების დროს, მაშინ ტოლობა (2.8) შეიძლება განვიხილოთ როგორც ერთ-ერთი პირობა k , k_{np} და x_{A1} განსაზღვრისათვის.

გარდამქნელის ძაბვების და დენების სიმეტრიის აღდგენის პირობა მიღებულია იმ დაშვებით, რომ არასიმეტრიული მშ-ის რეჟიმში სტატორის გრაგნილებში გადის მხოლოდ ძირითადი სიხშირის დენები. მეორე მხრივ როტორის არასიმეტრიული ელექტრომაგნიტური პროცესების შედეგად სტატორის დენები წარმოადგენს არასინუსოიდურს; რის შედეგად აგზნების დენი მიიღება არა მუდმივი, არამედ პულსირებული. ეს მოვლენა განსაკუთრებით ძლიერ გამოიხატება ცხადპოლუსა გენერატორებში დამამშვიდებელი კონტურების გარეშე. თუ დამოუკიდებელ აგზნებიან სისტემაში დენების მაღალი რიგის ჰარმონიკების მდგენელების გავლენა შეიძლება გამოვლინდეს მხოლოდ როტორის მხრიდან, მაშინ თვითაგზნების სისტემაში ამ გავლენას ადგილი აქვს როგორც როტორის, ისე სტატორის მხრიდანაც.

ელექტრომაგნიტურმა არასიმეტრიულობამ შეიძლება უპირველეს ყოვლისა მიგიყვანოს გენერატორის ძაბვის ძლიერ დამახინჯებასთან. თვითაგზნების სისტემაში როტორის არასიმეტრიის არასასურველი გავლენა გარდამქმნელის მუშაობაზე ძლიერდება მიმდევრობითი ვოლტსამატი ტრანსფორმატორის შედეგად. რადგანაც ურთიერთ ინდუქციის ემდ პროპორციულია დენების წარმოებულის, მაშინ აღნიშნული დენების მაღალი რიგის ჰარმონიკების მდგენელებმა შეიძლება ძლიერ დამახინჯოს ემდ, შესაბამისად ვენტილების ძაბვა. აგზნების სისტემაში პულსირებული დენის გავლას გარდამქმნელის გავლით, მივყავართ ძაბვის დამახინჯების შემდგომ ზრდასთან. სტატორის ძაბვის და დენის მრუდში მაღალი რიგის ჰარმონიკების მდგენელების არსებობა ქმნის დამატებით სიძნელეებს ვენტილების მართვის მოწყობილობის მუშაობაში. მთლიანობაში ყოველივე ეს წარმოშობს, გენერატორის თვითაგზნების სისტემაში დამამშვიდებელი კონტურების გარეშე, უფრო მძიმე პირობას, ვიდრე დამამშვიდებელი კონტურების არსებობის დროს. ამის ახსნა შეიძლება იმით, რომ დამამშვიდებელი კონტურის არსებობისას როტორის ელექტრომაგნიტური არასიმეტრიულობა ხდება შედარებით მცირე და დენების მაღალი რიგის ჰარმონიკების გავლენა გარდამქმნელის

მუშაობაზე არასიმეტრიული მშ-ის დროს პრაქტიკულად შეიძლება არ გავითვალისწინოთ. ამიტომ მიახლოებით შეიძლება მივიღოთ, რომ გენერატორებისთვის დამამშვიდებელი კონტურებით შესაძლებელია გარდამქმნელის ძაბვის და დენის სიმეტრიის აღდგენა. გამართული ძაბვის საშუალო მნიშვნელობა განისაზღვრება გარდამქმნელის გარე მახასიათებლით.

რაც შეეხება გენერატორს დამამშვიდებელი სისტემის გარეშე, აქ შეიძლება განვიხილოთ მხოლოდ მიახლოებით ძაბვების სიმეტრიულობა და ანგარიშებში გამოვიყენოთ გარე მახასიათებლები, განსაზღვრული დენების მაღალი რიგის პარმონიკების გათვალისწინების გარეშე.

განვიხილოთ გარდამქმნელის მუშაობის განსაკუთრებულობა, როცა ადგილი აქვს ძაბვების არასრულ სიმეტრიულობას, რომელიც აღიძვრება იმ შემთხვევაში, როცა არაა შესრულებული (2.7) და (2.8) პირობა. რადგანაც მშ-ის დროს თვითაგზნების სისტემას უნდა ქონდეს ჩვეულებრივ მაღალი გამართული ძაბვის მნიშვნელობა, მაშინ მიიღება, რომ გარდამქმნელი მუშაობს $\alpha = \sigma$ მართვის კუთხით.

გამართული ძაბვის საშუალო მნიშვნელობას განვსაზღვრავთ რეჟიმში, რომელიც შეესაბამება გამმართველის უქმ სვლას და გენერატორის აგზნების გრაგნილის კვებას დამოუკიდებელი კვების წყაროდან. ამ შემთხვევაში დაუშვებოთ, რომ მიმდევრობითი ტრანსფორმატორი ჩართულია მაღალი ძაბვის მხარეზე და გამმართველი ტრანსფორმატორი შეერთებულია \times/\times სქემით.

გარდამქნელის მუშაობის დროს აგზნების გრაგნილზე გამართული ძაბვა მცირდება აგზნების დენის მნიშვნელობის მიხედვით. აგზნების ძაბვა გარე მახასიათებლის პირველ მონაკვეთზე მუშაობის დროს იქნება.

$$U_d = k_e E_{mcp} - K_R x_\delta I_d - 2\Delta U, \quad (2.13)$$

სადაც

$$E_{mcp} = U'_{mg.\pi.cpl}/\sqrt{3}.$$

გარე მახასიათებელი (2.13), როგორც პირობა ძაბვების სიმეტრიისა, დაახლოებით სამართლიანია გენერატორის აგზნების სისტემისათვის დამამშვიდებელი სისტემით. გენერატორისთვის დამამშვიდებელი

სისტემის გარეშე (2.13) განტოლება შეიძლება გამოყენებული იქნეს მიახლოებითი ანგარიშებისათვის. არასიმეტრიული მშ-ის შემთხვევაში ძაბვა გენერატორის მომჭერებზე მიიღება უფრო მეტი, ვიდრე სამფაზა მშ-ის დროს. ეს ქმნის მნიშვნელოვან დადებით პირობას არასიმეტრიულ რეჟიმში თვითაგზნებისთვის, შედარებით სამფაზა მშ-ის რეჟიმითან. გარდა ამისა გარდამქმნელი არასიმეტრიული დაზიანების დროს აღმოჩნდება ნაკლებად მძიმე რეჟიმში, ვიდრე სამფაზა მშ-ის დროს. აღნიშნული მოვლენა აიხსნება კომუტაციური ემბ-ის გაზრდით და აგზნების დენის გაზრდის შემცირებით მშ-ის რეჟიმში.

არსებით განსაკუთრებულობას არასიმეტრიული მშ რეჟიმისა, წარმოადგენს ის, რომ გენერატორი ინარჩუნებს კავშირს მიმღებ ენერგოსისტემასთან. თვითაგზნებით სინქრონული გენერატორის გარდამავალი პროცესების ანგარიშის განსაკუთრებულობის შესწავლის მიზნით, არასიმეტრიული დაზიანების დროს განვიხილავთ მარტივ შემთხვევას, როცა:

1. ერთი სადგური მუშაობს გადამცემ საზზე მძლავრ მიმღებ ენერგოსისტემასთან, 2. გენერატორის სიჩქარე მუდმივია; 3. მხედველობაში არ მიიღება გენერატორის დენების მაღალი რიგის პარმონიკების მდგენელები, დამამშვიდებელი კონტურების გავლენა და სტატორის წრედის აქტიური წინაღობა. ამ პირობებში ძირითადი განტოლებებიდან პირდაპირი მიმდევრობის დენებისა და ძაბვებისათვის მივიღებთ:

$$\begin{bmatrix} -(x_d + x_B + x_n) & -x_{ad} \\ x_{ad}P & r_f + x_f P \end{bmatrix} \times \begin{bmatrix} i_d \\ I_d^* \end{bmatrix} = \begin{bmatrix} U_q \\ U_d^* \end{bmatrix}, \quad (2.14)$$

სადაც, ნახ. 2.6-ის თანახმად

$$x_n = \frac{x_\Delta x_4}{x_\Delta + x_4}, x_4 = x_1 + \frac{x_3(x_2 + x_c)}{x_3 + x_2 + x_c};$$

$$U_q = \frac{U'_{cq} x_\Delta}{x_\Delta + x_4}, U'_{cq} = \frac{U_{cq} x_3}{x_3 + x_2 + x_c},$$

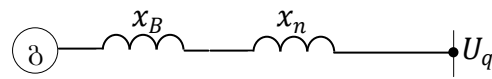
U_{cq} - ენერგოსისტემის სალტის ეკვივალენტური ძაბვა გენერატორის განვი დერძის მიხედვით, i_d - სტატორის გრაგნილის პირდაპირი მიმდევრობის დენი, x_c - ეკვივალენტური წინაღობა გადამცემი საზის ბოლოებს და ენერგოსისტემის ეკვივალენტურ

სალტებს შორის. x_Δ - დამატებითი ინდუქციური წინაღობა (დამოკიდებულია მშ-ის სახეობაზე).

გამართული ძაბვის საშუალო მნიშვნელობა წარმოადგენს ზოგად შემთხვევაში გენერატორის ფაზური ძაბვების და დენების ფუნქციას, აგრეთვე I_d^* დენის.



$$\text{a)} \quad x_\Delta = \frac{x_1}{x_1 + x_2}$$



б)

ნახ.2.6. ელექტროგადაცემის ჩანაცვლების სქემა:
ა) - საწყისი, ბ) - გარდაქმნილი

მშ-ის წერტილში პირდაპირი მიმდევრობის დენი და ძაბვა.

$$I_{A1}^{(K)} = \frac{\underline{U}_{cq}}{j(x_\Delta + x_4)} + I_{a1} \frac{x_4}{x_\Delta + x_4},$$

$$\underline{U}_{A1}^{(K)} = jI_{A1}^{(K)}x_\Delta,$$

სადაც $I_{a1} = i_d$

გენერატორის პირდაპირი მიმდევრობის ძაბვა

$$\underline{U}_{a1} = \underline{U}_{A1}^{(K)} + jI_{a1}x_B.$$

მშ-ის წერტილში უკუ მიმდევრობის დენი შეიძლება გამოვსახოთ პირდაპირი მიმდევრობის დენით. მათ შორის თანაფარდობა დამოკიდებულია დაზიანების სახეობაზე. მაგალითად ერთფაზა და ორფაზა მშ-ის დროს $I_{A2}^{(K)} = I_{A1}^{(K)}$ და $I_{A2}^{(K)} = -I_{A1}^{(K)}$. უკუ მიმდევრობის დენი

$$I_{a2} = -I_{A2}^{(K)} \frac{x_4}{x_2 + x_B + x_4}.$$

აქ ტრანსფორმატორზე გადასვლის დროს, რომლის შეერთების სქემაა სამკუთხედი - გარსკვლავი, უკუ მიმდევრობის დენების

გექტორები მობრუნებულია 180^0 -ით. გენერატორის უკუ მიმდევრობის ძაბვა

$$\underline{U}_{a2} = \underline{U}_{A2}^{(K)} + jI_{a2}x_B.$$

გიცით, რა ძაბვა და დენები პირდაპირი და უკუ მიმდევრობის, გპოულობთ ფაზურ ძაბვებს,

$$\underline{U}_a = \underline{U}_{a1} + \underline{U}_{a2}, \underline{U}_b = a^2 \underline{U}_{a1} + a \underline{U}_{a2}, \underline{U}_c = a \underline{U}_{a1} + a^2 \overline{\underline{U}}_{a2} \quad (2.15)$$

ანალოგიურად ვპოულობთ გენერატორის ფაზურ დენებს. დენების განსაზღვრის შემდეგ ვღებულობთ ემდ მიმდევრობითი ტრანსფორმატორის მეორად გრაგნილებში

$$\underline{E}_{da} = jI_a x'_M, \underline{E}_{db} = jI_b x'_M, \underline{E}_{dc} = jI_c x'_M \quad (2.16)$$

(2.15)-ის მიხედვით განსაზღვრულ გენერატორის ფაზურ ძაბვებს გავყოფთ k_{pp} -ზე და შევაჯამებთ მიმდევრობითი ტრანსფორმატორის ემდებთან განსაზღვრულს 2.16 ფორმულით. . შედეგად მივიღებთ მიმდევრობითი ტრანსფორმატორის გამომყავნებზე ფაზურ ძაბვებს. შემდეგ ვპოულობთ საზური ძაბვების საშუალო მნიშვნელობებს $U'_{d,\text{av},cp}$ და, ბოლოს E_{cp} და E_{mcp} .

(2.13)-ის შესაბამისად ძაბვა U_d^* განტოლებაში (2.14) შეიძლება წარმოვიდგინოთ შემდეგი სახით

$$U_d^* = k_e E_{mcp}^* - r_a I_d^* - 2\Delta U^*.$$

რადგანაც ზოგად შემთხვევაში დამოკიდებულება E_{mcp}^* , i_a დენისგან წარმოადგენს არაწრფივს, მაშინ (2.14) განტოლების ამოხსნისათვის მიზანშეწონილია გამოვიყენოთ რიცხვითი ინტეგრირების მეთოდი.

ეილერის მეთოდის გამოყენებით გვექნება

$$\left. \begin{aligned} \Delta I_{d(n)}^* &= \left(\frac{k_e E_{mcp}^* - 2\Delta U^*}{r_d + r_f} - I_{d(n-1)}^* \right) P_1 \Delta t, \\ I_{d(n)}^* &= I_{d(n-1)}^* + \Delta I_{d(n)}^*, \quad i_{d(n)} = \frac{u_q - x_{ad} I_{d(n)}^*}{x_d + x_B + x_n}, \end{aligned} \right\} \quad (2.17)$$

$$\text{სადაც } P_1 = \frac{r_d + r_f}{x_f} \frac{x_d' + x_B + x}{x_d + x_B + x_n}$$

I_{do}' და i_{do}' დენების საწყის მნიშვნელობებს ვპოულობთ ნაკადშების მუდმივობის პირობიდან. (2.14) განტოლებიდან გვაქვს

$$I_{do}^{*'} = \frac{x_f I_{do}^* + x_{ad} i_{do} - \frac{x_{ad}}{x_d + x_B + x_n} U_q}{\frac{x_{ad}^2}{x_f - x_d - x_B - x_n}}, \quad (2.18)$$

$$i_{do}' = -\frac{x_{ad} I_{do}^{*'} - U_q}{x_d + x_B + x_n}$$

$I_{do}^{*'} =$ დენის მიღებული მნიშვნელობა უნდა იქნეს გამოყენებული
(2.17) ტოლობაში დროის პირველი ინტერვალისთვის ($n = 1$).

თუ მივიღებთ, რომ გენერატორის სიჩქარე არაა მუდმივი, მაშინ ანგარიში მნიშვნელოვნად რთულდება, რადგანაც აუცილებელია გავითვალისწინოთ კუთხის ცვლილება პოლუსების განივი დერძსა და ენერგოსისტემის მიმღები ეკვივალენტური სალტის ძაბვას შორის. ამ შემთხვევაში გარდამავალი პროცესების ანგარიში მოხერხებულია ჩავატაროთ ისე, როგორც ის სრულდება დინამიკური მდგრადობის დროს [38]. გენერატორი წარმოგვიდგება ფაქტიური ემბ-ით E_Q და ინდუქციური წინაღობით x_q . ჯერ გამოითვლება დენები და ძაბვები პირდაპირი და უკუ მიმღევრობის, შემდეგ გენერატორის ძაბვა და დენები, მიმდევრობითი ტრანსფორმატორის ემბ, ფაზური და ხაზური ძაბვები მოდებული გამმართველზე და ბოლოს, E_{mcp} . ამის შემდეგ ვპოულობთ გარდამავალი ემბ-ის E'_d მნიშვნელობას. E_Q ახალ მნიშვნელობას გამოვთვლით გენერატორის ელექტრომაგნიტურ მომენტსა და ტურბინის მომენტს შორის სხვაობით, $\Delta\theta$ კუთხის ცვლილებით და ა.შ.

აღნიშნულ ანგარიშებში აგზნების ემბ-ად მიღებულია

$$E_{de} = \frac{k_e E_{mcp} - 2\Delta U}{U_{dx}},$$

სადაც U_{dx} -აგზნების ძაბვა, რომლის დროს სტატორის გრაგნილში უქმი სვლის რეჟიმში მიიღება ნომინალური ძაბვა. გარდამავალ პროცესში დროის მუდმივა

$$T'_d = T'_{do} \frac{R_f}{R_f + k_R x_\delta + k_r r_\delta}$$

სავსებით ბუნებრივია, რომ არასიმეტრიული მშ-ის დროს გარდამავალი პროცესების ანგარიში მნიშვნელოვნად მარტივდება, თუ მიმდევრობითი ტრანსფორმატორები აღადგენენ კომუტაციის ემბ-ის

სიმეტრიას. აქ საკმარისია განისაზღვროს გენერატორის მხოლოდ ერთი ფაზის ძაბვა და დენი.

კვების სიმეტრია ქმნის დადგებით პირობას ვენტილების მართვის მოწყობილობის მუშაობისათვის.

2.3. თვითაგზნება მიმდევრობითი ვოლტსამატი ტრანსფორმატორის გამოყენების გარეშე

როგორც წინა პარაგრაფში აღნიშნული იყო, ვენტილების ძაბვის სტაბილიზაციისთვის მშის დროს გამოიყენება მიმდევრობითი ვოლტსამატი ტრანსფორმატორი. ვინაიდან პირველადი და მეორადი გრაგნილების დენები განსხვავდებიან, მაშინ ასეთი ტრანსფორმატორი უნდა განხორციელდეს გახსნილი მაგნიტური წრედით, რაც ართულებს მის კონსტრუქციას და ზრდის ლირებულებას. გარდა ამისა, აუცილებელია ვოლტსამატი ტრანსფორმატორის მეორადი გრაგნილების მიმდევრობითი შეერთება გენერატორის ნულოვან გამომყვანებთან სალტენების საშუალებით, რაც ართულებს გენერატორის პირველადი კომუტაციის წრედების შესრულებას. ამასთან დაკავშირებით გამარტივებული აგზნების სისტემა მიმდევრობითი ტრანსფორმატორების გარეშე პოულობს ფართო გამოყენებას.

თვითაგზნების სისტემა ვოლტსამატი ტრანსფორმატორის გარეშე ხასიათდება შემდეგი თვისებებით:

1. გენერატორის დინამიკური მდგრადობის გარკვეული სიდიდით დადაბლება;
2. ხანგრძლივი სამფაზა მშის დროს გენერატორთან ახლოს, სწრაფი მილევა დენების, ამიტომ ძირითადი დაცვის მტყუნების შემთხვევაში და სტატორის გრაგნილში დენების შემცირების დროს, შეიძლება არ იმოქმედოს მაქსიმალურმა დენურმა დაცვამ, რომელსაც გააჩნია დიდი დაყოვნების დრო. გენერატორის დინამიკური მდგრადობის გარკვეული შემცირება მიმდინარეობს იმასთან დაკავშირებით, რომ უკცრად მცირდება აგზნების ძაბვა, მყისიერი სამფაზა მშის შემდეგ.

2.4. ფორსირებისა და განაგზნების პროცესები

გენერატორის დინამიკური მდგრადობის ამაღლებისათვის აუცილებელია აგზნების ფორსირება არა მხოლოდ მშის დროს, არამედ მისი შეწყვეტის შემდეგაც, როცა მიმდინარეობს θ კუთხის ზრდა. სწრაფმომქმედი აგზნება იძლევა საშუალებას მივიღოთ ინტენსიური დემფირება გენერატორის როტორის რხევისა ავარიის შემდგომ რეჟიმში. ეს მიიღწევა ცვალებადი ფორსირებით და განაგზნებით. კომუტაციური ემბ ფორსირების და განაგზნების დროს შეიძლება გავიანგარიშოთ ფორმულით

$$E_m = \sqrt{2} \sqrt{\left(\frac{U}{k_{\text{tp}}} + Ix'_m \sin \varphi\right)^2 + (Ix'_m \cos \varphi)^2},$$

სადაც $\varphi - U$ და I შორის კუთხე.

ამ შემთხვევაში აუცილებელია ვიცოდეთ გენერატორის ძაბვა, დენი და მათ შორის ფაზური კუთხე, რადგანაც ეს სიდიდეები იცვლება დროში რხევებით, აქ არ შეიძლება დაუშვათ გენერატორის ბრუნვის სიჩქარის მუდმივობა. ამიტომ ძაბვებისა და დენების ანგარიში მიზანშეწონილია შევასრულოთ მიმდევრობითი ინტერვალების მეთოდით.

2.5. ასინქრონული რეჟიმის, თვითსინქრონიზაციის და რესინქრონიზაციის განსაკუთრებულობა

მიმდევრობითი ვოლტსამატი ტრანსფორმატორის არსებობა იწვევს ზოგიერთ განსაკუთრებულობას ასინქრონულ, სინქრონიზაციის და რესინქრონიზაციის რეჟიმებში. ეს დაკავშირებულია იმასთან, რომ მიმდევრობითი ტრანსფორმატორის ძაბვა ემატება გამმართველი ტრანსფორმატორის ძაბვას გეომეტრიულად. გენერატორის გადასვლის დროს რეაქტიული სიმძლავრის მოთხოვნის რეჟიმში, მიმდევრობითი ტრანსფორმატორის ძაბვა აკლდება გამმართველი ტრანსფორმატორის ძაბვას. შედეგად მცირდება გამართული ძაბვა. მხედველობაში უნდა გვქონდეს, რომ სქემაში ორჯგუფიანი ვენტილებით, ძაბვის ასეთი შემცირება მიმდინარეობს ფორსირების ჯგუფზე.

თავი III. პიდროგენერატორის სტატიკური მძლავრდენისა ტირისტორული აგზნების სისტემაში ელექტრომაგნიტური პროცესები

3.1. ელექტრომაგნიტური პროცესების განსაკუთრებულობა

თუ სინქრონული გენერატორს უნდა ქონდეს აგზნების ფორსირების ამაღლებული ჯერადობა, მაშინ მართვადი გარდამქმნელი იმუშავებს დიდი რეგულირების კუთხეებით. ამას თან სდევს რეაქტიული სიმძლავრის მნიშვნელოვანი გაზრდა რის შედეგად ტრანსფორმატორების და დამხმარე სინქრონული გენერატორების ტიპიური სიმძლავრე იზრდება.

ტიპიური სიმძლავრის შემცირება, შეიძლება მიღწეული იქნეს ორი პარალელურად ჩართული ვენტილების ჯგუფის სქემების გამოყენებით, არასიმეტრიული მართვის გამოყენებით, ნულოვანი ვენტილების ჩართვით, იმპულსური მართვის გამოყენებით. ბოლო შემთხვევაში მთავარი გენერატორის ძაბვისგან დამოკიდებულებაში გამმართველი იკეტება ან სრულად იღება. ქვემოთ განვიხილოთ სხვადასხვა მართვადი სქემები და სქემები ნულოვანი ვენტილებით.

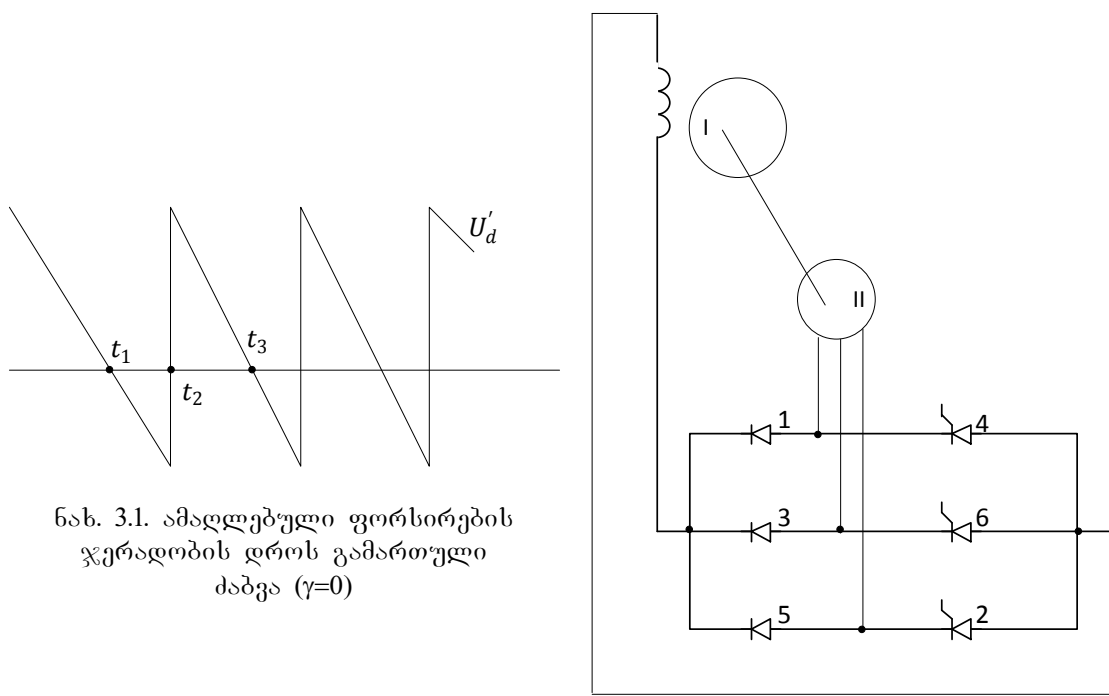
გარდამქმნელები ფორსირების რეჟიმში უნდა მუშაობდეს სრული გამართული ძაბვით, რაც უზრუნველყოფილია მისი გადაყვანით სიმეტრიული მართვის რეჟიმში. ამიტომ საკმარისია განვიხილოთ გარდამქმნელის მოქმედება შემცირებული სიმძლავრით ნორმალურ რეჟიმში. ამ შემთხვევაში საკმარისია გამოვიყენოთ გარდამქმნელის გარე მახასიათებლის საწყისი უბანი.

აგზნების ერთჯგუფიანი სქემის სიმეტრიული მართვის და ფორსირების ამაღლებული ჯერადობის შემთხვევაში, გამართული ძაბვას გააჩნია ხერხისებრი ფორმა (ნახ.3.1.) $t_1 - t_2$ დროის ინტერვალში ძაბვა მიიღება უარყოფითი. ეს აღნიშნავს, რომ გამართული დენი აქ მიმართულია შემხვედრად კვების წყაროს ემბ-ის მიმართ. ამიტომ საკვებით ბუნებრივია მისწრაფება დამატებითი გზების შექმნისათვის, რომელშიც დენს შეეძლება გაიაროს მოცემული დროის ინტერვალში.

ასეთი გზები შეიძლება შეიქმნას ბოგირულ სქემაში დენის გავლის შესაძლებლობების გამოყენება, გენერატორის გრაგნილების გამორიცხვით (ნახ. 3.2), ან დამატებითი (ნულოვანი ან ბუფერული) ვენტილების გამოყენება (ნახ. 3.3). პირველი მეორე მოხერხებულია იმით, რომ ის არ მოითხოვს დამატებით ვენტილებს. ამ შემთხვევაში 1,3 და 5 ვენტილებს გააჩნია ერთი კუთხი რეგულირების, ხოლო 2,4 და 6 ვენტილებს - მეორე კუთხე.

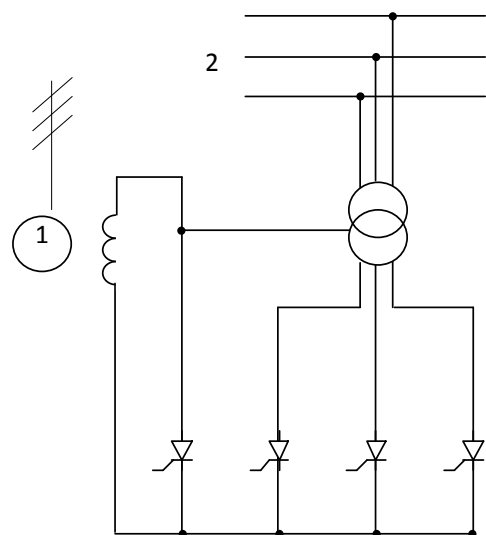
ელექტრომაგნიტური პროცესების შემდეგ სახეს მიეკუთვნება ისეთი პროცესები, რომლებიც დაკავშირებულია გამმართველის ძაბვაზე, გამართული დენის ცვლადი მდგენელების გავლენასთან. ასეთ პროცესებს ადგილი აქვს მთავარ გენერატორზე მშის დროს.

მთავარი გენერატორის სიმეტრიული მშის დროს სტატორის წრედში წარმოიქმნება აპერიოდული დენები, ხოლო როტორის კონტურში მისი შესაბამისი ძირითადი სიხშირის (50Hz) ცვლადი დენები. არასიმეტრიული მშის შემთხვევაში როტორის კონტურში აღიძვრება სხვა სიხშირის დენებიც, რომლისგანაც ძირითად მნიშვნელობას გააჩნია ორმაგი სიხშირე, გამოწვეული ჟაუ მბრუნავი მაგნიტური ნაკადებით. ამგვარად, მთავარი გენერატორის ავარიული რეჟიმების დროს გარდამქმნელის მუდმივი დენის წრედში გაივლის პულსირებული დენი. ამისათვის აუცილებელია გაირკვეს, როგორ მოქმედებს ცვლადი მდგრელი, მუდმივ დენზე, გარდამქმნელის მუშაობაზე, პირველ რიგში მის გარე მახასიათებელზე. ბუნებრივია, რომ ეს გავლენა იქნება მნიშვნელოვანი გენერატორში დამამშვიდებელი სისტემის გარეშე, სადაც პულსაცია გამოვლინდება დიდი ფორმით. ცხადპოლუსა გენერატორში დამამშვიდებელი სისტემით პულსაცია მნიშვნელოვნად მცირდება. პულსაციის გავლენა გამართული ძაბვის საშუალო მნიშვნელობაზე დამოკიდებულია აგრეთვე გარდამქმნელის ცვლადი დენის წრედის წინაღობაზე.



ნახ. 3.1. ამაღლებული ფორსირების
ჯერადობის დროს გამართული
ძაბვა ($\gamma=0$)

ნახ. 3.2. აგზნება გაწონასწორებული
მართვადი სქემით
I – მთავარი გენერატორი,
II – დამხმარე გენერატორი



ნახ. 3.3.. ნულოვანი ვენტილებით და სამფაზა
გამმართველით აგზნების სქემა. 1-გენერატორი;
2-გამმართველის კვება სადგურის საკუთარი
მოხმარების სისტემიდან

სპეციფიკურ ელექტრომაგნიტურ მოვლენას მიეკუთვნება აგრეთვე მაღალსიხშირული რხევები გარდამქმნელის წრედში, გამოწვეული გენტილების კომუტაციით და ელექტრული წრედის გაწყვეტით . სიხშირის სიდიდე ძირითადად დამოკიდებულია პვების წყაროს ტევადობისგან და ინდუქციურობისაგან და $R - C$ წრედებისაგან, რომლებიც აშუნტებენ ნახევრადგამტარულ ვენტილებს. ამ შემთხვევაში არსებით ინტერესს წარმოადგენს ძაბვების განაწილება ცხადპოლუსა გენერატორის როტორის კოჭას გასწვრივ. აგზნების წრედში გამმართველის არსებობა გამორიცხავს შესაძლებლობას მის გავლით უკუ მიმართულების დენის გავლისა, თუმცა ასეთი რეჟიმებს ექსპლუატაციაში აქვს ადგილი და ის აუცილებელია გავითვალისწინოთ ნახევრადგამტარული აგზნების სისტემის პროექტირების დროს. კერძოდ აგზნების დაკარგვის დროს და გენერატორის გადასვლისას ასინქრონულ რეჟიმში, დროის ინტერვალში, როცა აგზნების დენს არ შეუძლია გაიაროს უკუ მიმართულებით, როტორის გრაგნილზე შეიძლება წარმოიშვას ამაღლებული ძაბვა. ამიტომ გადამეტაბვის პრობლემას, მათ ანგარიშ და დაცვის დანაყენის არჩევას აქვს დიდი პრაქტიკული მნიშვნელობა.

გადამეტაბვის და მაღალსიხშირული რხევის არსებობა აგზნების წრედში გამმართველით, მოითხოვს განსაკუთრებულ ყურადღებას როგორც გენერატორის როტორის გრაგნილის, ასევე როტორის წრედში ჩართული გამმართველების, დამხმარე გენერატორების და ტრანსფორმატორების გამოსაცდელი ძაბვის სიდიდის დადგენაში,

3.2. არასიმეტრიული მართვის სქემა

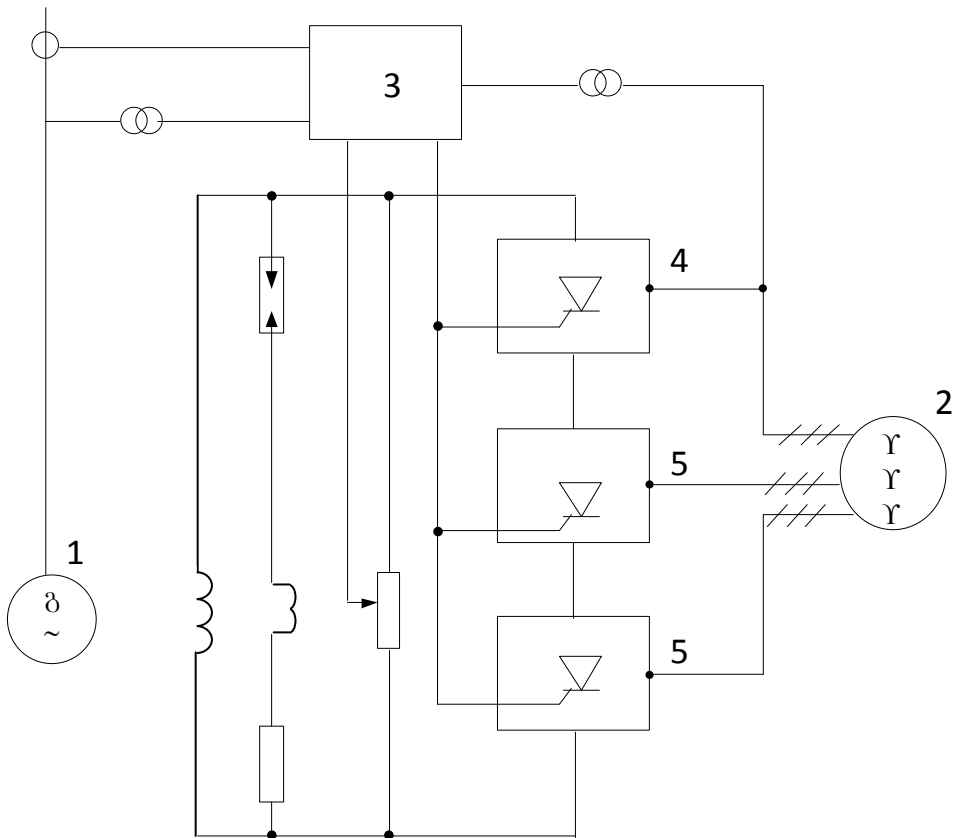
არასიმეტრიული მართვის სქემის უპირატესობა მდგომარეობს იმაში, რომ ტიპიური სიმძლავრის შემცირებისათვის, არაა საჭირო ძვირადღირებული საშუალება, რადგანაც პრობლემა მოცემულ შემთხვევაში გადაიჭრება მხოლოდ მართვის სისტემის გართულებით. უარყოფით მხარეს წარმოადგენს ფაზური დენების მრუდების ფორმის

დამახინჯება, რომელიც აიხსნება ლუწი ჰარმონიკების მდგენელების გამოვლენაში. აღნიშნული ვითარების გამოსწორება, შეიძლება მიღწეული იქნეს გარდამქმნელის სქემის გართულებაში, რაც ხორციელდება პარალელურად შეერთებული მარტივი გამმართველებით და გამათანაბრებელი რეაქტორების საშუალებით [39,40]. არასიმეტრიული მართვა სრულდება ბოგირულ სქემაში, სადაც არაა საჭირო სიხშირის გარდაქმნა მართვის მოწყობილობის კვებისათვის. აგზნების სისტემისათვის ასეთი მართვა იყო შემოთავაზებული ე. ეტინგერის მიერ.

არასიმეტრიული მართვის ნაკლოვანებას წარმოადგენს, ის რომ გამმართველის ცვლადი დენის მხარეზე იქმნება არა მხოლოდ კენტი, არამედ ლუწი ჰარმონიკების მდგენელები.

ნახ.3.4 მოცემულია ჰიდროგენერატორის აგზნების სისტემა, სადაც გამოყენებულია არასიმეტრიული მართვის სქემა. აგზნების სისტემა წარმოადგენს დამოუკიდებელს, დამხმარე სინქრონული გენერატორით საერთო დერძით მთავარ აგრეგატთან. გამმართველის სქემა კასკადურია, შედგება სამი მიმდევრობით შეერთებული ტირისტორული გამმართველისაგან.

დამხმარე სინქრონულ გენერატორს გააჩნია სამი სინფაზური სტატორის გრაგნილი ტოლი ძაბვებით, ჩართული შესაბამისი გამმართველებთან. გამმართველი 4 სიმეტრიული მართვით, უზრუნველყოფს ჰიდროგენერატორის ნორმალურ რეჟიმში მუშაობას. ორი ერთნაირი გამმართველი 5 არასიმეტრიული მართვით გადადის მუშაობაზე მართვის კუთხეებით, ახლოს ნულთან ფორსირების რეჟიმში, უზრუნველყოფს ფორსირების ჯერადობას $K = 4$. ნომინალური აგზნების დროს, ნორმალურ რეჟიმში გამმართველები არასიმეტრიული მართვით მუშაობენ ისეთი მართვის კუთხით, როცა გამმართველის საშუალო გამართული ძაბვა მიიღება ნომინალურის 10-15%. ამ შემთხვევაში არსებითად მცირდება სტატორის ორი გრაგნილის ფაზური დენების მომქმედი მნიშვნელობები, შესაბამისად, მთლიანად დამხმარე გენერატორის ტიპიური სიმძლავრის.



ნახ.3.4. ჰიდროგენერატორის აგზნების სისტემის პრინციპული სქემა

1- ჰიდროგენერატორი, 2 - დამხმარე გენერატორი,

3- აგზნების ავტომატური რეგულატორი (აარ),

4 - გამმართველი სიმეტრიული მართვით,

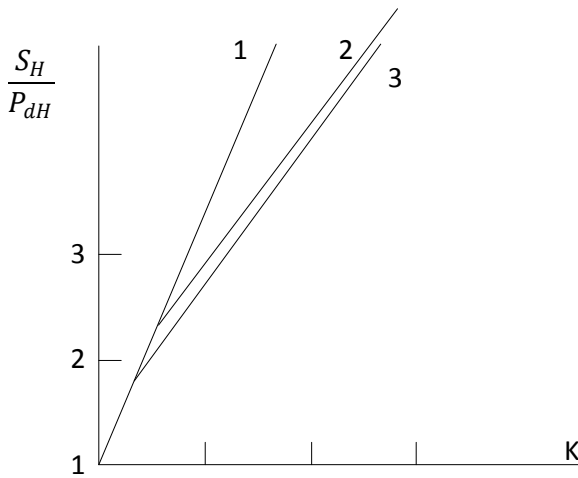
5 - გამმართველი არასიმეტრიული მართვით.

ტიპიური სიმძლავრე დამხმარე სინქრონული გენერატორის ან გამმართველი ტრანსფორმატორის, როცა $x = 0$ ტოლია

$$\frac{S_H}{P_{dH}} = \frac{\pi}{\sqrt{6}} K \sqrt{\frac{\pi - a}{\pi}},$$

$$\cos \alpha = \frac{2 - K}{K}, \quad \alpha \geq \frac{\pi}{3},$$

სადაც P_{dH} - სინქრონული მანქანის აგზნების ნომინალური სიმძლავრე. შესაბამისი დამოკიდებულება მოცემულია ნახ. 3.5.



ნახ.3.5. აგზნების ფორსირების ჯერადობის დამოკიდებულება ტიპიური სიმძლავრისაგან:

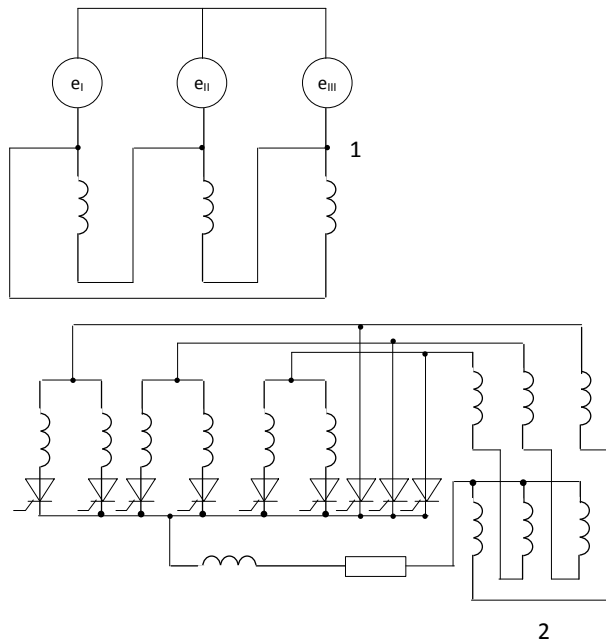
- 1- სამფაზა ბოგირული სქემა, 2 - არასიმეტრიული მართვით,
- 3 - ნულოვანი ვენტილებით.

3.3. სქემები ნულოვანი ვენტილებით

ნახ.3.6. გარდამქმნელი აწყობილია ექსფაზა სქემით, სამფაზა გამათანაბრებელი რეაქტორით და ნულოვანი ვენტილებით. აგზნების ამ სისტემაში მიიღება გამმართველი ტრანსფორმატორის საუკეთესო გამოყენება, გარე და მარეგულირებელი მახასიათებლების ნაკლები დახრით, გამართული ძაბვის ნაკლები პულსაციით, უცუ ძაბვის ნახტომისებური ზრდის გამორიცხვით.

ნულოვანი ვენტილები უზრუნველყოფენ გამართული დენის გავლას, გარდა გამმართველისა, დროის იმ ინტერვალში, რომლის დროსაც გამართული ძაბვის მყისი მნიშვნელობა ხდება უარყოფითი. ასეთი პირობა აღიძვრება აგზნების სისტემის მართვის გაზრდილი კუთხეების მუშაობის დროს, აგრეთვე ვენტილების გამორთვის დროს. ბოლო შემთხვევაში იგულისხმება, რომ ფაზაში ან ბოგირული სქემის მხარში გამოიყენება ერთი ვენტილი.

გამართული დენის გავლის შესაძლებლობა ნულოვანი ვენტილის გავლით მუშაობის რეჟიმში ამაღლებული მართვის კუთხეებით, იწვევს გამართული ძაბვის საშუალო მნიშვნელობის გაზრდას და კვების წყაროს სიმძლავრის შემცირებას.



ნახ.3.6. თვითაგზნების ტირისტორული სისტემა ნულოვანი ვენტილებით და ექსფაზა სქემით სამფაზა გამათანაბრებელი რეაქტორით:
1- ექსფაზა ტრანსფორმატორი, 2- სამფაზა გამათანაბრებელი რეაქტორი

განვიხილოთ სამფაზა სქემა ნულოვანი ვენტილით (ნახ.3.7).

$t_2 - t_3$ დროის ინტერვალში i დენი, პირიქით, გადადის 1 ვენტილიდან ნულოვან ვენტილზე. რადგანაც კომუტაცია იწყება მომენტში, როცა ემძ $e_1 = 0$, მაშინ გვექნება არამართვადი რეჟიმი.

ამიტომ (3.1) და (3.2)-ის ნაცვლად მივიღებთ

$$I_d = \frac{E_m}{x} (1 - \cos \gamma_2), \quad i = \frac{1 - \cos \omega t}{1 - \cos \gamma_2} I_d$$

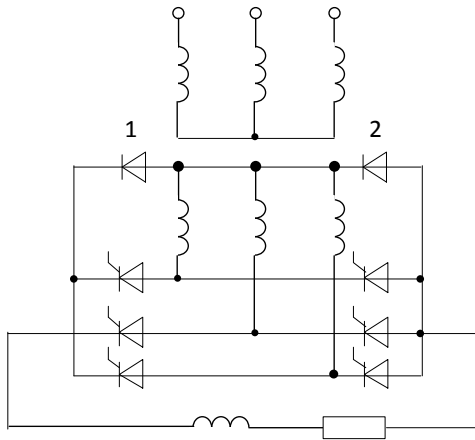
ვენტილების კომუტაციის დროს გამართული ძაბვა ტოლია ნულის (ზუსტად, $- \Delta U$). ამიტომ ნახ. 3.7, ბ ვპოულობთ

$$\begin{aligned} U'_d &= \frac{3}{2\pi} E_m \int_{\alpha + \gamma_1 + \frac{\pi}{6}}^{\pi} \sin \left(\omega t + \alpha + \frac{\pi}{6} \right) d\omega t \\ &= \frac{3}{2\pi} E_m \left[1 + \cos \left(\alpha + \gamma_1 + \frac{\pi}{6} \right) \right]. \end{aligned} \quad (3.3)$$

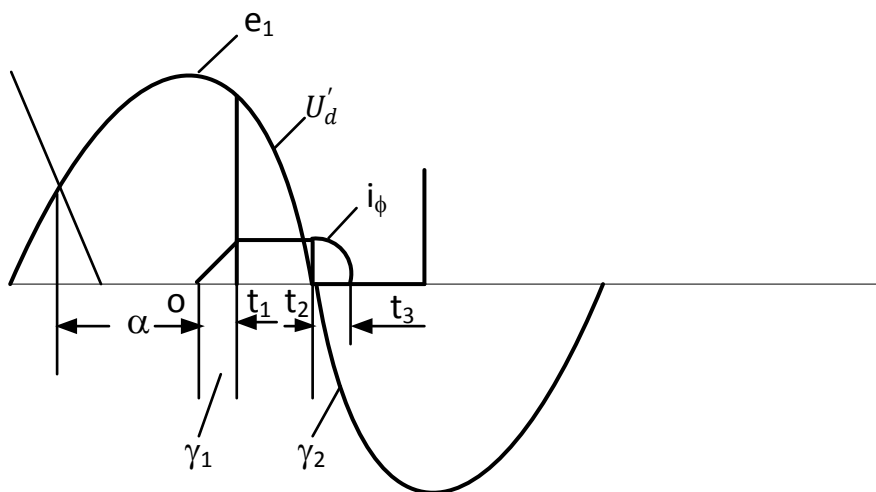
(3.2) და (3.3)-დან ვდებულობთ გარე მახასიათებლის განტოლებას

$$U'_d = \frac{3}{2\pi} E_m \left[1 + \cos \left(\alpha + \frac{\pi}{6} \right) \right] - \frac{3}{2\pi} x I_d \quad (3.4.)$$

ა)



ბ)



ნახ.3.7. სამფაზა ბოგირული სქემა ორი ნულოვანი ვენტილით 1,2 (ა), ფაზური დენი და გამართული ძაბვა სამფაზა სქემაში ნულოვანი ვენტილით (ბ)

აქტიური წინაღობის გავლენას გამართული ძაბვის მნიშვნელობაზე აქვს ადგილი მხოლოდ $t_1 - t_2$ ინტერვალში. ამიტომ საბოლოო გამოსახულება გარე მახასიათებლის იქნება

$$U'_d = \frac{3}{2\pi} E_m \left[1 + \cos \left(\alpha + \frac{\pi}{6} \right) \right] - \frac{3}{2\pi} \left[x + \left(\frac{5}{6}\pi - \alpha - \gamma_1 \right) r \right] I_d.$$

სამფაზა ბოგირული სქემის შემთხვევაში შესაძლებელია ორი მეთოდი ნულოვანი ვენტილების ჩართვის: 1. ნულოვანი ვენტილი ჩაირთვება გამმართველის გამომყვანზე, 2. ჩაირთვება ორი ნულოვანი

ვენტილი ანოდური და კათოდური ჯგუფისათვის (ნახ. 3.7, а). პირველი სქემა ნაკლებად ეფექტურია პვების წყაროს განტვირთვის თვალსაზრისით, შედარებით მეორესთან. ეს აიხსნება იმით, რომ სქემაში ერთი ნულოვანი ვენტილით მიმდინარეობს გამმართველის დაშუნტება მოკლე დროის ინტერვალში, ხოლო სქემაში ორი ნულოვანი ვენტილით იმავე რეგულირების კუთხით დაშუნტების ხანგრძლივობა მნიშვნელოვნად იზრდება. რის შედეგად მიმდინარეობს გამართული ძაბვის საგრძნობი გაზრდა.

ბოგირულ სქემაში მუშა და ნულოვანი ვენტილების მონაცემებითი მუშაობის რეჟიმისათვის გამართული ძაბვის საშუალო მნიშვნელობა ორმაგდება შედარებით მარტივ სამფაზა სქემასთან. ამიტომ (3.4)-ის ნაცვლად გვექნება

$$U'_d = \frac{3}{\pi} E_m \left[1 + \cos \left(\alpha + \frac{\pi}{6} \right) \right] - \frac{3}{\pi} x I_d$$

აუცლებელია ავღნიშნოთ, რომ ნულოვან ვენტილად დიოდის გამოყენების შემთხვევაში გარდამქმნელი მიიღება უფრო მარტივი. ასეთი სქემის ნაკლოვანებას წარმოადგენს ის, რომ შეუძლებელია გარდამქნელის გადასვლა ინვერტორულ რეჟიმში. ინვერტორული რეჟიმის მიღებისათვის, აუცლებელია ნულოვან ვენტილად გამოვიყენოთ ტირისტორი, რომელიც იპეტება მართვის სისტემით ინვერტირების დროს. ნახ. 3.7, ბ-დან გამომდინარეობს, რომ დენის გავლის ხანგრძლივობა კვების წყაროს ფაზის მიხედვით, როცა კუთხე $\alpha \geq \pi/6$ შეადგენს $(5\pi/6) - \alpha$ (იგულისხმება, რომ $\gamma_1 = \gamma_2 = 0$).

$$S_H = m \frac{K U_{dH}}{\frac{\pi}{\sqrt{3}} \sqrt{3}} \sqrt{\frac{\frac{5\pi}{6} - \alpha}{\pi}},$$

$$\text{საიდანაც } \frac{S_H}{P_{dH}} = \frac{\pi}{\sqrt{6}} K \sqrt{\frac{5}{6} - \frac{\alpha}{\pi}}$$

შეპირისპირება დამოკიდებულებების (ნახ. 3.4) გვიჩვენებს, რომ ორივე განხილული მეთოდი, კვების წყაროს ტიპიური სიმძლავრის შემცირების, იძლევა დაახლოებით ერთი და იგივე შედეგს. გარდა ამისა ნახ. 3.4-დან ჩანს, რომ მოცემული მეთოდების გამოყენება S_H -ის

შემცირებისთვის, მიზანშეწონილია აგზების ფორსირების ჯერადობის ამაღლების დროს.

3.4. წრედის ცვლადი მდგენელების გავლენა ცვლადი დენის ძაბვაზე

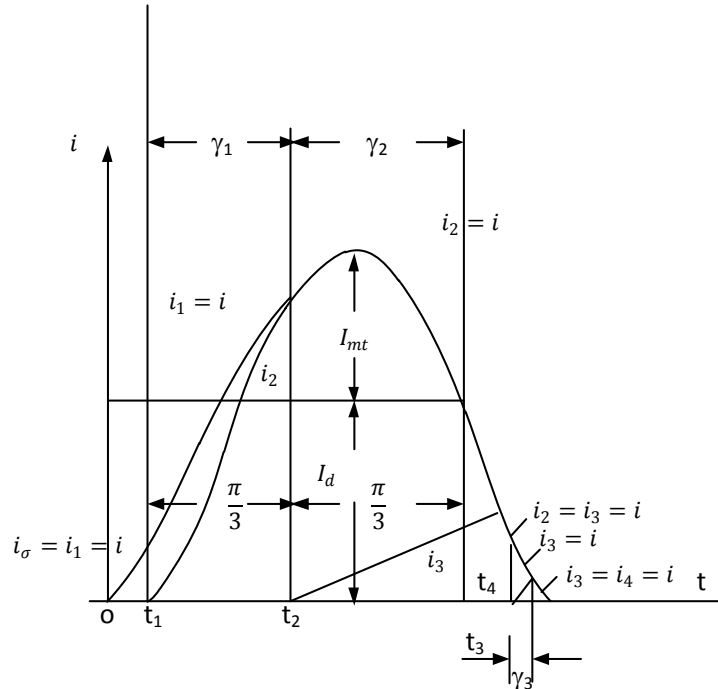
მთავარი გენერატორის სიმეტრიული მშ-ის დროს სტატორის წრედში გამოვლინდება აპერიოდული დენები, ხოლო როტორის კონტურში - მათი შესაბამისი ძირითადი სიხშირის (50ჰ��) ცვლადი დენები არასიმუტრიული მშ-ის შემთხვევაში როტორის კონტურში გამოვლინდება დენები სხვა სიხშირის, რომელთა შორის ძირითადი მნიშვნელობა გააჩნია ორმაგ სიხშირეს, გამოწვეულს უკუ მბრუნავი მაგნიტური ნაკადებით. ამგვარად, მთავარი გენერატორის ავარიული რეჟიმის დროს გარდამქმნელის მუდმივი დენის წრედში გადის პულსირებული დენი. ამიტომ აუცილებელია გავარკვიოთ, როგორ ზემოქმედებს გამართული დენის ცვლადი მდგენელი გარდამქმნელის მუშაობაზე, პირველ რიგში მის გარე მახასიათებელზე. სავსებით ბუნებრივია, რომ ეს გავლენა იქნება მაქსიმალური გენერატორში დამამშვიდებელი სისტემის გარეშე, სადაც პულსაცია გამოვლინდება მაქსიმალური ფორმით. ცხადპოლუსა გენერატორში დამამშვიდებელი სისტემით დენის პულსაცია მნიშვნელოვნად მცირდება. ეს შემცირება დამოკიდებულია აგზების გრაგნილის პარამეტრების და დამამშვიდებელი სისტემის კონტურის პარამეტრების თანაფარდობაზე. პულსაციის გავლენა გამართული ძაბვის საშუალო მნიშვნელობაზე დამოკიდებულია აგრეთვე, გარდამქმნელის ცვლადი დენის წრედის წინაღობაზე.

მაგალითისათვის განვიხილოთ დენის ორმაგი სიხშირის გავლენა, გარდამქმნელის ბოგირული სქემაში გამართული ძაბვის მნიშვნელობაზე.

რადგანაც გამართული დენი წარმოადგენს პულსირებულს და გააჩნია ორმაგი სიხშირე, მაშინ სრული კომუტაციური ციკლი მოიცავს მოცემულ შემთხვევაში ძირითადი სიხშირის ნახევარ პერიოდს. ეს ციკლი უნდა დაიყოს დროის რიგი ინტერვალებით, რომლის ხანგრძლივობაში შესწავლილი ელექტრული წრედი, წარმოადგენს

წრფივს. მივიღოთ, რომ მართვად ძაბვას გააჩნია საკმარისი სიგანე და მიეწოდება დაუმახინჯებელი ემბ-ის გადაპვეთის მომენტი, რასაც შეესაბამება $\alpha = 0$. მართვადი ძაბვების მიწოდების მომენტი ავღნიშნოთ t_1, t_2 და t_3 (ნახ. 3.8). დაუშვათ ფაზური კუთხე გამართული დენის ნომინალური მნიშვნელობასა და 2 ვენტილის ჩართვის მომენტის შორის ტოლი იქნება ψ . მაშინ

$$i = I_a - I_{mf} \cos 2(\omega t + \psi)$$



ნახ.3.8. $\gamma_1, \gamma_2, \gamma_3$ გომუტაციის გულისებრის განსაზღვრა

თუ t_1 მომენტი სქემა გადადის სამ-სამი ჯგუფის ვენტილების მუშაობის რეჟიმში, მაშინ $t_1 - t_2$ დროის ინტერვალისთვის ვპოულობთ

$$x \frac{di_1}{d\omega t} + x \frac{di_2}{d\omega t} + U'_d = e_1 - e_3,$$

$$x \frac{di_1}{d\omega t} + x \frac{di_6}{d\omega t} + U'_d = e_1 - e_2,$$

$$i_1 = i, i_2 + i_6 = i$$

აქედან

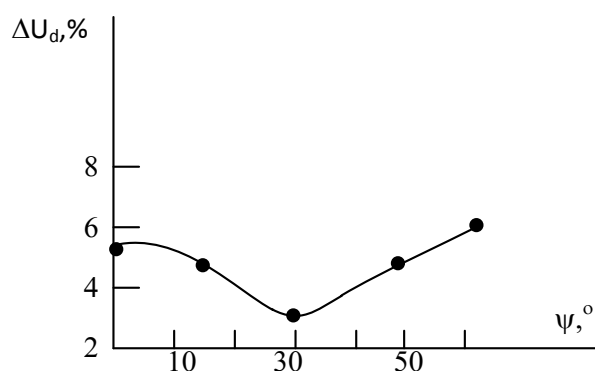
$$U'_d = \frac{3}{\sqrt{2}} E \cos \omega t - 3x I_{mf} \sin 2(\omega t + \psi),$$

$$i_2 = -\sqrt{\frac{3E}{2x}} \cos \omega t - \frac{1}{2} I_{mf} \cos 2(\omega t + \psi) + C,$$

სადაც C ინტეგრირების მუდმივა განისაზღვრება პირობიდან $i_{2(t=t_1)} = 0$. კომუტაციის კუთხეს გპოულობთ ტოლობიდან $i_2 = i$. შემდეგ გადავდივართ დროის შემდგომ ინტერვალზე და ა.შ. ვიციო, რა სანგრძლივობა დროის ცალკეული ინტერვალების და გვაქვს U'_d გამოსახულება, შეგვიძლია ვიპოვოთ გამართული ძაბვის საშუალო მნიშვნელობა ნახევარ პერიოდში. ვადარებოთ მიღებულ მნიშვნელობას U'_d მნიშვნელობასთან გარე მასასიათებლიდან როცა $i = I_d$ და განვსაზღვრავთ ფარდობითი ცდომილებას, რომელიც მოგვიწოდებს შევაფასოთ დენების ცვლადი მდგენელების გავლენა გამართული ძაბვის საშუალო მნიშვნელობაზე.

ნახ. 3.9. მოცემულია ფარდობითი ცდომილება სხვადასხვა ფაზური ψ კუთხის სიდიდის დროს. ანგარიშის შესაბამისად ჩანს, რომ i დენის ცვლადი მდგენელი გამოსახულია უფრო ძლიერად ($I_{mf} = I_d$). გარდა ამისა, მიღებული იქნა, რომ ცვლადი დენის წრედს გააჩნია მნიშვნელოვანი ინდუქციური წინაღობა (მუდმივი დენის რეჟიმში $i = I_d, \gamma = 60^\circ$).

მოცემული ანგარიშებიდან გამომდინარეობს, რომ ასეთი შედარებით მძიმე პირობა, როგორიცაა:



ნახ.3.9. გამართული ძაბვის საშუალო მნიშვნელობის განსაზღვრის ცდომილების მრუდი

1. დენის ცვლადი მდგენელი ორმაგი სისშირით გამოხატულია შედარებით ძლიერად ($I_{mf} = I_d$), 2. ცვლადი დენის წრედს გააჩნია

მნიშვნელოვანი ინდუქტიური წინაღობა (მუდმივი დენის რეჟიმში $\gamma = 60^0$), 3.გარდამქმნელი მუშაობს არამართვად რეჟიმში, ცვლადი მდგენელის გავლენა გარე მახასიათებელზე მიიღება მცირე, - გამართული ძაბვის საშუალო მნიშვნელობა იცვლება ფაზის დენის ცვლადი მდგენელის ფარდობით კვების წყაროს ძაბვასთან 2-4%-ით. ექვსფაზა სქემაში სამფაზა გამათანაბრებელი რეაქტორით, მის გარეშე ცვლადი მდგენელის გავლენა გამართული ძაბვის საშუალო მნიშვნელობაზე მიიღება მეტი, ვიდრე სამფაზა სქემაში და აღწევს 12-15%-ს.

თავი IV. რეგულირებად პიდროგენერატორში გარდამავალი ელექტრომაგნიტური პროცესები

4.1. პიდროგენერატორში რეგულირების ამოცანები

ნახ.1.1. მოცემულია რეგულირებადი პიდროგენერატორი ტიპის განკუთხული აგზების სისტემით.

სინქრონული მანქანებისათვის დამახასიათებელს წარმოადგენს დიდი შიდა წინაღობა, რომელიც იწვევს ძაბვის დადაბლებას მის მომჭერებზე დატვირთვის გაზრდის დროს და სიმძლავრის შეზღუდვას პარალელური მუშაობის დროს მდგრადობის პირობის მიხედვით.

შიდა რეაქტიული წინაღობის კომპენსაცია მიიღწევა აგზების რეგულირების საშუალებით, რეჟიმული Π სიდიდეების ამა თუ იმ გადახრების ფუნქციით. რეგულირების ასეთმა სახემ შეიძლება უზრუნველყოს ძაბვის მუდმივობა ან მისი რამოდენიმედ გაზრდა გენერატორის მომჭერებზე ან სადგურის შემკრებ სალტეზე, როცა ადგილი აქვს დატვირთვის ცვლილებას ფართო დიაპაზონში.

რეგულირებადი პიდროგენერატორის განსაკუთრებულობას წარმოადგენს ის, რომ მისი ე.მ.ძ. წარმოადგენს ფუნქციას რეჟიმული Π სიდიდეების გადახრების ფუნქციის:

$$e_d = K(P)\Delta\Pi, \quad (4.1)$$

სადაც e_d - მანქანის ე.მ.ძ.; $K(P)$ - რეგულატორის, აგზების სისტემის და როტორის გადამცემი ფუნქცია.

სინქრონული მანქანის თვითგაქანების მოვლენა ზღუდავს რეგულირების კოეფიციენტის ზედა ზღვრულ მნიშვნელობას გადახრის მიხედვით. გამომდინარე აქედან აღიძვრება ამოცანა აგზების სისტემის რეგულირების სტაბილიზაციის. სტაბილიზაციის მეთოდი განისაზღვრება მდგრადობის ზღვარის შესაძლო გაზრდით. მანქანის ე.მ.ძ. აღჭურვილი ძლიერი მოქმედების რეგულატორით, დამოკიდებულია არა მხოლოდ გადახრებისგან, აგრეთვე რეჟიმული Π სიდიდეების წარმოებულისაგან.

$$e_d = k(P)\Delta\Pi + K_1(P)P\Pi_1 + K_2(P)P^2\Pi_2, \quad (4.2)$$

სადაც Π_1, Π_2 - რეჟიმული სიდიდეების პირველი და მეორე წარმოებულები, რომელიც შემოდის რეგულატორებით; $K_1(P), K_2(P)$ -გადამცემი ფუნქცია რეგულატორის, აგზნების და როტორის სიდიდეების. ზოგად შემთხვევაში Π, Π_1 და Π_2 შეიძლება შერწყმული იქნეს რამოდენიმე რეჟიმული სიდიდეებთან.

მდგრადობის ზღვარის ამაღლების გარდა, აგზნების რეგულირების სისტემას ეკისრება სხვა მთელი რიგი ამოცანა: დემოირების რხევების ინტენსივობის ამაღლება, რეაქტიული სიმძლავრის განაწილება ელექტროსადგურის პარალელურად მომუშავე გენერატორებს შორის მდგრადობის ამაღლება სისტემის შეშფოთების დროს, რომელსაც შეიძლება ადგილი ქონდეს სისტემაში ცალკეული სადგურების ასინქრონული სვლის დროს.

გამოსაკვლევი სისტემა მიეკუთვნება ავტომატური რეგულირების მრავალკავშირიანი სისტემის კლასს, რომელშიც გარდამავალი პროცესები ნაკლებად შესწავლილია.

4.2. რეგულირებადი ჰიდროენერატორის განტოლებები

გარდამავალი პროცესების ხარისხის ანალიზის დროს არსებითი მნიშვნელობა გააჩნია საწყისი განტოლებათა სისტემის არჩევას.

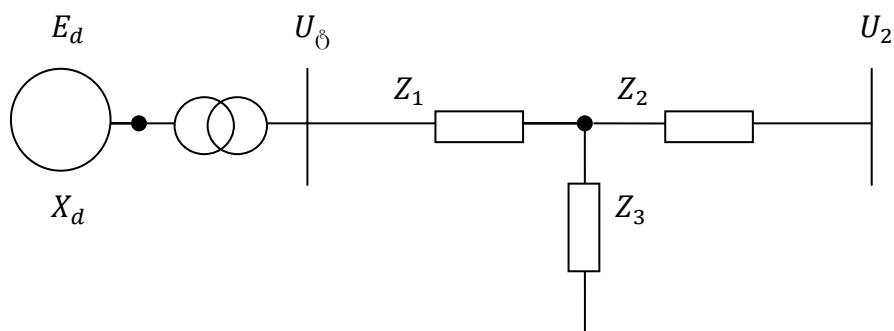
გარდამავალი პროცესების გათვალისწინება გენერატორის სტატორის წრედში ართულებს მიღებული ექსპერიმენტული შედეგების ინტერპრეტაციას და სრული დიფერენციალური განტოლებების ამოხსნის, აგრეთვე რეგულირების სისტემის რაციონალური სტრუქტურის სინთეზის მეთოდის შექმნას. ამოცანა უფრო რთულდება, როცა განიხილება რამოდენიმე პარალელურად მომუშავე ჰიდროგენერატორის ავტომატური რეგულირების სისტემების სინთეზი. ჰიდროგენერატორის სტატორის წრედში გარდამავალი პროცესის მხედველობაში არ მიღება საგრძნობლად ამარტივებს ამოცანას. შემდგომი ანალიზის დროს ჰიდროგენერატორის სტატორის წრედში გარდამავალი პროცესები მხედველობაში არ მიიღება. ტურბინის მომენტს ვუშვებთ მუდმივს.

სტატორის წრედში აქტიურ წინაღობას ვითვალისწინებთ, მხოლოდ დიფერენციალური განტოლებების კოეფიციენტების განსაზღვრის დროს. გამოკვლევის პირველ ეტაპზე ვთვლით, რომ პიდროგენერატორის ბუნებრივი დემფერული თვისება, მათ შორის როტორზე სპეციალური დემფერული კონტურების მოქმედება, შეიძლება გავითვალისწინოთ როტორის მოძრაობის განტოლებაში წევრის შევანით, რომელიც პროპორციულია ურთიერთ კუთხის ცვლილების სიჩქარის. თუ გავითვალისწინებთ ჩამოთვლილ დაშვებებს რეგულირებადი პიდროგენერატორის განტოლებები საგრძნობლად გამარტივდება. საწყის განტოლებათა სისტემაში [41] პიდროგენერატორის სტატორის წრედში გარდამავალი ელექტრომაგნიტური პროცესების განტოლება d და q დერძების მიმართ იქნება ჩაწერილი, როგორც დამყარებული რეჟიმის განტოლება.

მოცემული დაშვებები იძლევა საშუალებას შევამციროთ სისტემაში ცვლადების რიცხვი და გადავიდეთ რეჟიმული სიდიდეების მოქმედ მნიშვნელობებზე. გამოვიყენოთ ფართოდ გავრცელებული d და q კორდინატთა სისტემა. ნამდვილ სიდიდეთა დერძად მივიღოთ $-q$ დერძი, ხოლო წარმოსახვითი სიდიდეთა დერძად $-d$ დერძი, მაშინ შეიძლება მივიღოთ შემდეგი წარმოდგენა რეჟიმულ სიდიდეებზე კომპლექსურ ფორმაში

$$\underline{U} = U_q + jU_d, \underline{I} = I_q + jI_d, \underline{E_d} = jE_d \quad (4.3)$$

შემოვიყვანოთ გადაცემის სრული კუთხის ცნება $\delta_{12} - E_d$ ე.მ.ძ-ის გექტორის ძვრის კუთხე მიმღები სისტემის \underline{U}_2 ძაბვის გექტორის მიმართ (ნახ.4.2).



ნახ.4.1. ელექტროსისტემის უმარტივესი სქემა

კავშირი დენის, ე.მ.ძ-ის E_d და δ_{12} კუთხის მდგრადებებს შორის ახალ კოორდინატთა სისტემაში იქნება განსაზღვრული განტოლებებით

$$I_d = \frac{E_d}{Z_{11}} \cos \alpha_{11} - \frac{U_2}{Z_{12}} \cos(\delta_{12} - \alpha_{12}), \quad (4.4)$$

$$I_q = \frac{E_d}{Z_{11}} \sin \alpha_{11} + \frac{U_2}{Z_{12}} \sin(\delta_{12} - \alpha_{12}), \quad (4.5)$$

სადაც Z_{11}, Z_{12} - საკუთარი და ურთიერთ სრული წინაღობების მოდულები; α_{11}, α_{12} - საკუთარი და ურთიერთ სრული წინაღობების დამატებითი კუთხეები.

სრული წინაღობების შემოყვანა საშუალებას იძლევა უფრო ზუსტად გავითვალისწინოთ სტატიკური მახასიათებლები რეალური სისტემის განტოლებებში მცირე გადახრების დროს.

მიღებული დაშვებების შედეგად რეგულირებადი ჰიდროგენური სიდროგენერატორის განტოლებები შეიძლება ჩაიწეროს შემდეგი სახით:

$$JP^2 \delta_{12} + DP \delta_{12} + P = M_{\text{აქ}}, \quad (4.6)$$

$$(1 + T_{d_o} P) E_d - T_{d_o} (X_d - X'_d) PI_d = U_s, \quad (4.7)$$

$$(1 + T_s P) U_s = U_e, \quad (4.8)$$

$$U_e = K(P) \Pi + K'(P) P \Pi_1 + K''(P) P^2 \Pi_2, \quad (4.9)$$

სადაც $D = d/dt$, P - ელექტრომაგნიტური მომენტი; T_{d_o} -როტორის დროის მუდმივა, როცა სტატორის გრავნილები გახსნილია;

$U_s = U_d$ - აგზნების ძაბვა; T_s - აგზნების დროის მუდმივა; U_e -რეგულატორის ძაბვა; $K(P), K'(P), K''(P)$ -რეგულატორის გადამცემი ფუნქციები.

პირველი მიახლოებით განტოლებების მიღებისათვის საკმარისია გამოვიყენოთ ტეილორის ფორმულა და მასში გამოვრიცხოთ მაღალი რიგის წევრები.

ვირჩევთ დამოუკიდებელი ცვლადების რიცხვში ელექტრული კოორდინატებს - E_d ე.მ.ძ. და მექანიკურ - δ_{12} კუთხე. ყველა დანარჩენი რეჟიმული სიდიდეები წარმოდგენილია მათი ფუნქციით.

მითითებული ოპერაციის შესრულებით, (4.6)-(4.9) განტოლებათა სისტემისათვის მივიღებთ:

$$JP^2 \Delta \delta_{12} + DP \delta_{12} + \frac{\partial P}{\partial \delta_{12}} \Delta \delta_{12} + \frac{\partial P}{\partial E_d} \Delta E_d = 0, \quad (4.10)$$

$$\Delta E_d + T_{do} \left[1 - (X_d - X'_d) \frac{\partial I_d}{\partial E_d} \right] P \Delta E_d - T_{do} (X_d - X'_d) \frac{\partial I_d}{\partial \delta_{12}} P \Delta \delta_{12} = \Delta U_s \quad (4.11)$$

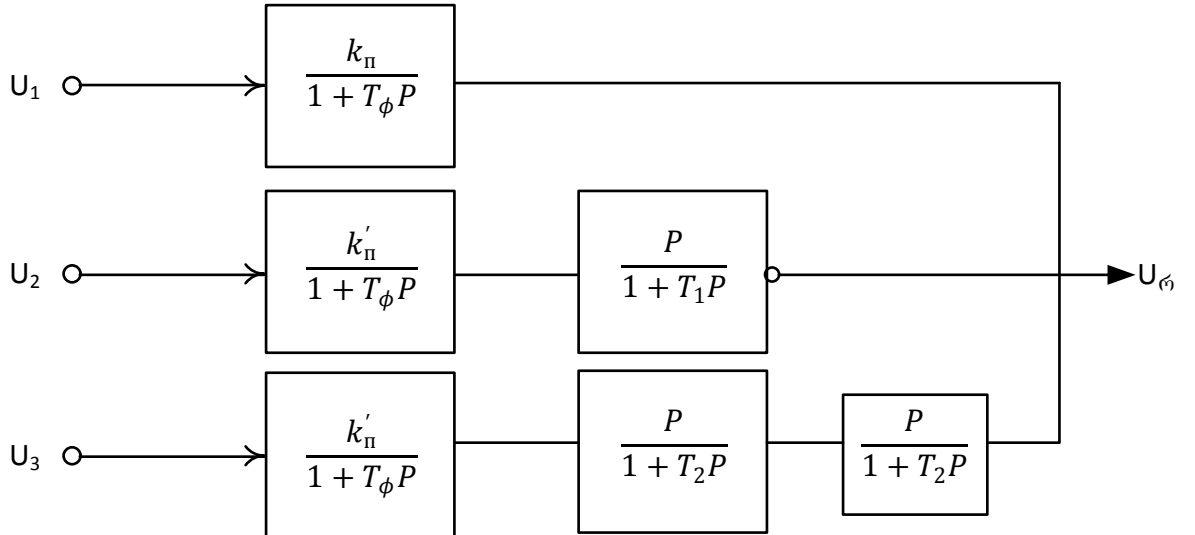
$$(1 + T_s P) \Delta U_s = \Delta U_\phi, \quad (4.12)$$

$$\begin{aligned} \Delta U_\phi = & \frac{F(P)}{G(P)} K_\Pi \left(\frac{\partial \Pi}{\partial \delta_{12}} \Delta \delta_{12} + \frac{\partial \Pi}{\partial E_d} \Delta E_d \right) + \frac{F_1(P)}{G(P)} K'_\Pi \left(\frac{\partial \Pi_1}{\partial \delta_{12}} P \Delta \delta_{12} + \frac{\partial \Pi_1}{\partial E_d} P \Delta E_d \right) + \\ & + \frac{F_2(P)}{G(P)} K''_\Pi \left(\frac{\partial \Pi_2}{\partial \delta_{12}} P^2 \Delta \delta_{12} + \frac{\partial \Pi_2}{\partial E_d} P^2 \Delta E_d \right) \end{aligned} \quad (4.13)$$

ძლიერი მოქმედების რეგულატორის ჩანაცვლების სქემისთვის (ნახ.4.3) ოპერატორული კოფიციენტების მნიშვნელობა $F(P), F_1(P), F_2(P)$ და $G(P)$ განისაზღვრება შემდეგი ფორმულებით:

$$\begin{aligned} F(P) &= (1 + T_1 P)(1 + T_2 P)^2, \\ F_1(P) &= (1 + T_2 P)^2, F_2(P) = (1 + T_1 P), \\ G(P) &= (1 + T_\phi P)(1 + T_1 P)(1 + T_2 P)^2, \end{aligned} \quad (4.14)$$

სადაც T_ϕ, T_1, T_2 -ფილტრის და პირველი და მეორე რიგის წარმოებულების დიფერენციატორების დროის მუდმივები.



ნახ.4.2. ძლიერი მოქმედების რეგულატორის ჩანაცვლების სქემა

რეჟიმული სიდიდეების შესაბამისი კერძო წარმოებულები, გამოისახება I_d და I_q დენების კერძო წარმოებულებით. აღნიშნული დენების კერძო წარმოებულები განისაზღვრება (4.4) და (4.5) განტოლებების დიფერენცირებით:

$$\begin{aligned} \frac{\partial I_d}{\partial \delta_{12}} &= \frac{U_2}{Z_{12}} \sin(\delta_{12} - \alpha_{12}), \frac{\partial I_q}{\partial \delta_{12}} = \frac{U_2}{Z_{12}} \cos(\delta_{12} - \alpha_{12}), \\ \frac{\partial I_d}{\partial \delta_{12}} &= \frac{1}{Z_{11}} \cos \alpha_{11}, \frac{\partial I_q}{\partial \delta_{12}} = \frac{1}{Z_{11}} \sin \alpha_{11} \end{aligned} \quad (4.15)$$

თუ პიდროგენერატორის აქტიური სიმძლავრის განტოლებას ჩავწერთ სახეში

$$P = E_d I_q, \quad (4.16)$$

მაშინ კერძო წარმოებულის სიდიდეები ტოლია

$$\frac{\partial P}{\partial \delta_{12}} = E_d \frac{\partial I_q}{\partial \delta_{12}}, \quad (4.17)$$

$$\partial P / \partial E_d = E_q + E_d \frac{\partial I_q}{\partial E_d}; \quad (4.18)$$

პიდროგენერატორის ძაბვისა და დენის განტოლება შეიძლება წარმოდგენილი იქნეს შემდეგი სახით:

$$U_1^2 = (E_d - I_d X_{d_\delta})^2 + I_q^2 X_{d_\delta}^2, \quad (4.19)$$

$$I_1^2 = I_d^2 + I_q^2 \quad (4.20)$$

(4.19)-დან მივიღებთ განტოლებას ძაბვის კერძო

წარმოებულებისთვის:

$$\frac{\partial U_1}{\partial \delta_{12}} = \frac{(E_d - I_d X_{d_\delta}) \left(-\frac{\partial I_d}{\partial \delta_{12}} X_{d_\delta} \right) + I_q X_{d_\delta}^2 \frac{\partial I_q}{\partial \delta_{12}}}{U_1}, \quad (4.21)$$

$$\frac{\partial U_1}{\partial E_d} = \frac{(E_d - I_d X_{d_\delta}) \left(1 - \frac{\partial I_d}{\partial E_d} X_{d_\delta} \right) + I_q X_{d_\delta}^2 \frac{\partial I_q}{\partial E_d}}{U_1}, \quad (4.22)$$

(4.20) განტოლების დიფერენცირებით, ვპოულობთ განტოლებებს დენების წარმოებულების განსაზღვრისათვის:

$$\frac{\partial I_1}{\partial \delta_{12}} = \frac{1}{I_1} \left(I_d \frac{\partial I_d}{\partial \delta_{12}} + I_q \frac{\partial I_q}{\partial \delta_{12}} \right), \quad (4.23)$$

$$\frac{\partial I_1}{\partial E_d} = \frac{1}{I_1} \left(I_d \frac{\partial I_d}{\partial E_d} + I_q \frac{\partial I_q}{\partial E_d} \right), \quad (4.24)$$

(4.10)-(4.13) განტოლებათა სისტემის საშუალებით შეიძლება გაანალიზდეს პიდროგენერატორის გარდამავალი პროცესების ხარისხი, აგრეთვე აგზების ავტომატური რეგულირების სისტემის რაციონალური სტრუქტურის შექმნის სინთეზი.

4.3. რეგულირების სისტემის გავლენა პიდროგენერატორის დინამიკურ თვისებაზე

იმ შემთხვევაში, როცა რეგულირება ხორციელდება გადაცემის კუთხის ფუნქციით, შეიძლება გამოყენებული იქნეს შედარებით მარტივი

მეთოდი პიდროგენერატორის დინამიკური თვისების მიახლოებითი ანალიზის. შემოვიყვანოთ დაშვება, მძლავრი პიდროგენერატორების პარამეტრების სპეციალურ თანაფარდობაზე. პიდროგენერატორის აგზების გრაგნილს გააჩნია დიდი ინდუქციური და მცირე აქტიური წინაღობა. ხარისხებრივი ანალიზისათვის შეიძლება გამოვიყენოთ ის მდგომარეობა, რომ სიგნალი, რომელსაც გააჩნია როტორის რხევის სიხშირე ($0,5\text{-}1$ პერიოდ/წმ), გაივლის გრაგნილს, შეიცვლის თავის ფაზას თითქმის $\pi/2$ -ით. დაუშვათ, რომ სიგნალები მითითებული სიხშირით მიწოდებული როტორის გრაგნილზე იცვლის თავის ფაზას ზუსტად $\pi/2$. ასეთი დაშვება ტოლფასია აგზების გრაგნილის აქტიური წინაღობის გავლენის უგულვებელყოფისა გარდამავალ პროცესებზე. ძაბვა მიწოდებული როტორის რგოლებზე, წარმოქმნის დენს, რომლის გაქტორი დაძრულია ძაბვის გაქტორის მიმართ $\pi/2$ კუთხით. თუ გარდა ამისი უგულვებელყოფო აგზების და რეგულატორის ინერციულობას, მაშინ პიდროგენერატორი, რომლის აგზება რეგულირდება გადახრის ფუნქციით, როტორის დაძვრის კუთხის პირველი და მეორე წარმოებულით, შეიძლება განვიხილოთ როგორც რხევითი კონტური.

განტოლებები (4.11)-(4.13) შეიძლება ჩავწეროთ როგორც ერთი განტოლება:

$$(1 + T'_d P) \Delta E_d + NP \Delta \delta_{12} = K_\delta \Delta \delta_{12} + K'_\delta P \Delta \delta_{12} + K''_\delta P^2 \Delta \delta_{12}, \quad (4.25)$$

სადაც

$$T'_d = T_{do} \left[1 - (x_d - x'_d) \frac{\partial I_d}{\partial E_d} \right], \quad (4.26)$$

$$N = -T_{do} (x_d - x'_d) \frac{\partial I_d}{\partial \delta_{12}},$$

(4.27)

$K_\delta, K'_\delta, K''_\delta$ -გადახრების მიხედვით რეგულირების კოეფიციენტები, δ_{12} კუთხის პირველი და მეორე რიგის წარმოებულებით. შემოღებული დაშვება იძლევა საშუალებას, რომ $T'_d \gg 1$. მაშინ ΔE_d სიდიდე შეიძლება წარმოვადგინოთ შემდეგი სახეში

$$\Delta E_d = \frac{K_\delta}{T'_d \omega^2} P \delta_{12} + \frac{K'_\delta - NP}{T'_d} \Delta \delta_{12} + \frac{K''_\delta}{T'_d} P \Delta \delta_{12} \quad (4.28)$$

ჩავსვათ ΔE_d მნიშვნელობა (4.28) დან (4.10) განტოლებაში, მივიღებთ განტოლებას როტორის მცირე რხევებით

$$JP^2\Delta\delta_{12} + \left(D - \frac{S_E}{T'_d\omega^2}K_\delta + \frac{S_E K''_\delta}{T'_d}\right)P\Delta\delta_{12} + \left(S_\delta + S_E \frac{K'_\delta - N}{T'_d}\right)\Delta\delta_{12} = 0, \quad (4.29)$$

$$\text{სადაც } S_E = \partial P / \partial E_d, \quad S_\delta = \partial P / \partial \delta_{12}$$

განტოლება (4.29) შეიძლება გამოყენებული იქნეს ჰიდროგენერატორის აგზების რეგულირების სისტემის საკუთარი რხევების ძირითადი პარამეტრების მიახლოებითი განსაზღვრისათვის. ამგვარად (4.29)-ით გპოულობთ მიღევის კოეფიციენტს α და კუთხეური სიხშირეს ω_0

$$\alpha = \frac{1}{2} \frac{\frac{D - \frac{S_E}{T'_d}(\frac{1}{\omega^2}K_\delta - K''_\delta)}{J}}{J}, \quad (4.30)$$

$$\omega_0 = \frac{S'_E \frac{K'_\delta - N}{T'_d}}{J}. \quad (4.31)$$

განვიხილოთ რეგულირებადი ჰიდროგენერატორი როგორც მარტივი რხევითი კონტური, მაშინ შეიძლება ვიპოვოთ როტორის მოძრაობის განტოლება

$$\Delta\delta_{12} = \alpha e^{-\alpha t} \cos(\omega t - \varphi), \quad (4.32)$$

სადაც a - შერევის ამპლიტუდა, φ -საწყისი ფაზა, ω -საკუთარი რხევის კუთხეური სიხშირე, განსაზღვრული სისტემის დემფერული მომენტის გათვალისწინებით. კუთხეური სიხშირე საკუთარი მიღევადი რხევებით განისაზღვრება განტოლებით

$$\omega = \sqrt{\omega_0^2 - \alpha^2}, \quad (4.33)$$

$$\text{თუ } \alpha > 0, \text{ მაშინ } \omega < \omega_0$$

განტოლებები (4.30)-(4.33) გარკვეული პირობების დროს იძლევა საკმაოდ კარგ თანხვედრას ექსპერიმენტის შედეგებთან, მაგრამ ამასთან ერთად უნდა აღინიშნოს ფარდობითი უტყუარობა (4.29) საწყისი განტოლების. ბოლო მდგომარეობა მარტივად შეიძლება გამოვავლინოთ არარეგულირებადი ჰიდროგენერატორის სტატიკური მდგრადობის ანალიზის დროს ($K_\delta = K'_\delta = K''_\delta = \Delta E_d = 0$).

აღნიშნული შემთხვევისათვის გვაქვს

$$\omega_0 = \frac{S_\delta - \frac{S_E N}{T'_d}}{J}, \quad (4.34)$$

$$\alpha = D/2J \quad (4.35)$$

ჰიდროგენურატორში აგზნების რეგულირების გარეშე ჩვეულებრივ $\alpha/\omega \ll 0,1$, ამიტომ შეიძლება მივიღოთ $\omega = \omega_0$.

ვაჩვენოთ, რომ გამარტივებული განტოლება (4.29) და რეგულირებადი ჰიდროგენურატორის სრული განტოლება (4.10)-(4.13) იძლევიან სხვადასხვა შედეგებს რეჟიმის მდგრადობის ანალიზის დროს, რომელსაც შეესაბამება კუთხე $\delta_{12} = 90^\circ$. ჰიდროგენურატორისთვის, რომელიც მუშაობს უსასრულო სიდიდის სიმძლავრეზე, ხაზის გავლით, ჩანაცვლებული რეაქტიული წინაღობით, როცა $\delta_{12} = 90^\circ$ გვაქნება

$$S_\delta = o, N = -T_{do}U(1 - x'_d/x_d)$$

(4.34)-ის შესაბამისად საკუთარი რხევების სიხშირე იქნება ნულზე მეტი. (4.26), (4.27) განტოლებების საშუალებით შეიძლება ვაჩვენოთ, რომ ეკვივალენტური მასინქრონიზირებელი მომენტი (4.29) განისაზღვრება ფორმულით

$$S_\delta - \frac{S_E}{T'_d}N = \frac{U_2 E_d}{x'_d} \cos \delta_{12} - \frac{U_2^2 (x_d - x'_d)}{x_d x'_d} \cos 2\delta_{12}, \quad (4.36)$$

რომელიც შეესაბამება მასინქრონიზირებელ მომენტს, მიღებული ჰიდროგენურატორის ე.მ.პ-ის მუდმივობის პირობიდან გარდამავალი წინაღობის შემდეგ. არარეგულირებადი ჰიდროგენურატორის საკუთარი რხევების სიხშირე აღმოჩნდება ნულზე მეტი, განსაზღვრული პირობით აღნიშნული მომენტის ნულთან გატოლებით. ეს დასკვნა, მიღებულია (4.29) განტოლების ანალიზიდან. (4.29) განტოლებით არ შეიძლება აიხსნას მდგრადობის დარღვევა კუთხის δ_{12} მნიშვნელობის დროს, როცა ის მეტია 90° -ზე. სრული განტოლებათა სისტემას (4.10)-(4.13), როცა განიხილება პირობა $\Delta U_B = 0$ გააჩნია მესამე რიგის მახასიათებელი განტოლება

$$JT'_d P^3 + (J + DT'_d)P^2 + (S_\delta + T'_d + D - S_E N)P + S_\delta = 0 \quad (4.37)$$

როგორც (4.37)-დან გამომდინარეობს არარეგულირებადი ჰიდროგენურატორის ზღვრული რეჟიმი მდგრადობის მიხედვით განისაზღვრება პირობით $S_\delta = o$, რომელსაც შეესაბამება $\delta_{12} = 90^\circ$

კუთხე. ეს პირობა არ შეიძლება მივიღოთ (4.29) განტოლებიდან, რაც აიხსნება ერთი ფესვის დაკარგვით გამარტივებული განტოლებაზე გადასვლის დროს (4.29) განტოლება იძლევა საშუალებას ვიპოვოთ ზღვრული მნიშვნელობა რეგულირების კოეფიციენტის, δ_{12} კუთხის გადახრის მიხედვით და მიეცეს მარტივი განმარტება აგზნების ავტომატური რეგულატორის სისტემის თვითგაქანების მოვლენას. რეგულირების გარეშე ($K''_\delta = K''_d = 0$) მიღევის კოეფიციენტის მნიშვნელობა განისაზღვრება (4.30) განტოლებიდან:

$$\alpha = \frac{1}{2} \frac{\frac{S_E}{T'_d} \omega^2 K_\delta}{J} \quad (4.38)$$

K_δ -ს ზღვრული მნიშვნელობას ვპოულობთ პირობიდან $\alpha = 0$, რომლის დროს სამართლიანია გამოსახულება

$$K_\delta = D T'_d \omega^2 / S_E \quad (4.39)$$

თუ გავითვალისწინებთ, რომ ჩვეულებრივ პიდროგენერატორებში D -ს გააჩნია მცირე სიდიდე (0,01-0,03 წმ), მაშინ ზღვრული სიდიდე K_δ , (4.39) პირობიდან, აღმოჩნდება მნიშვნელოვნად ნაკლები იმ მნიშვნელობაზე, რომელიც საჭიროა პიდროგენერატორის სტატიკური მახასიათებლების უზრუნველყოფისათვის. როგორც ჩანს (4.30) განტოლებიდან, დადებითი მნიშვნელობა ქრობის კოეფიციენტის, დიდი K_δ -ს დროს, შეიძლება უზრუნველყოფილი იქნეს δ_{12} კუთხის მეორე რიგის წარმოებულის მიხედვით აგზნების რეგულირებისას. ამავე განტოლებიდან ჩანს, რომ პირველი წარმოებულის საშუალებით აღნიშნული ამოცანის გადაწყვეტა არ შეიძლება. პირველი წარმოებულის გამოყენებით შეიძლება გაზრდა ეკვივალენტური მასინქრონიზებელი მომენტის (4.29). ამას აქვს მნიშვნელობა სტატიკური მდგრადობის ზღვარის გაფართოებისათვის. აღნიშნული ზღვარი ემთხვევა პირობას

$$S_\delta - \frac{S_E}{T'_d} N = 0 \quad (4.40)$$

(4.33) განტოლება საკუთარი მიღევადი რხევების სიხშირისათვის და (4.30), (4.31) ტოლობა იძლევა საშუალებას დავადგინოთ რეგულირების კოეფიციენტების მნიშვნელობების გავლენა რხევის სიხშირის სიდიდეზე, წარმოებულების მიხედვით. რეგულირების კოეფიციენტის გაზრდა პირველი წარმოებულის K'_δ მიხედვით იწვევს

საკუთარი რხევების სიხშირის გაზრდას, ხოლო მეორე წარმოებული K''_δ იწვევს საკუთარი რხევების სიხშირის შემცირებას. იმავე განტოლების გამოყენებით, შეიძლება ვიპოვოთ აპერიოდული გადასვლის პირობა ($\omega = 0$) აგზების რეგულირების სისტემისთვის. ამისათვის უნდა შესრულდეს ტოლობა $\alpha = \omega_0$, რომელიც (4.30), (4.31) გათვალისწინებით გარდაიქმნება შემდეგი სახეში

$$D - \frac{S_E}{T'_d} \left(\frac{K_\delta}{\omega^2} - k''_\delta \right) = 2 \left[S_\delta + \frac{S_E}{T'_d} (k'_\delta - N) \right]. \quad (4.41)$$

4.4. რეგულირებადი პიდროგენერატორის განზოგადოებული სტრუქტურული სქემა

სტრუქტურული სქემის შედგენისათვის შეიძლება გამოყენებული იქნეს განტოლებები (4.10)-(4.13), რომლებიც შემოღებული აღნიშვნების გათვალისწინებით მიიღებს შემდეგ სახეს

$$JP^2 \Delta \delta_{12} + DP \Delta \delta_{12} + S_\delta \Delta \delta_{12} + S_E \Delta E_d = 0, \quad (4.42)$$

$$NP \Delta \delta_{12} + (1 + T'_d P) \Delta E_d = \Delta U_B, \quad (4.43)$$

$$(1 + T_B) P \Delta U_B = \Delta U_P, \quad (4.44)$$

$$\begin{aligned} \Delta U_P &= \frac{F(P)}{G(P)} K_\Pi \frac{\partial \Pi}{\partial \delta_{12}} \Delta \delta_{12} + \frac{F(P)}{G(P)} K_\Pi \frac{\partial \Pi}{\partial E_d} \Delta E_d + \frac{F_1(P)}{G(P)} K'_\Pi \frac{\partial \Pi_1}{\partial \delta_{12}} P \Delta \delta_{12} + \\ &\frac{F_1(P)}{G(P)} K'_\Pi \frac{\partial \Pi_1}{\partial E_d} P \Delta E_d + \frac{F_2(P)}{G(P)} K''_\Pi \frac{\partial \Pi_2}{\partial \delta_{12}} P^2 \Delta \delta_{12} + \frac{F_2(P)}{G(P)} K''_\Pi \frac{\partial \Pi_2}{\partial E_d} P^2 \Delta E_d, \end{aligned} \quad (4.45)$$

$$N = -T_{do} U_2 \frac{x_d - x'_d}{Z_{12}} \sin(\delta_{12} - \alpha_{12}), \quad (4.46)$$

$$T'_d = T_{do} (1 - \frac{x_d - x'_d}{Z_{11}} \cos \alpha_{11}) \quad (4.47)$$

(4.45) განტოლება შეიძლება გადაიწეროს შემდეგი სახით:

$$\begin{aligned} \Delta U_P &= \frac{F(P)}{G(P)} K_\delta \Delta \delta_{12} + \frac{F(P)}{G(P)} K_E \Delta E_d + \frac{F_1(P)}{G(P)} K'_\delta P \Delta \delta_{12} + \frac{F_1(P)}{G(P)} K'_E P \Delta E_d + \\ &\frac{F_2(P)}{G(P)} K''_\delta P^2 \Delta \delta_{12} + \frac{F_2(P)}{G(P)} K''_E P^2 \Delta E_d, \end{aligned} \quad (4.48)$$

სადაც

$$K_\delta = K_\Pi \frac{\partial \Pi}{\partial \delta_{12}}, \quad K_E = K_\Pi \frac{\partial \Pi}{\partial E_d},$$

$$K'_\delta = K'_\Pi \frac{\partial \Pi_1}{\partial \delta_{12}}, \quad K'_E = K'_\Pi \frac{\partial \Pi_1}{\partial E_d},$$

$$K''_\delta = K''_{\Pi} \frac{\partial \Pi_2}{\partial \delta_{12}}, \quad K''_E = K''_{\Pi} \frac{\partial \Pi_2}{\partial E_d}$$

(4.48) განტოლებაში არ მონაწილეობს რეგულირების კოეფიციენტი გადახრის მიხედვით K_{Π} , პირველი წარმოებული K'_{Π} და მეორე წარმოებული K''_{Π} რეჟიმის სიდიდეების. მათ მაგივრად შეევანილია სიდიდეები $K_{\delta}, K'_\delta, K''_{\delta}, K_E, K'_E$ და K''_E , რომლებიც შეიძლება განვიხილოთ როგორც რეგულირების კოეფიციენტები გადახრების მიხედვით და δ_{12} კუთხის წარმოებულებით და E_d ემბ-ით. ასეთი ჩაწერის ფორმა ხდის მიზანშეწონილს განხილული იქნება სისტემა, როგორც მრავალკავშირიანი, რომელშიც ხორციელდება რეგულირება ორი პარამეტრის: δ_{12} კუთხე და E_d ემბ.

აგზნების რეგულირების სისტემის ანალიზის დროს კოეფიციენტების $K_{\delta}, K'_\delta, K''_{\delta}, K_E, K'_E$ და K''_E სიდიდეები იქნება განსაზღვრული რეჟიმების სიდიდეებით, რომლის ფუნქციით ხორციელდება რეგულირება. ასე, მაგალითად, თუ რეგულირება მიმდინარეობს სტატორის დენის ფუნქციით და ძაბვა მის მოჭერებზე შესაბამისად K_J და K_U რეგულირების კოეფიციენტებით, მაშინ K_{δ} და K_E განისაზღვრება ფორმულებით

$$K_{\delta} = K_I \frac{\partial I}{\partial \delta_{12}} - K_U \frac{\partial U}{\partial \delta_{12}}, \quad (4.49)$$

$$K_E = K_I \frac{\partial I}{\partial E_d} - K_U \frac{\partial U}{\partial E_d} \quad (4.50)$$

(4.42)-(4.47) განტოლებათა სისტემის საფუძველზე, კონკრეტული რეგულირების სქემის (ნახ.4.3) გათვალისწინებით შეიძლება აიგოს განზოგადოებული სტრუქტურული სქემა, რომელიც გამოსახულია ნახ.4.4. აღნიშნული სქემის განსაკუთრებულობას წარმოადგენს რეგულატორების ყველა რგოლების ორჯერადად განმეორება. ამიტომ სქემაში გამორიცხულია რეალური რეჟიმული სიდიდეები, რომლის ფუნქციით ჩვეულებრივ ხორციელდება აგზნების რეგულირება. ამით მიიღწევა სქემის განზოგადოება და გამოიკვეთება რეგულირებადი ჰიდროგენერატორის სპეციფიკური განსაკუთრებულობა, როგორც მრავალკონტრიანი და მრავალკავშირიანი სისტემების.

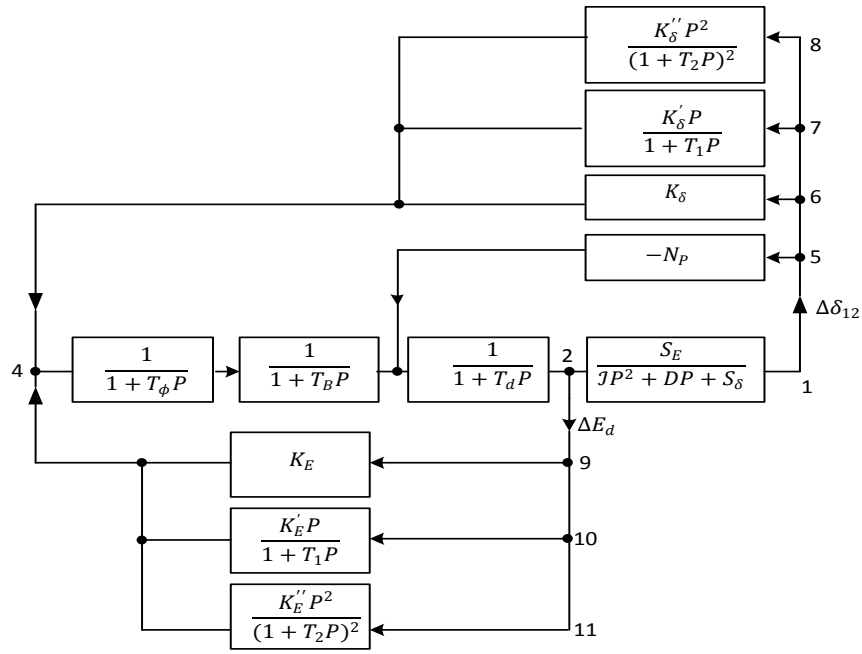
პიდროგენერატორის აგზნების რეგულირების სისტემის სტრუქტურული სქემა მიღებული დაშვების დროს შეიცავს შვიდ კონტროლს. ერთი მათგანი. (1,5,3,2,1), წარმოადგენს შიდა უკუ კავშირს, დამახასიათებელი პიდროგენერატორისთვის, როგორც რეგულირების ობიექტი. ფიზიკურად ეს უკუ კავშირი წარმოშობს დამატებით ე.მ.ძ-ის პროცესს აგზნების გრაგნილში რხევების დროს.

სქემაში დანარჩენი ექვსი კონტროლის არსებობა განპირობებულია რეგულატორის მოქმედებით, რომელიც წარმოშობს გარე უკუ კავშირებს. კონტროლები, შექმნილი აგზნების რეგულატორებით, შეიძლება დაიყოს ორ ჯგუფად: ელექტრომექანიკური და ელექტრომაგნიტური.

განსაკუთრებულობას ელექტრომექანიკური კონტროლების წარმოადგენს ის, რომ ისინი შეიცავს რხევითი რგოლებს. აღნიშნულ ჯგუფს მიეკუთვნება სამი კონტროლი: δ_{12} კუთხის გადახრა (1,6,4,3,2,1), მისი პირველი (1,7,4,3,2,1) და მეორე (1,8,4,3,2) წარმოებულებით. უნდა აღინიშნოს, რომ კონტროლი, წარმოქმნილი შიდა უკუ კავშირით N_P , თავისი ბუნებით აგრეთვე წარმოადგენს ელექტრომექანიკურს.

ელექტრომაგნიტური კონტროლები არ შეიცავს რხევით რგოლებს. მათ მიეკუთვნება E_d ემდ-ის გადახრის კონტროლები (2,9,4,3,2), მისი პირველი (2,10,4,3,2) და მეორე (2,11,4,3,2) წარმოებულები.

პიდროგენერატორის აგზნების რეგულირების პრინციპს საფუძვლად უდევს მოთხოვნა, რომ რეგულირების დროს ნებისმიერი სიდიდის შემთხვევაში უკუ კავშირი კუთხის მიხედვით იყოს დადებითი ($K_\delta > 0$). აღნიშნული მდგომარეობიდან განისაზღვრება ნიშანი, რომლითაც უნდა შემოვიდეს δ_{12} კუთხის გადახრა, სტატორის დენი და გენერატორის ძაბვა.



**ნახ.4.3. ჰიდროგენერატორის აგზნების რეგულირების სისტემის
განზოგადოებული სტრუქტურული სქემა**

აგრეთვე განისაზღვრება უკუ კავშირის ნიშანი E_d -ების მიხედვით. დენის მიხედვით რეგულირების დროს უკუ კავშირი E_d -ს მიხედვით წარმოადგენს დადებითს ($K_E > 0$), ძაბვის მიხედვით რეგულირების დროს –უარყოფითი ($K_E < 0$), ხოლო კუთხის მიხედვით რეგულირების დროს და მისი წარმოებულით უკუ კავშირი ემბ-ის მიხედვით და მისი წარმოებულით გამორიცხულია. ამის შესაბამისად არსებითად იცვლება სისტემის თვისება მთლიანობაში.

რეგულირებად ჰიდროგენერატორში გარდამავალი პროცესების ხარისხი განისაზღვრება ცალკეული კონტურებით და მათი ურთიერთკავშირებით. დინამიკური თვისებები ელექტრომექანიკური და ელექტრომაგნიტური კონტურების სხვადასხვაა და შეიძლება გამოკვლეულ იქნეს შედარებით მარტივად. თუ სტრუქტურულ სქემაში ნახ.4.4 გამოვრიცხავთ ყველა ელექტრომაგნიტურ კონტურს, მაშინ შეიძლება მივიღოთ სტრუქტურული სქემა, რომელიც შეესაბამება ჰიდროგენერატორის რეგულირების სისტემას, რომელიც ფუნქციაა

გადაცემის კუთხის და მისი წარმოებულის. მიღებული სისტემა წარმოადგენს შედარებით მარტივს გარდამავალი პროცესების ანალიზის თვალსაზრისით.

4.5. ჰიდროგენერატორის მუშაობა არასიმეტრიული დატვირთვის დროს

განვიხილოთ მოვლენა, რომელიც მიმდინარეობს ჰიდროგენერატორის წრედებში სისტემასთან პარალელური მუშაობის დროს. როგორც ცნობილია არასიმეტრიული დატვირთვის შემთხვევაში გენერატორის როტორის და სტატორის წრედებში აღიძვრება ძაბვისა და დენის ჰარმონიკები. [53]

აღნიშნულ შემთხვევაში სტატორის ფაზების გრაფნილებში გამავალი დენები წარმოქმნიან არასიმეტრიულ სისტემას. დენების არასიმეტრიული სისტემა გარკვეული ა კუთხეური სიხშირით შეიძლება დაიშალოს სამი სიმეტრიული სისტემით იმავე კუთხეური სიხშირით: ნულოვანი, პირდაპირი და უკუ მიმდევრობის.

ნულოვანი მიმდევრობის დენები ქმნიან პულსირებულ მაგნიტურ ველს, რომელიც იწვევს სტატორის განბნევის წინაღობაზე ძაბვის ვარდნის ზრდას. პირდაპირი და უკუ მიმდევრობის დენები ქმნიან შესაბამისად პირდაპირი და უკუ მიმდევრობის მბრუნავ მაგნიტურ ველებს. მათი ბრუნვის სიჩქარე (ელ.გრად.წამში) ტოლია ω და $-\omega$ სტატორის მიმართ, $(\omega - \omega_r)$ და $-(\omega + \omega_r)$ როტორის მიმართ. აღნიშნული ველები აგაზნებენ ერთლერძიან როტორის გრაგნილები ელექტრომამოძრავებელ ძალებს და დენებს კუთხეური სიხშირეებით $-(\omega - \omega_r)$ და $(\omega + \omega_r)$ [42].

აღნიშნული დენებით შექმნილი პულსირებული მაგნიტური ველები თავის მხრივ, შეიძლება დაიშალოს პირდაპირი და უკუ მიმდევრობის მბრუნავი ველებით, რომლის ბრუნთა სიჩქარე ტოლია: როტორის მიმართ $(\omega - \omega_r)$, $-(\omega - \omega_r)$ და $(\omega + \omega_r)$, $-(\omega + \omega_r)$, სტატორის მიმართ ω , $-(\omega - 2\omega_r)$ და $(\omega + 2\omega_r)$, $-\omega$. აქედან ჩანს, რომ სტატორის ფაზურ გრაგნილებში უნდა აღიძრას ელექტრომამოძრავებელი ძალები

და დენები არა მხოლოდ ω კუთხური სიხშირით, არამედ $|\omega - 2\omega_r|$ და $|\omega + 2\omega_r|$.

დატვირთვის არასიმეტრიულობის გამო აღნიშნული დენები აგრეთვე იქნება არასიმეტრიული. ამიტომ მათ მიმართ გავიმეორებთ იგივე მსჯელობას, რომელიც იყო განხილული დენების მიმართ ω კუთხური სიხშირით, ვიპოვით, რომ როტორის წრედში უნდა აღიძრას ელექტრომამოძრავებელი ძალები და დენები სიხშირეებით $|\omega - 3\omega_r|$ და $|\omega + 3\omega_r|$, ხოლო სტატორის ფაზურ გრაგნილებში - კუთხური სიხშირეებით $|\omega - 4\omega_r|$ და $|\omega + 4\omega_r|$.

ასეთი მსჯელობით, მივდივართ დასკვნამდე, რომ სტატორის ფაზების გრაგნილებში არასიმეტრიული დენების გავლის დროს ω კუთხური სიხშირით როტორის გრაგნილები უნდა აღიძრას ელექტრომამოძრავებელი ძალები და დენები, რომლის სიხშირეები განისაზღვრება ზოგადი ფორმულებით.

$$\omega_{j_r} = [\omega \pm (2k - 1)\omega_r] \quad (k = 0, 1, 2, \dots). \quad (4.51)$$

ერთდროულად სტატორის გრაგნილების ფაზებში უნდა აღიძრას ელექტრომამოძრავებელი ძალები და დენები სიხშირეებით

$$\omega_{k_b} = [\omega \pm 2k\omega_r] \quad (k = 0, 1, 2, \dots). \quad (4.52)$$

მოცემული მსჯელობა და მიღებული შედეგი სამართლიანია როგორც იძულებითი, ისე თავისუფალი დენებისთვის.

უნდა აღინიშნოს, რომ სიმეტრიული დატვირთვის დროს ელექტრომამოძრავებელი ძალების და დენების იძულებითი მდგრენელები შეიცავს ჰარმონიკებს არა ყველა ზემოთ ჩამოთვლილი სიხშირეების. სტატორის გრაგნილებში იარსებებს იძულებითი რხევები მხოლოდ სიხშირით $|\omega_o - 2\omega_r|$.

მოცემული მსჯელობა სინქრონული მანქანის სტატორის და როტორის გრაგნილებში მაღალი რიგის ჰარმონიკების წარმოქმნის მექანიზმები ნათლად წარმოდგენილია ცხრილი 4.1-ის სახით, რომელიც შედგენილია იძულებითი მდგრენელებისათვის ძირითადი ω_o სიხშირით, იმ დაშვებით, რომ როტორი ბრუნავს S სრიალით.

შეგჩერდეთ უფრო დეტალურად იძულებითი რხევების სიხშირის განსაზღვრაზე სინქრონული მანქანის ცალკე ასინქრონული და ცალკე სინქრონული სვლისათვის.

ზოგად შემთხვევაში, როცა როტორის ბრუნვის სიჩქარე $|\omega_0|$ განსხვავდება სინქრონული $|\omega_0|$ სიჩქარისაგან, ე.ი. გენერატორის დამყარებული ასინქრონული სვლის შემთხვევაში, სიმეტრიული დატვირთვის დროს სტატორის ფაზების გრაგნილებში გაივლის დენები სიხშირეებით

$$\begin{aligned} \omega'_{\text{სტ.}} &= \omega_0 \text{ და } \omega''_{\text{სტ.}} = \omega_0, \text{ სადაც} \\ \omega_0 &= \omega_0(1 - S). \end{aligned} \quad (4.53)$$

შესაბამისად, სტატორის წრედში არასიმეტრიის არსებობის დროს როტორის გრაგნილები იარსებებს რხევები სიხშირეებით, განსაზღვრული შემდეგი ფორმულებით:

$$\omega'_{k\text{რ.}} = |1 \pm (2k - 1)(2 - S)|\omega_0, \quad (4.54)$$

$$\omega''_{k\text{რ.}} = 1 \pm (2k - 1) / (1 - S)\omega_0, \quad (4.55)$$

სტატორის ფაზის გრაგნილებში, შესაბამისად იარსებებს რხევები სიხშირეებით

$$\omega'_{k\text{სტ.}} = |1 \pm 2k(1 - S)|\omega_0, \quad (4.56)$$

$$\omega''_{k\text{სტ.}} = |1 \pm 2k|(1 - S)\omega_0, \quad (4.57)$$

(4.54) და (4.56) ფორმულები მიღებულია (4.51) და (4.52) ფორმულებიდან $\omega = \omega_0$ -ის ჩასმით, (4.55) და (4.57) ფორმულები მიიღება $\omega = \omega_0(1 - S)$ -ის ჩასმით. კერძო შემთხვევაში, როცა როტორი ბრუნავს სინქრონულად სიხშირით ($S = 0$), ფორმულები (4.54), (4.55) და (4.56), (4.57) ჩაიწერება შემდეგი სახით

$$\omega'_{k\text{რ.}} = \omega''_{k\text{რ.}} = |1 \pm (2k - 1)|\omega_0, \quad (4.58)$$

$$\omega'_{k\text{სტ.}} = \omega''_{k\text{სტ.}} = |1 \pm 2k|\omega_0, \quad (4.59)$$

(4.58) და (4.59) ფორმულებიდან ჩანს, რომ გენერატორის სინქრონული სვლის შემთხვევაში და არასიმეტრიული დატვირთვის დროს როტორის გრაგნილები იარსებებს რხევები სიხშირეებით

$$\omega_{k\text{რ.}} = \omega_0, \quad 2\omega_0, \quad 4\omega_0, \dots, 2k\omega_0$$

ხოლო სტატორის ფაზების გრაგნილებში - რხევები სიხშირეებით

$$\omega_{k\ell\vartheta} = \omega_0, 3\omega_0, 5\omega_0, \dots, (2k+1)\omega_0$$

ამგარად, მანქანის სინქრონული სვლის დროს სტატორის წრედში ადგილი აქვს მხოლოდ კენტი ჰარმონიკებს.

აღწერილი მოვლენა, იწვევს როტორში და სტატორში ჰარმონიკების უსასრულო სპექტრის აღძრვას, რომელიც გამოვლინდება როტორის ელექტრული და მაგნიტური არასიმეტრიის დროს, რომელსაც ადგილი აქვს ჰიდროგენერატორებში რომელთაც არ გააჩნიათ დამამშვიდებელი გრაგნილი. ჰიდროგენერატორებში მძლავრი დამამშვიდებელი გრაგნილებით აღნიშნული მოვლენა გამოსახულია სუსტად და ამიტომ პრაქტიკული ანგარიშებისათვის მხედველობაში არ მიიღებიან.

Թռօթորո	Աջաջորո	Թռօթորո	Աջաջորո
$(\omega_o - \omega_{\alpha}) = S\omega_o$	$\leftarrow \omega_o \quad 0$	$1 \vdash (\omega_o + \omega_{\alpha}) = -(2 - S)\omega_o \leftarrow -\omega_o \quad 0$	
$\downarrow -(\omega_o - \omega_{\alpha}) = -S\omega_o$		$\downarrow \omega_o + \omega_{\alpha} = (2 - S)\omega_o$	
	$\begin{array}{c} \downarrow \\ -(\omega_o - 2\omega_{\alpha}) = (1 - 2S)\omega_o \end{array}$		$\begin{array}{c} \downarrow \\ (\omega_o + 2\omega_{\alpha}) = (3 - 2S)\omega_o \end{array} \quad 1$
$\downarrow -(\omega_o - 3\omega_{\alpha}) = -(2 - 3S)\omega_o \leftarrow -(\omega_o - 2\omega_{\alpha}) = -(1 - 2S)\omega_o$	$\begin{array}{c} 1 \quad 2 \\ \downarrow \quad \downarrow \\ -(\omega_o + 3\omega_{\alpha}) = (4 - 3S) \leftarrow -(\omega_o + 2\omega_{\alpha}) = -(3 - 2S)\omega_o \end{array}$	\downarrow	
$\downarrow -(\omega_o - 3\omega_{\alpha}) = (2 - 3S)\omega_o$		\downarrow	
	$\begin{array}{c} \downarrow \\ -(\omega_o - 4\omega_{\alpha}) = (3 - 4S)\omega_o \end{array}$		$\begin{array}{c} \downarrow \\ (\omega_o + 4\omega_{\alpha}) = (5 - 4S)\omega_o \end{array} \quad 2$
$(\omega_o - 5\omega_{\alpha}) = -(4 - 5S)\omega_o \leftarrow -(\omega_o - 4\omega_{\alpha}) = -(3 - 4S)\omega_o$	$\begin{array}{c} 2 \\ \downarrow \end{array}$	\downarrow	
$[\omega_o - (2k - 1)\omega_{\alpha}] = -[(2k - 2) + (2k - 1)S]\omega_o$		$-[\omega_o + (2k + 1)\omega_{\alpha}] = [2k - (2k - 1)S]\omega_o$	
	$\begin{array}{c} \downarrow \\ -[\omega_o - 2k\omega_{\alpha}] = -[(2k - 2) + (2k - 1)S]\omega_o \end{array}$		$\begin{array}{c} \downarrow \\ (\omega_o + 2k\omega_{\alpha}) = [(2k + 1) - 2ks]\omega_o \end{array}$

სისტემაში, რომელიც შეიცავს სხვადასხვა თავმოყრილ და განმანაწილებელ ინდუქციურ და ტევადურ პარამეტრებს, შეიძლება შეიქმნას ხელსაყრელი პირობა რეზონანსისთვის დენის ამა თუ იმ პარმონიკებისათვის. ამ შემთხვევაში სისტემაში შეიძლება აღიძრას გადამეტაბება.

4.6. პიდროგენერატორის ტირისტორული აგზნების სისტემის წრედებში გადამეტმაბებები

პიდროგენერატორის როტორის გრაგნილზე, აგრეთვე აგზნების სისტემის ძალოვან მოწყობილობებში, რომლის შემადგენლობაში შედის კვების წყარო (ტრანსფორმატორი), ვენტილური გარდამქმნელი, ველის ქრობის მოწყობილობა, მუშაობის პროცესში შეიძლება აღიძრას გადამეტმაბებები, რომელსაც გააჩნია შემდეგი ფიზიკური ძუნება [55]:

- ქსელის მხრიდან, განპირობებული ატმოსფერული გადამეტმაბებით (ტრანსფორმატორის გავლით), აგრეთვე კომუტაციური პროცესებით მკვებავი ქსელში;
- გამმართველი ტრანსფორმატორის განბნევის ინდუქციურობებში დენის სწრაფი ცვლილებით, აგრეთვე ვენტილური გამმართველში კომუტაციური პროცესებით.;
- გადამეტმაბებები მუდმივი დენის მხარეზე, გამოწვეული შემდეგი მიზეზებით:
 - ვენტილური გარდამქმნელის ჩამკეტი მოქმედება, როცა აგზნების გრაგნილში ღუზის მხრიდან აღიძვრება უარყოფითი მიმართულების დენები; ასეთი პროცესები აღიძვრება ასინქრონული რეჟიმების შედეგად; როტორის არასასურველი მდებარეობის დროს ასინქრონულ რეჟიმში, გენერატორის ქსელიდან გამორთვა; აგზნების დენის მცირე საწყისი მნიშვნელობის დროს უეცარი არასიმეტრიული მოკლე შერთვა. ზუსტი სინქრონიზაციის მეთოდის გამოყენების შემთხვევაში შეცდომითი სინქრონიზაცია;

- უეცარი მოკლე შერთვის დროს, გენერატორის ველის ქრობა, როცა სტატორის თავისუფალი დენები არაა მიღეული, აგზნების წრედის შემდგომი დამოკლება დიდი ჯერადობის წინაღობაზე;

- გენერატორის თვითსინქრონიზაციის რეჟიმში დამცავი წინაღობის გავლით დენის გავლა (არასწორი არჩევის შემთხვევაში).

- ტირისტორების შეცავების დენებზე ქვემოთ, მათი მნიშვნელობების მიღწევის დროს აგზნების დენის გაწყვეტა.

გადამეტძაბვების აღმგრის სხვადასხვა ფიზიკური ბუნების გარდა, ისინი განსხვავდებიან ერთმანეთისგან შიდა ენერგიით, ამპლიტუდით და სიხშირით. ამის შესაბამისად გამოყენებული უნდა იქნეს სხვადასხვა საშუალება გადამეტძაბვების შეზღუდვისა, რათა აღმოვფხვრათ გენერატორის გრაგნილების იზოლაციის და აგზნების სისტემის ძალოვანი მოწყობილობების ცალკეული ელემენტების დაზიანება. დამცავი მოწყობილობების დამუშავების დროს მნიშვნელოვანია ვიცოდეთ შესაძლო დახრილობა ფრონტის ზრდის და გადამეტძაბვის ტალღის ხანგრძლივობის, ხოლო მუდმივი დენის მხარეზე დაცვის შემთხვევაში, დამატებით დენების ხანგრძლივობა და მნიშვნელობა, რომლებიც გაივლის დამცავი წრედის გზით აგზნების გრაგნილის დამოკლების შემთხვევაში. მნიშვნელოვანია აგრეთვე დავადგინოთ, რომელი რეჟიმი წარმოადგენს გადამწყვეტს დამცავი მოწყობილობის პარამეტრების შერჩევის მიზნით.

განვიხილოთ უფრო დეტალურად გადამეტძაბვების წარმოქმნის ხასიათი და მათი ლიკვიდაციის მეთოდები.

გადამეტძაბვა ქსელის მხრიდან. როგორც აღნიშნული იყო, ამ სახის გადამეტძაბვა განპირობებულია კომუტაციური პროცესებით მკვებავ ქსელში ან ატმოსფერული მოვლენებით, თანაც აღნიშნული გადამეტძაბვის ენერგია შეიძლება იყოს შედარებით დიდი. სავსებით ბუნებრივია, რომ ასეთი სახის გადამეტძაბვა შეიძლება აღიძვრას თვითაგზნების სისტემაში და აგზნების სისტემაში გამმართველი ტრანსფორმატორის კვებით ელექტროსადგურების საკუთარი მოხმარების სალტიდან. გადამეტძაბვის გადაცემა ძალოვანი ტრანსფორმატორის დაბალი ძაბვის მხარეზე, შემდეგ გარდამქმნელზე

გამმართველი ტრანსფორმატორის გავლით მიმდინარეობს ნაწილობრივ ტევადური გზით და ნაწილობრივ ინდუქციური კავშირის გზით გრაგნილებს შორის. დამატებითი ფაქტორი, გადამეტმაბვის იმპულსების ზრდის ფრონტის დახრილობის მოგლუვებელ უნარს, წარმოადგენს გენერატორის სტატორის გრაგნილების ტევადობა. გენერატორში თვითაგზნების სისტემით გადამეტმაბვის შეზღუდვა დასაშვებ დონეზე ხორციელდება მცლელებით, დადგმული პიდროგენერატორის გამოყვანებზე. გარდა ამისა, გამოიყენება დაცვა გადამეტმაბვისგან გამმართველი ტრანსფორმატორის მეორადი გრაგნილის მხარეზე.

გადამეტმაბვა, განპირობებული გამმართველი ტრანსფორმატორის კომუტაციით. ასეთი გადამეტმაბვა შეიძლება აღიძვრას მხოლოდ იმ შემთხვევაში, როცა გამმართველი ტრანსფორმატორი გამოირთვება პირველადი გრაგნილის მხარეს ამომრთველის საშუალებით.

გადამეტმაბვების შესაძლო მიზეზები, აღძრული გამმართველი ტრანსფორმატორის კომუტაციის დროს, წარმოადგენს შემდეგს:

- მაღალი ინდუქციურობა, რომელიც მიისწრაფის შეინარჩუნოს უცვლელი დენი გამმართველი ტრანსფორმატორის მთავარ ინდუქციურობაში ტრანსფორმატორის პირველად მხარეზე, დატვირთვის დენის გაწყვეტის შემთხვევაში.

- გამმართველი ტრანსფორმატორის მაგნიტური ენერგიის გადასვლა ელექტრულში მისი გამორთვის დროს უქმი სვლის მუშაობის რეჟიმში.

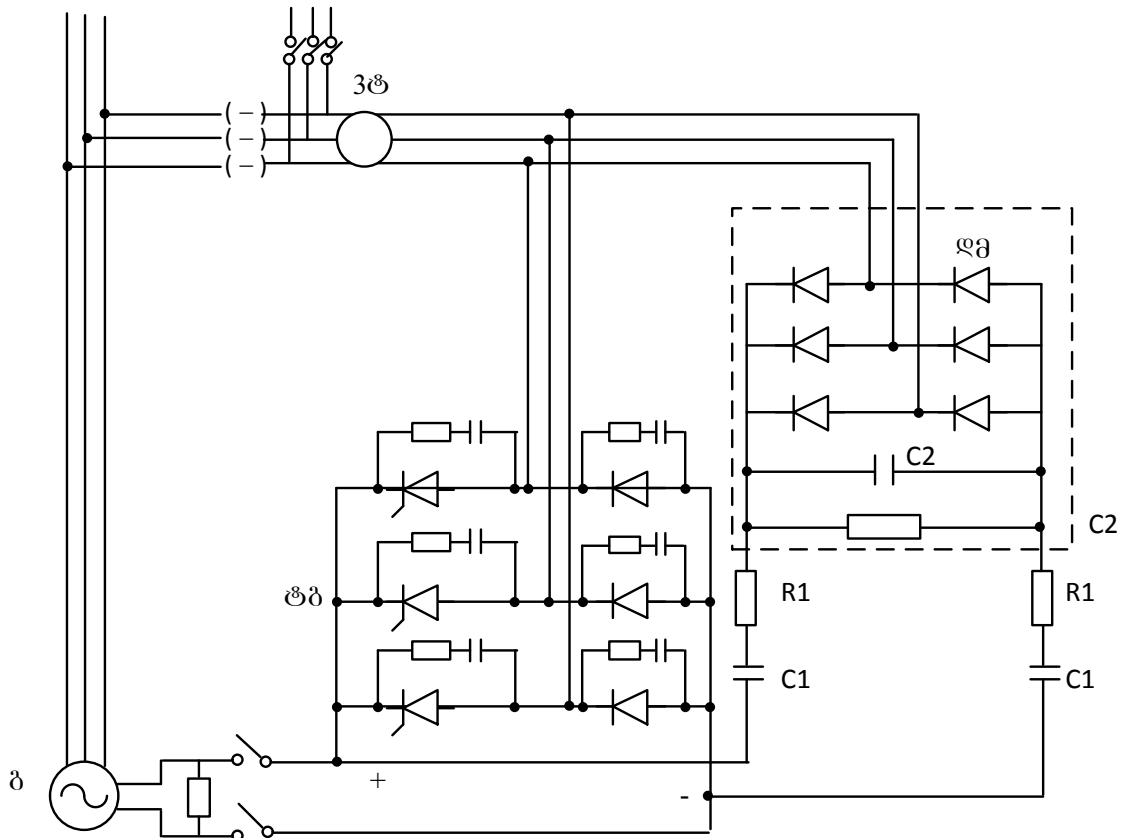
პირველი სახის გადამეტმაბვის თავიდან აცილების მიზნით შექმნილია ისეთი ბლოკირება რომელსაც, ცვლადი დენის ამომრთველის გამორთვის წინ, გარდამქმნელი გადაჰყავს ინვერტორულ რეჟიმში და მხოლოდ როტორის დენის ნულამდე შემცირების შემდეგ გამოირთვება ცვლადი დენის ამომრთველი. პირველი სახის გადამეტმაბვის გამორიცხვის სხვა მეთოდს წარმოადგენს აგზნების წრედში უქმი სვლის დიოდის ჩართვა. მაგრამ ამ შემთხვევაში შეუძლებელია გარდამქმნელის გადაყვანა ინვერტორულ რეჟიმში.

გადამეტძაბვა, განპირობებული გარდამქმნელებში კომუტაციური პროცესებით. როგორც ცნობილია, ნახევრადგამტარული ვენტილების კომუტაციური თვისება, არსებითად განსხვავდება იდეალური ვენტილების თვისებებისაგან. როცა ნახევრადგამტარული ვენტილი (ტირისტორი) იმყოფება ღია მდგომარეობაში [43], ორივე ვენტილის ბაზა და ზოგიერთ შემთხვევაში ერთი ან ორივე ვენტილის ემიტერული არე, შეიცავს ჭარბი მუხტების მატარებელს, რომელიც იზრდება პირდაპირი დენის გაზრდით. იმისათვის, რომ გადაგროვო ნახევრადგამტარული ვენტილი ჩაკეტილ მდგომარეობაში, აღნიშნული დაგროვილი ჭარბი მუხტი უნდა მოშორდეს უშუალოდ ელექტრული ველით. ამიტომ პოლარობის შეცვლის შემდეგ მოდებული ძაბვა ნახევრადგამტარულ ვენტილზე გარკვეულ დროში ატარებს დენს უკუ მიმართულებით. თავიდან უკუ დენი იზრდება I_o -მდე, ხოლო შემდეგ იწყება უკუ დენის სწრაფად შემცირება, და ის მცირე დროში (ტირისტორის ტიპისა და კლასის მიხედვით - 6 წმ) ეცემა (0,1-0,2) I_o -მდე. ასეთი სწრაფი ცვლილება უკუ დენის იწვევს იმას, რომ კომუტაციის კონტურის მცირე ინდუქციურობის დროსაც კი აღიძერება მნიშვნელოვანი თვითინდუქციის ემდ.

აღნიშნული გადამეტძაბვის შემცირებისთვის ერთობლივად გამოიყენება $R - C$ -წრედი, შეერთებული სამკუთხედად გარდამქმნელის შესასვლელზე, და $R3 - C3$ -წრედი, აშუნტებს ტირისტორს. სხვა მეთოდს დაცვისა წარმოადგენს ტირისტორული გარდამქმნელის მუდმივი ძაბვის მხარეზე, დამცავი მოწყობილობის (ღმ) ჩართვისა. $R1 - C1$ ელემენტებით, რომელიც ეს ნაჩვენებია ნახ.4.5[44]. ჩვეულებრივ დასაშვებია გადამეტძაბვა 30-40% ზღვრებში ნომინალური ცვლადი ძაბვის მნიშვნელობიდან.

ჩატარებული კვლევებმა აჩვენა, რომ მაღალსის შირულმა პროცესებმა, რომლებიც მიმდინარეობს ტირისტორების კომუტაციის დროს, შეიძლება არსებითი გავლენა მოახდინოს გარდამქმნელების მუშაობის საიმედოობაზე, მათ ზომებზე და მარგი ქმედების კოეფიციენტზე. $R - C$ -წრედების პარამეტრების ოპტიმალური შერჩევით, შეიძლება არსებითად გავაუმჯობესოთ კონდენსატორების მუშაობის

პირობები და შევამციროთ კომუტაციური გადამეტძაბვის კოეფიციენტი 1,3-მდე. $R - C$ -წრედის პარამეტრების შერჩევა უნდა განხორციელდეს პროექტირების ეტაპზე, შესაბამისი ანგარიშების საფუძველზე.



ნახ.4.4. გადამეტძაბვისაგან დაცვა, განპირობებული კომუტაციური პროცესებით გარდამქმნელში.

გადამეტძაბვა მუდმივი დენის მხარეზე. როგორც ნათქვამი იყო ზემოთ, გადამეტძაბვა ალტრული მუდმივი დენის მხარეზე, წარმოადგენს მიზეზს სხვადასხვა სახის ავარიული სიტუაციების, დაკავშირებულს პიდროგენერატორის ჩართვასთან ელექტროსისტემაში ან მის გამორთვასთან ქსელიდან ავარიულ პირობებში.

მირითადი მიზეზი გადამეტძაბვის განპირობებულია აგზნების სისტემის ვენტილების ერთმხრივი გამტარობით. საქმე იმაშია, რომ პიდროგენერატორის ავარიულ და გარდამავალ რეჟიმებში აგზნების გრაგნილში დენს დროის გარკვეულ მონაკვეთში გააჩნია უარყოფითი მნიშვნელობა, მაგრამ რადგან ვენტილებს არ შეუძლია გაატაროს დენი

უპუ მიმართულებით, აგზნების დენი აღმოჩნდება განრთული. ამის შედეგად აგზნების გრაგნილის მოჭერებზე წარმოიქმნება ამაღლებული ძაბვა.

ამგვარად, გადამეტმაბვების აღმვრის კერძო შემთხვევების შესწავლა, საშუალებას იძლევა დაგამუშაოთ ანგარიშების მეთოდი, რომლთა გამოყენებით, პროექტირების დროს, მაღალი სიზუსტით შესაძლებელია რთული რეჟიმების გათვალისწინება დამცავი მოწყობილობების პარამეტრების განსაზღვრისთვის.

**თავი V. ენგურჰესის 306 მგვა სიმძლავრის
პიდროგენერატორის მართვისა და რეგულირების
ექსპერიმენტალური მახასიათებლები**

**5.1. ენგურჰესის 306 მგვა სიმძლავრის პიდროგენერატორის
ტირისტორული აგზნების მოწყობილობები და მათი პარამეტრები.**

აგზნების მოწყობილობა გენერატორისათვის 306 მგვა სიმძლავრის შესდგება გამანაწილებელი დაფისაგან ოთხი კარადიო. პიდროგენერატორის აგზნების გრაგნილი იკვებება პიდროგენერატორის მომჭერებიდან დამწევი ტრანსფორმატორით 2000 კვა სიმძლავრით, 15,75 კვ/525 ვ ძაბვით. ტრანსფორმატორის მეორადი დენის გამართვა სწარმოებს აგზნების მოწყობილობაში და რეგულირდება აგზნების ძაბვის შემავალი სიგნალის მითითების შესაბამისად.

- პიდროგენერატორის ტექნიკური პარამეტრები:

ტიპი: 1DH7254 – 3WE12 – Z

ნომინალური სრული სიმძლავრე $S_6 = 306$ [მგვა]

ნომინალური სიმძლავრის კოეფიციენტი $\cos\varphi = 0,96$

ნომინალური სიხშირე $f_6 = 50$ [ჰერცი]

ნომინალური ბრუნვა $n_6 = 250$ [ბ/წთ]

გენერატორის ნომინალური ძაბვა მომჭერებზე $U_6 = 15750$ [ვ]

გენერატორის ნომინალური დენი მომჭერებზე $I_6 = 11217$ [ა]

გენერატორის ნულოვანი დატვირთვის აგზნების დენი $I_f = 967$ [ა]

გენერატორის ნულოვანი დატვირთვის აგზნების ძაბვა $U_f = 104$ [ვ]

გენერატორის ნომინალური აგზნების დენი $I_{f_6} = 2177$ [ა]

გენერატორის ნომინალური აგზნების ძაბვა $U_{f_6} = 276$ [ვ]

დროის მუდმივა $T'_{do} = 8,8$ [წმ]

რეაქტორული წინაღობა $X_d = 1,87$ [ვ.გ.], $X'_d = 0,53$ [ვ.გ.]

- გამმართველი ტრანსფორმატორის ტექნიკური პარამეტრები:

ნომინალური სრული სიმძლავრე $S_6 = 2000$ [კვა]

პირველადი გრაგნილის ნომინალური ძაბვა $U_1 = 15,75$ [ვვ]

მეორადი გრაგნილის ნომინალური ძაბვა $U_2 = 525$ [ვ]

მოკლე შერთვის ძაბვა $E_k = 13\%$

- ტირისტორული ერთეულის *JTK9406 · 1* ტიპის ტექნიკური პარამეტრები.

ტირისტორული ერთეულები დაგეგმარებულია არარევერსული ტირისტორული გამმართველების მოსათავსებლად. ის შედგება 1 ტირისტორისაგან. სამფაზიანი “ბოგირული” გამმართველი შედგება 6 ტირისტორული ერთეულისაგან. დისტანციური მართვის დაცვის კომუტაცია იცავს ტირისტორებს გადამეტაბვისაგან ტირისტორული დენის მეშვეობით. მაცივებლის ტემპერატურას მართავს ბიმუტალური ტემპერატურული გადამწოდები (ST1). გადამრთველი ტრანსფორმატორების წყვილი ($T1, T2$) შესაძლებელს ქმნის “LONG” (ხანგრძლივ) გადასართავ იმპულსებს, რომელიც ესაჭიროება ტირისტორებს ჩასართვად ტირისტორული გამმართველის დიდი ინდუქტივობით დატვირთვის შემთხვევაში.

თითოეული ტირისტორისათვის იმპულსები გადაეცემა სიგნალების წყვილით, მართკუთხედის ფორმის იმპულსებით სიგანით 0,025 მიკროწამი და პერიოდით 0,050 მიკროწამი. ტირისტორულ ერთეულზე იმპულსების არსებობის შემდეგ ორთავე სიგნალი იკრიბება და ამ წესით გარდაიქნება უწყვეტ იმპულსად ტირისტორის ჩართვის განმავლობაში. ტრანსფორმატორები უზრუნველყოფილია 2 პირველადი გრაგნილით, რომლებიც შესაძლებელს ქმნის ტირისტორის ჩართვას ორივე არხიდან. ტირისტორული ერთეულის ნომინალური ძაბვა: 690[ვ]

ნომინალური სიხშირე: 50 [ვც]

ნომინალური ეფექტური დენი: 1587 [ა]

ნომინალური მუდმივი დენი (ფაზიანი ხიდი, გაცივება – ჰაერი 40°C , 8 მიკრო წამო $^{-1}$): გადატვირთვით $1,6 \times 20$ წამის განმავლობაში, ინტერვალი 300 წამი 2750 [ა].

- ცვლადი დენის გადამეტაბვისაგან დაცვა.

OLT ტიპის ცვლადი დენის გადამეტაბვისაგან დაცვის მოწყობილობა გეგმარდება ცვლადი დენის გამმართველზე ძაბვის

შეზღუდვისათვის. ის იცავს ტირისტორულ ერთეულებს და იმავდროულად ზღუდავს გადამეტაბვის კომუტაციას. ის შედგება დამხმარე გამმართველის, კონდენსატორის, განმუხტველის და მაღემფირებელი რეზისტორისაგან.

ნომინალური ძაბვა:	1000[გ], 50 [ჰც]
ტევადობა:	32 [მგვ]
მაღენფირებელი წინაღობა:	0,22 [ომი]
განმუხტველი წინაღობა:	22 [ომი]

- **მუდმივი დენის გადამეტაბვისაგან დაცვა**

OTD ტიპის მუდმივი დენის გადამეტაბვისაგან დაცვის მოწყობილობის დანიშნულება შეზღუდოს ძაბვის გადამეტება ზოგიერთი არასტანდარტული მდგომარეობიდან სინქრონულ გენერატორზე ან ამგზნები მოწყობილობის არასწორი ფუნქციის შემთხვევაში, დაცვა ზღუდავს გადამეტაბვას. განმუხტველი რეზისტორი შეიძლება პარალელურად შეურთდეს გენერატორის აგზნების გრაგნილს გადამეტაბვის შემთხვევაში. განმუხტველი რეზისტორების შერჩევა ხდება ინდიკირულურად აგზნების მოწყობილობის შესაბამისად.

დაცვის ჩართვა და დენის გავლა ფასდება სენსორების (*U1, U2*) მეშვეობით.

უწყვეტი სამუშაო ძაბვა:	800 [გ]
ნომინალური უწყვეტი დენი:	63 [ა]
საწყისი ძაბვა (მუდმივი დენი):	1600 [გ] $\pm 50[გ]$
საგამოცდო ძაბვა დამიწების საპირისპიროდ:	4000 [გ]
გადართვის დენი:	4÷8 [ა] მუდმივი დენი
კვება:	= 24[3] $\pm 10\%$ მუდმივი დენი

- **16 ბიტიანი მიკროკომპიუტერი *D8214B1***

ერთეული სრულდება, როგორც ერთი დაფის მიკროკომპიუტერი *PRIMIS*-ის კონტროლერის სამწყობრო სალტისათვის. დამატებითი მიკროპროცესორი შეიცავს მეხსიერების, შემავალ, გამომავალ და სხვა დამხმარე წრედებს. "PC" ქმნის მომხმარებლის პროგრამას (*software*) დამხმარე *SOFIC* პროგრამით.

ტექნიკური მონაცემები

-16 ბიტი მიკროპროცესორი <i>INTEL 80C186EA</i> ,	16 მგვტ
- მეხსიერება <i>RAM</i>	448 კბაიტი
- ორარხიანი მეხსიერება <i>DPRAM</i>	64 კბაიტი
- მეხსიერება <i>EEPROM</i> (მომხმარებლის პროგრამა)	256 კბაიტი
- მეხსიერება <i>EPROM</i>	128 კბაიტი
- რეალური დროის ციფრი	<i>RTC64611</i>

• კონვერტორის მართვა

ერთეული უზრუნველყოფს გენერატორის ასაგზნები პარამეტრების (აგზნების ძაბვა, აგზნების დენი) გაზომვას და გენერატორის ტირისტორული გამმართველის მართვის იმპულსების მართვას.

გარდა ამისა ის გარდაქმნის გაერთიანებულ ანალოგიურ გალვანურ გამოყოფილ სიგნალებს 0(4) 20 მა-ზე, მზომი სელსაწყოების ან გარდამქმნელის გარე კავშირებისათვის. ერთეული აღჭურვილია დიაგნოსტიკური წრედებით.

ტექნიკური მახასიათებლები:

- პროცესორი <i>87C196KR</i> ,	16 მგვტ
- მეხსიერება <i>EPROM</i>	64 კბაიტი
- ორარხიანი მეხსიერება <i>DPRAM</i>	2 კბაიტი

კომუნიკაცია:

- 1 ასინქრონული სერიული არხი *RS232*

კვება: $=5\Omega$ მუდმივი დენი $I_{cc} \leq 0,5$ ა
 $=24\Omega$ მუდმივი დენი $I_{cc} \leq 1$ ა

5.2. მიკროპროცესორების გამოყენება ენგურჟესის ჰიდროგენერატორების მართვისა და რეგულირების მოწყობილობებში

მიღწევები მიკროელექტრონიკის დარგში იძლევა ფართო შესაძლებლობას შეიქმნას ენერგეტიკული მანქანათმშენებლობისათვის ახალი თაობის აპარატურა მართვის, რეგულირების, კონტროლის,

დაცვის, სიგნალიზაციის და დიაგნოსტიკის. მიკროპროცესორული ტექნიკის გამოყენება საშუალებას იძლევა გაფართოვდეს დიაგნოსტიკისა და რეგულირების სისტემების ფუნქციები, ამაღლდეს აპარატურის სიზუსტე, რადიკალურად გამარტივდეს კონტროლის მოწყობილობა, დაცვების და სიგნალიზაციის, განხორციელდეს ენერგეტიკული აგრეგატების მართვა ქვესისტემურად საერთოსასადგურო ავტომატიზაციით.

მნიშვნელოვანი უპირატესობა მიკროპროცესორული სისტემების მდგომარეობს, მისი ფუნქციების ცვლილების სიმარტივეში და აგრეთვე მისი ამოცანების პროგრამების უზრუნველყოფით. პროგრამული უზრუნველყოფა და მისი დეტალური შემოწმება არა ნაკლებ მნიშვნელოვანია, ვიდრე აპარატურის შექმნა მიკროპროცესორებზე. ბოლო წლებში ნახევრადგამტარული აგზნების ავტომატური რეგულატორების მიმართულებამ მიიღო შემდგომი განვითარება. მიმდინარეობს აგზნების ავტომატური რეგულატორების (აარ) ფუნქციების გაზრდა და იცვლება მისი ელემენტების ბაზა. როგორც ცნობილია აარ-ის დახმარებით ხეორციელდება რეალიზაცია სამი ფუნქციის ჯგუფის: სისტემური, ტექნოლოგიური და დაცვის [43].

სისტემური ფუნქციებში შედის ძაბვების შენარჩუნება მაღალი სიზუსტით, გენერატორების სტატიკური და დინამიკური მდგრადობის უზრუნველყოფა ყველა სასქემო-სარეჟიმო სიტუაციაში, ენერგოსისტემაში ავარიის შემდგომი რხევების დემფინირება.

ტექნოლოგიურ ფუნქციებში შედის აგზნების დენის ავტომატური მართვის უზრუნველყოფა ბრძანების შესრულების დროს, გენერატორის ერთი რეჟიმიდან მეორე რეჟიმში გადასვლის დროს, რომლებიც სრულდება მოცემული პროგრამების მიხედვით. მათში შედის: აგრეგატის გაშვების დროს საწყისი აგზნების რეჟიმის უზრუნველყოფა, ზუსტი ავტომატური სინქრონიზაცია ან თვითსინქრონიზაცია, პროგრამული გაშვება ჰიდროგენერატორის, გენერატორის განტვირთვა რეაქტიული სიმძლავრის მიხედვით მისი გამორთვის წინ ქსელიდან ნორმალური გაჩერების დროს, რეაქტიული დატვირთვის განაწილება

პარალელურად მომუშავე მანქანებს შორის, გენერატორის ძაბვის შეზღუდვა სიხშირის შემცირების დროს და ა.შ.

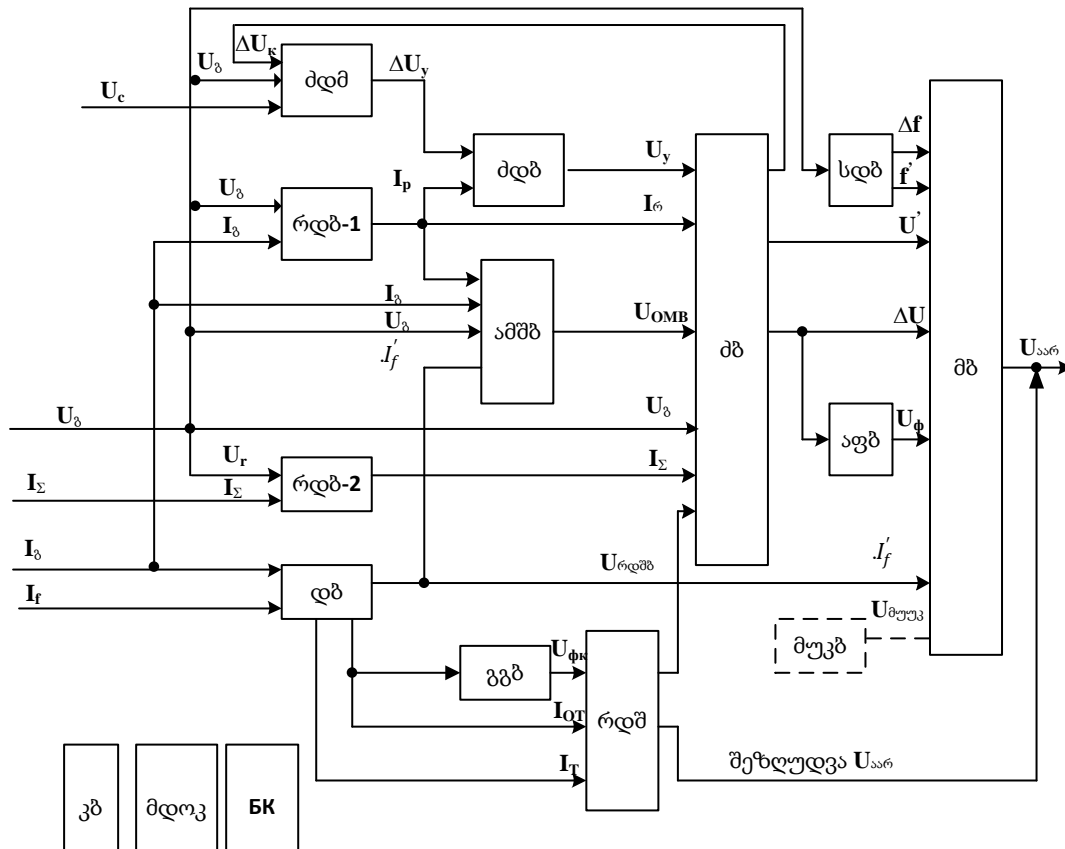
დაცვის ფუნქციები აგზნების ავტომატური რეგულატორის მდგომარეობს შემდეგში: პიდროგენერატორის მუშაობის დროს რეჟიმების გამოვლენა როტორის ან სტატორის გრაგნილების დაუშვებელი გახურება მდგრადობის პირობის მიხედვით, აგზნების სისტემის გარდამქმნელის ტირისტორების გადატვირთვა და ა.შ., უზრუნველყოს დაბრუნება დასაშვები მუშაობის რეჟიმში ინერციის გარეშე ან მცირე დროის დაყოვნებით, განსაზღვრული ძირითადი მოწყობილობის მახასიათებლებით. ასეთ ფუნქციებს მიეკუთვნება: მინიმალური აგზნების შეზღუდვა გამომდინარე მდგრადობის პირობიდან ან გადახურება სტატორის შუბლური ზონის, რეაქტიული სიმძლავრის მოთხოვნის რეჟიმში, როტორის ან სტატორის გადატვირთვა დენის მიხედვით, მანქანის თბური მდგომარეობის გათვალისწინებით, აგზნების მაქსიმალური დენი აგზნების სისტემის გარდამქმნელის მდგომარეობის გათვალისწინებით.

ბოლო წლებში მძლავრ პიდროგენერატორებზე ინერგება აგზნების ავტომატური რეგულატორი, რომელიც კონსტრუქციულად შესრულებულია ორი სტანდარტული კასეტის სახით, რომელიც მოთავსებულია კარადაში აგზნების ავტომატური მართვის აპარატურასთან ერთად.

ზედა კასეტა ძირითადად ასრულებს აგზნების ავტომატური რეგულატორის ფუნქციას, ხოლო ქვედა კასეტა კი პიდროგენერატორის მუშაობის რეჟიმების სტაბილიზაციას. თითოეული ბლოკი რეგულატორის შედგება პლატასგან წინა პანელზე, რომელზეც დაყენებულია აუცილებელი ელემენტები ბლოკის გაწყობისათვის და შემოწმებისათვის რეგულატორის ყველა ბლოკი წარმოადგენს კომბინაციას რამდენიმე ტიპიური ფუნქციონალური ელემენტებისაგან (სუმატორი, ინტეგრატორი, დიფერენციატორი, კომპარატორი, ფაზომგრძნობიარე გამმართველი, მულტივიბრატორი), შესრულებული ოპერაციულ მაძლიერებელზე – ინტეგრალური მიკროსქემაზე რეგულატორი შეიცავს ცალკეულ ბლოკებს. ნათლადაა გამოხატული

მეცნიერულ-ტექნიკური პროგრესი ძლიერი მოქმედების აგზნების ავტომატური რეგულატორის დამუშავების საკითხებში, რომელიც მდგომარეობს მასის საგრძნობი შემცირებით 1100 კგ-დან (მაგნიტური მაძლიერებლების ბაზაზე) 40 კგ-მდე (ინტეგრალური მიკროსქემების ბაზაზე).

ფუნქციონალური სქემა აგზნების ავტომატური რეგულატორის ნაჩვენებია (ნახ.5.1).



ნახ.5.1. აგზნების ავტომატური რეგულატორის ფუნქციონალური სქემა.

შემავალი სიგნალებს წარმოადგენს გენერატორის დენი - I_δ , გენერატორის ძაბვა U_δ , აგზნების დენი - I_f , გენერატორების ჯამური დენი - I_Σ და ქსელის ძაბვა - U_c . გამოსავალი სიგნალი განისაზღვრება გამოსახულებით

$$U_{\text{აარ}} = k_{U_0} \Delta U + k_{U_1} U' + k_{f_0} \Delta f + k_{f_1} f' + k_{I_f 1} I'_f,$$

სადაც $k_{U_0}, k_{U_1}, k_{f_0}, k_{f_1}, k_{I_f 1}$ -რეგულირების კოეფიციენტები ძაბვის გადახრის მიხედვით და ძაბვის პირველი წარმოებულის მიხედვით,

სიხშირის გადახრის მიხედვით და სიხშირის პირველი წარმოებულის მიხედვით და შესაბამისად როტორის დენის პირველი წარმოებულის მიხედვით.

სიდიდეების ჯამი, რომლებიც შედიან აგზნების ავტომატური რეგულატორის კანონში და გაძლიერება ჯამური სიგნალების ხორციელდება რეგულატორის მაძლიერებლის ბლოკში (მბ). მისი განსაკუთრებლობა მდგომარეობს იმაში, რომ ის შესრულებულია ცვლად დენზე. მაძლიერებლის ასეთი სქემა საშუალებას იძლევა გამოსავალზე მივიღოთ ძაბვა ± 20 კ, რომელიც საგრძნობლად მეტია $\pm 12,6$ კ – კვების წყაროზე. მბ-ის ფუნქციონალური ელემენტები 10 შესასვლელზე, მოდულაციის სიხშირე 5 კГц, მოდულატორი, ორტაქტიანი სიმძლავრის მაძლიერებელი, დემოდულატორი. მაძლიერებლის სქემა პრაქტიკულად უინერციოა. გარდა ამისა სქემა – ტექნიკის გადაწყვეტის შედეგად მაქსიმალური დენი მაძლიერებლების გამოსავალზე შეზღუდულია 0,06 ა მნიშვნელობამდე. ამასთან დაკავშირებით არ საჭიროებს რეგულატორის დენის შემზღუდველს მის გამოსავალზე მოკლე შერთვის მოხდენის დროს.

გენერატორის ძაბვის გადახრის სიგნალი მოცემული მნიშვნელობიდან და ძაბვის პირველი წარმოებული ფორმულირდება ძაბვის ბლოკში (მბ). რეგულატორის სწრაფქმედების ამაღლებისათვის გამოიყენება გენერატორის ძაბვის გადახრის გაზომვისათვის ორარხიანი სქემა. სწრაფქმედების არხი აწყობილია ძაბვის ამპლიტუდური მნიშვნელობის გადახრის გაზომვაზე, ხოლო ინერციულობის არხი კი სამფაზა ძაბვის საშუალო მნიშვნელობის გადახრაზე. ამპლიტუდური ძაბვის მნიშვნელობის გადახრის გაზომვა ხორციელდება გენერატორის ძაბვის ცალკეული ფაზებისათვის ცალ-ცალკე, ხოლო გაზომვის შედეგი ჯამდება. ამის შემდეგ ჯამური სიგნალი, რომელიც პროპორციულია ΔU , მიეწოდება მბ ბლოკის გამოსავალზე და აქტიურ დიფერენციატორს, სადაც გარდაიქმნება პირველი წარმოებულის სიგნალად.

სიხშირის ცვალებადობის პროპორციული სიგნალისა და მისი პირველი წარმოებულის (Δf და f') სიგნალის მისაღებად გამოიყენება სიხშირისა და დაცვის ბლოკი (სდბ). აგზნების ავტომატური

რეგულატორში იზომება ცვლილი დენის ძაბვის პერიოდი და არა სიხშირე. აღნიშნული სიგნალის შედარება ხდება ეტალონურთან, რომელიც შეესაბამება გენერატორის ბრუნთა სიხშირის ნომინალურ მნიშვნელობას; შემდეგ სხვაობა, რომელიც პროპორციულია სიხშირის გადახრის, გამოიყოფა RC ფილტრების საშუალებით. გამომავალი სიგნალი სიხშირის ცვალებადობის და შემდგომ მისი დიფერენცირებით ვდებულობთ სიხშირის წარმოებულს. Δf და f' არხების გამოსავალი ძაბვები მიეწოდება შემაჯამებელი მაძლიერებლის მბ შესასვლელზე. სიხშირის გადახრის სიგნალი ნომინალური მნიშვნელობიდან რეგულატორში გამოიყენება გენერატორის ძაბვის დანაყენის გაზომვისათვის, სიხშირის შემცირების დროს და აგრეთვე დაცვის მოწყობილობისათვის.

ძაბვის რეგულირების კანონში აღნიშნული სიგნალების შეყვანა, როგორიცაა ძაბვის წარმოებული, სიხშირე და მისი წარმოებული, როტორის დენის წარმოებული უზრუნველყოფს რეგულირების მაღალ ხარისხსა და მდგრადობის გაზრდას. მეორე მხრივ, ზოგიერთ რეჟიმებში, მაგალითად მ.შ-ის გამორთვის მომენტში და როცა საჭირო ხდება დატვირთვის ჩამოგდება წარმოებულის რეალიზაციის წრედებში მიეწოდება სიგნალები, რომლის მოქმედება აღნიშნულ სიტუაციაში არასასურველია. ამიტომ აგზების ავტომატურ რეგულატორში გათვალისწინებულია მთელი რიგი ბლოკირებები.

სიხშირის ბლოკში შედის დამცავი მოწყობილობა, რომელიც ბლოკირებას უკეთებს Δf და f' სიგნალების მოქმედებას, როცა ერთდროულად ხორციელდება გენერატორის ძაბვისა და სიხშირის ზრდა. შეჩერება ხდება აგზების არასასურველი ფორსირების დატვირთვის ჩამოგდების დროს. Δf და f' სიგნალების ბლოკირება ხორციელდება გენერატორის გამორთვის დროს.

გენერატორის მ.შ. გამორთვის მომენტში, განაგზნების სიგნალის კომპენსაციისათვის, რომელიც მიეწოდება სიხშირისა და ძაბვის წარმოებულის წრედების მიხედვით, აგზების ავტომატური რეგულატორი გათვალისწინებულია აგზების ფორსირების ბლოკი (აფბ). აფბ-ის შემავალ სიგნალებს წარმოადგენს ძაბვის გადახრის

სიგნალი. აღნიშნული სიგნალი ედარება ფორსირების დანაყენის სიდიდეს კომპარატორზე (რომელიც შეიძლება მდოვრედ რეგულირდებოდეს $0,8 \div 0,93 U_H$ დიაპაზონში), როცა გენერატორის ძაბვის შემცირება დაბალია დანაყენზე მბ-ს ერთ-ერთ შესასვლელზე მიეწოდება მუდმივი ძაბვის მნიშვნელობა, რომელიც გადააჭარბებს რეგულატორის მარეგულირებელი სიგნალების ყველა ჯამს და ამიტომ გამოიწვევს აარ-ს გამოსავალი სიგნალების რელეურ ცვლილების და აგზნების ფორსირებას. ფორსირება მოიხსნება 0,1 წმ დროის დაყოვნებით მ.შ-ის გამორთვის შემდეგ.

როტორის დენის წარმოებულის სიგნალის გამომუშავება ხორციელდება დენის ბლოკში (დბ). როტორის დენი იზომება ტირისტორული აგზნების ცვლადი დენის მხარეზე. გამზომი წრედი შედგება სამი დენის ტრანსფორმატორისაგან, სამფაზა გამმართველი ბოგირისაგან და ფილტრისაგან. შემდეგ სიგნალი, პროპორციული როტორის დენისა, დიფერენცირდება და მიეწოდება მბ-ს შემაჯამებელი მაძლიერებლის შესასვლელზე.

ეხლა განვიხილოთ აგზნების ავტომატური რეგულატორის ძირითადი არხი – რეგულირება გენერატორის ძაბვის გადახრის მიხედვით მოცემული მნიშვნელობიდან. გენერატორის ძაბვის დანაყენი მიეწოდება რეგულატორის ძაბვის დანაყენის ბლოკიდან ძდბ. დანაყენის შეცვლა შეიძლება განხორციელდეს როგორც ხელით რეგულატორის ღილაკიდან, ისე ავტომატურად. ძდბ-ის საშუალებით ხორციელოდება რეგულატორის დანაყენის მართვა:

მართვის პულტიდან (სიჩქარით 0,005 ერთ.ძაბვის/წმ), ავარიის საწინააღმდეგო ავტომატიკის მოწყობილობიდან (სიჩქარით 0,05 ერთ.ძაბვის/წმ), ძაბვის დანაყენის მორგების (ძდმ) მოწყობილობიდან თვითსინქრონიზაციის დროს და ზუსტი სინქრონიზაციის დროს, გენერატორის განტვირთვის მოწყობილობიდან მისი გაჩერების დროს რეაქტიული სიმძლავრით.

გარდა ამისა ძდბ-ის საშუალებით ხორციელდება დანაყენის პროგრამული ცვლილება აგზნების ჩართვისა და გამორთვის დროს.

აგზნების ჩართვის ბრძანების დროს უპირველეს ყოვლისა ძღბ ადგენს ძაბვის დანაყენს, რომელიც შეესაბამება მაგალითად ძაბვის $0,3U_H$ მნიშვნელობას, შემდეგ მიეწოდება ბრძანება გადაყვანისა ტირისტორული აგზნების ინვერტორულ რეჟიმში.

ძაბვის დანაყენის ცვლილების პროგრამული მოწყობილობა სინქრონული გენერატორის ჩართვა –გამორთვის დროს წარმოადგენს ახალ ფუნქციას აგზნების ავტომატური რეგულატორის და წარმატებით გამოიყენება ექსპლუატაციაში.

ძაბვის დანაყენის ბლოკი შესრულებულია მართვადი სქემის მიხედვით ხანგრძლივი დროის მეხსიერებით ინტეგრატორის ბაზაზე შენახვის რეჟიმით [44]. დანაყენის ცვლილების შემთხვევაში ინტეგრატორის შესასვლელზე მიეწოდება ძაბვა შესაბამის შესასვლელზე (მაგალითად, გენერატორის განტვირთვის პროცესში რეაქტიული სიმძლავრით – ძაბვა, პროპორციულია გენერატორის რეაქტიული დენის მნიშვნელობის), ხოლო გამოსასვლელიდან მოიხსენება სიგნალი რეგულატორის დანაყენის, რომელიც მიეწოდება ძაბვის ბლოკის ერთ-ერთ გამზომ შესასვლელზე. ძაბვის დანაყენის მორგების მოწყობილობა ძღმ მუშაობს როცა გენერატორი ჩართულია ენერგოსისტემაში. გენერატორის თვითსინქრონიზაციის მეთოდით ჩართვის დროს რეგულატორის ძაბვის დანაყენის მორგების მოწყობილობა ჩართულია სინქრონული მანქანის გამომყვანებზე ძაბვასთან, როცა აარ-ის გამოსავალი დაშუნტებულია. ძაბვების მორგება ხორციელდება მანამდე, სანამ მდგრელი ΔU არ გახდება ნულის ტოლი. ამით ძაბვის დანაყენის მორგების პროცესი მთავრდება და აარ ჩაირთვება მუშაობაში.

გენერატორის ზუსტი სინქრონიზაციის დროს ძღმ ადარებს გენერატორის ძაბვის მნიშვნელობას ქსელის ძაბვის მნიშვნელობას, ზემოქმედებს მათ სხვაობაზე და რეგულატორის დანაყენის ცვლილებაზე და ხორციელდება გენერატორის ძაბვის მორგება ქსელის ძაბვასთან. მორგების პროცესის დამთავრების შემდეგ შეიკვრება რელეს კონტაქტები და ნებადართული ხდება სინქრონიზაცია.

մածցու ծլոյտան (մի) մոյթօդեծա օգրետայ մածցա Ռյակիոյլո դյենու ծլոյտան (Ռժծ-1), ռոմելու პրոპորցիոյլու գյերաթորու դյենու Ռյակիոյլո մջայելու մածցելու, դա Ռժծ-2 ծլոյտան, գամոսավալո մածցա, ռոմելու պրոպորցիոյլու գյերաթորու դյենու Ռյակիոյլո մջայելու, դա Ռժծ-2, գամոսավալո մածցա, ռոմելու պրոպորցիոյլու քարալյուրած մոմյազա գյերաթորյեծու չամյուրո դյենու Ռյակիոյլո մջայելու էծու. Կորչելու սոցնալու ճակարյեծու եռուցոյլու ան ամամալյեյլու Ծրանսցորմաթորու Ռյակիոյլու Վոնալու կոմպյենսացու, ռատա մոցու սոնկրոնյուլո գյերաթորու գարյ մասասուատյելու սասյորչելու սբաթոնմո սաճցորու մաճալո մածցու սալթյե, ան գարյ մասասուատյելու սբաթու սբաթու սբաթու, ռատա մջայելու գաճանաճու դայուրու Ռյակիոյլո ճաթչորու քարալյուրած մոմյազա գյերաթորյեծու մորու սայրու սալթյե.

Կորչել Շյմտեցյաշո սոցնալո Ռժծ-1-ճան մոյթօդեծա մի-ու Շյսասցլյունյե ուշ, ռոմ ոնցյէլցոյրո ճաթչորու գաթրու Շյմտեցյաշո գյերաթորու մածցա գաթոնարդու, եռու ճալու անուանու Ծրանսցորմաթորու մաճալո մածցու մեսարյա Շյնարիյնյելու ոյնյ Շյուլյու սբաթոնմո, ռոմլու սու մու Շյուլյեծա ոյու Ռյակիոյլու աճու.

Մյուրյ Շյմտեցյաշո սոցնալո Ռժծ-1 ծլոյտան մոյթօդեծա և եցա նոմնու դա ոնցյէլցոյրո ճաթչորու գաթրու գյերաթորու մոմկյերյենյե մածցա մուրու սբաթոնմու, ռոմլու սու մու ագրետայ Շյուլյեծա ճագաճցունու. ճալու անու Ծրանսցորմաթորու Ռյակիոյլու Վոնալու կոմպյենսացուսատյու գամոսյյեծա սոցնալո Ռժծ-2-ու ծլոյտան.

Դյենու Ռյակիոյլո մջայելու գաթոմա որու ծլոյտան օդյենթյուրու դա Շյսրյուլյեյլու ոյաթոմցրմենու գամմարու սյյմու սայյումյենյե. ծլոյտան Շյմացալ սոցնալյեծա Վարմուաճցյենս Բ ոյանու դյենո դա եաթյու մածցա U_{AC} . Սյյու ագրետայ Ռյակիոյլո դյենու Շյմտեցյաշո ($\varphi = \pm 90^\circ$) Բ ոյանաշո դյենու ըցլու ճայի ան յմտեցյա ոյաթու U_{AC} մածցու ըցլու ճայի, ան ոմյու ճայի սանոնաաճմու ոյանաշո. ամ Շյմտեցյաշո ոյաթոմցրմենու գամմարու ասրյուլյեծա գամմարու ոյանյու ճայի, դա մու գամոսավալյե գյայի մայսոմալյուրո

დადებითი ძაბვა ან უარყოფითი პოლარობით. როცა $\varphi < 90^\circ$ გამოვლინდება თვისება ფაზამგრძნობიარე გამმართველის, და მის გამოსავალზე საშუალო დენის მნიშვნელობა იცვლება *Isinφ*-ის პროპორციულად. შემდგომში აღნიშნული სიგნალი გასაშუალებდება ინტეგრატორის საშუალებით და გაიფილტრება.

გარდა რეგულირების ძირითადი არხებისა, აგზნების ავტომატური რეგულატორში არსებობს დამატებითი არხები და მოწყობილობა, რომლის დანიშნულებაა შეასრულოს ფართო მოცულობის დაცვითი და ტექნოლოგიური ფუნქციები. გენერატორის დაცვის არხი როტორის ან სტატორის დენის გადატვირთვისგან, წარმოქმნიან დენის ბლოკს, გადატვირთვის გაზომვის ბლოკი (გგბ) და როტორის დენის შემზღვეველი ბლოკი (რდშბ).

ჩვეულებრივად სტატორისა და როტორის გადატვირთვის დენების მაქსიმალური დასაშვები მნიშვნელობები არ აჭარბებს ორჯერადს, ნომინალურ დენთან შეფარდებით. აღნიშნული ზღვარზე მეტი დენის შემთხვევაში დენი უნდა შემცირდეს დროის დაყოვნების გარეშე. მცირე გადატვირთვები დასაშვებია დროის გარკვეულ ინტერვალში, დამოკიდებულია გადატვირთვის ჯერადობაზე. რეგულატორში გადახურების შეზღვევა ხორციელდება როტორის ან სტატორის მაქსიმალური დენის მიხედვით. სიგნალის გადამწოდით შეზღვევის დროს გამოიყენება გამოსავალი სიგნალი დენების სელექტორიდან, განლაგებული დბ ბლოკში.

შემსრულებელ მოწყობილობად გადატვირთვის შემზღვეველად წარმოგვიდგება რდშბ ბლოკი. დენის შეზღვევა $2I_{fH}$ დონეზე ხორციელდება ორი მეოთხით. როდესაც დენის მნიშვნელობა მიაღწევს $1,8-2,0 I_{fH}$, ამოქმედდება ფორსირების შემზღვეველი კვანძი, რომელიც დაამოკლებს რეგულატორის გამოსავალს სტაბილიტორის გავლით მიწაზე. რეგულატორის გამოსავალი ძაბვის მნიშვნელობა იზღუდება სიგნალით, რომელიც შეესაბამება როტორის დენს ორჯერადი მნიშვნელობით.

გარდა ამისა, გააჩნია სტატორის დენის შემზღვეველი, ის ხორციელდება დენის რეგულატორით, რომელიც ამოქმედდება იმ

შემთხვევაში, როცა დენის მნიშვნელობა გადააჭარბებს $2I_H$ მნიშვნელობას. დენის რეგულატორი ზემოქმედებს უშუალოდ რეგულატორის გამოსავალზე, ამოკლებს მას მიწაზე მართვადი წინაღობის (განზისტორის) გავლით. დენის რეგულატორის დანაყენი შეიძლება შეიცვალოს $1,5I_H$ ან I_H ტირისტორული გარდამქმნელის გადატვირთვის შედეგად ავარიის საწინააღმდეგო ავტომატიკისა და დაცვის სიგნალის მიხედვით.

$2I_H$ -ზე გადატვირთვის შემთხვევაში და გრაგნილების გადახურების ფიქსირების შემთხვევაში დენის შეზღუდვა ხორციელდება აგრეთვე ორი გზით: ხორციელდება სინქრონული გენერატორის ძაბვის დანაყენის შემცირება მანმადე, სანამ დენი გადატვირთულ გრაგნილში არ მიაღწევს თავის ნომინალურ მნიშვნელობას. (რდშბ-ის ზემოქმედება ძბ-ზე); როტორის დენის შემცირების პროცესის დაჩქარებისათვის მოკლე დროით, ჯერ კიდევ ძაბვის დანაყენება ვერ მიაღწია მნიშვნელობას, რომელიც შეესაბამება ნომინალურ დენს, მუშაობაში შედის დენის რეგულატორი, რომელიც ახორციელებს აგზნების რეგულირებას გადატვირთულო გრაგნილში, ნომინალური მნიშვნელობიდან დენის გადახრის მიხედვით.

აგზნების ფორსირების შემთხვევაში, გამოწვეული მ.შ. ენერგოსისტემაში, შემზღუდველების მოქმედება ბლოკირდება და მოკლე დროით იზრდება აგზნების დენი ნომინალური მნიშვნელობაზე მეტად დროით არა ნაკლები 0.5% .

გადატვირთვის გაზომვის ბლოკის დანიშნულებაა აკონტროლოს გენერატორის თბური მდგომარეობა იმ მიზნით, რომ განისაზღვროს დასაშვები გადატვირთვის დრო დენის მიხედვით, აგრეთვე დროის დაყოვნებით გადატვირთვის განმეორებითი აკრძალვა გენერატორის გაცივების რეჟიმში. გადატვირთვის დასაშვები დრო განისაზღვრება დასაშვები გადატვირთვის მრუდეებიდან, რომელსაც იძლევა გენერატორების დამამზადებელი ქარხანა. ფუნქციონალურად გვაძება გადატვირთვის გამზომისაგან, ანალოგიური გამომრთველი მოწყობილობიდან და გადახურების ფიქსატორისგან, გამოსავალი

სიგნალი, რომელიც წარმოადგენს ბრძანებას რდშბ-ის შემსრულებელი მოწყობილობისათვის.

აგზნების ავტომატურ რეგულატორში შესაძლებელია გამოიკვეთოს გენერატორის გაცივების ორი რეჟიმი: განმეორებითი გადატვირთვის დაშვება (ამ შემთხვევაში ხდება გათვალისწინება გენერატორის მიმღინარე თბური მდგომარეობა) და მისი აკრძალვა გენერატორის სრულ გაცივებამდე.

გენერატორის მიერ მოთხოვნილი მეტისმეტად გაზრდილი რეაქტიული სიმძლავრის მნიშვნელობის შეზღუდვისათვის უკმარაგზნების რეჟიმში ფუნქციონირებს აგზნების მინიმალური შეზღუდვის ბლოკი ამშბ, რომელიც ზემოქმედებს მბ ბლოკზე. აგზნების შეზღუდვისათვის ძაბვის რეგულირების კანონში შემოდის მდგენელი, რომელიც პროპორციულია გენერატორის დენის გადახრისა დანაყენისგან, რომელიც დამოკიდებულია გენერატორის აქტიური დენის მნიშვნელობაზე. გარდა ამისა, მდგრადობის გაზრდის მიზნით აღნიშნულ რეჟიმში გენერატორის მუშაობისას ძაბვის შემზღუდველში შექვანილია სიგნალი, რომელიც პროპორციულია როტორის დენის წარმოებულის. ამშბ-ის ფუნქციონალურ ელემენტს წარმოადგენს გენერატორის აქტიური და რეაქტიული დენების მდგენელების გამზომი, ამავე დროს გენერატორის ძაბვა და მოწყობილობა, რომელიც არგვულირებს შემზღუდველის დახრის მახასიათებელს.

აგზნების ავტომატური რეგულატორის შემადგენლობაში ჩართულია კონტროლის ბლოკი (კბ), რომელიც იძლევა ინფორმაციას რეგულატორის მუშაობის ვარგისიანობაზე და ახორციელებს ავტომატურ გადასვლას პროპორციული მოქმედების სარეზერვო რეგულატორზე, პირველი რეგულატორის მწყობრიდან გამოსვლის შემთხვევაში.

რეგულატორის ბლოკების მკვებავი ძაბვები: სტაბილიზირებული მუდმივი ძაბვა $\pm 12,6$ ვ და ძაბვა $\pm 6,5$ ვ. ძირითადი კვების წყარო (კწ) იკვებება საკუთარი მოხმარების გენერატორის ძაბვიდან 3×380 ვ, სარეზერვო ბლოკი მუდმივი დენის ოპერატიული კვება (მდოკ) ძაბვით 220 ვ. ორივე კვების ბლოკი წარმოადგენს იმპულსური კვების წყაროს

ენერგიის ინდუქციური მაგროვებლით და უზრუნველყოფილია დაცვებით დენის მიხედვით გადატვირთვისაგან და ბლოკის გამოსასვლელზე ძაბვის ამაღლებისაგან.

ზემოთ აღნიშნული ბლოკების გარდა აგზნების სისტემის კომპლექტში საჭიროების შემთხვევაში ემატება მყარი უკუკავშირის ბლოკი (მუკბ), რომელიც შედგება ძაბვის გამყოფისაგან, აგზნების ძაბვის გამზომი მოწყობილობისაგან და გალვანური გამყოფი მოწყობილობისაგან. აღნიშნული მოწყობილობის ბლოკი მოთავსებულია აგზნების მართვის სისტემის კარადაში. გათვალისწინებულია შესაძლებლობა უკუ კავშირის კოეფიციენტის დისკრეტული ცვლილებისა $0,015 \div 0,025$ ზღვრებში. მუკბის მუშაობის დროს ჯამური მაძლიერებლის გადაცემის კოეფიციენტი აუცილებელია გაიზარდოს 5-6-ჯერ.

აგზნების ძაბვის მყარი უარყოფითი უკუ კავშირი (მუკბ) ძირითადათ დანიშნულია აგზნების მახასიათებლების გაუმჯობესებისათვის. აგზნების ავტომატური რეგულატორის საქსპლოატაციო გამოცდილებამ აჩვენა, რომ აგზნების სისტემაში სტატიკური ტირისტორული გარდამქმნელის მუშაობის დროს შეიძლება სისტემამ იმუშაოს აღნიშნული უკუკავშირის გარეშე.

აგზნების ავტომატური რეგულატორში მიკროპროცესორების გამოყენება შესაძლებლობას ხდის რეჟიმების შენარჩუნების სიზუსტის ამაღლებას, შესასრულებელი ფუნქციების მოცულობის გაზრდას, კერძოდ ავტომატური ადაპტირება რეგულატორის ენერგოსისტემის მუშაობაში შეცვლილი პირობასთან, შესაძლებლობა გვეძლევა მივიღოთ მეტი სწრაფქმედება, მივიღოთ უნიფიცირებული გადაწყვეტილება და მათ საფუძველზე მცირე დანახარჯები [45,46,47].

ციფრული ტიპის აგზნების ავტომატური რეგულატორი ახალი სტრუქტურული და ფუნქციონალური ელემენტებით განსხვავდება ნახევრადგამტარული აგზნების ავტომატური რეგულატორისაგან პროპორციული – ინტეგრალური – დიფერენციალური ძაბვის რეგულირების კანონით (პიდ), აგზნების დენის მიხედვით დრმა უკუკავშირი (როგორც უწოდებენ როტორის დენის რეგულატორი),

უზრუნველყოფს სწრაფქმედების გაზრდას, სიზუსტეს და რეჟიმების სტატიკურად მდგრადი არეს გაფართოებას, სტატიკური მახასიათებლების ფორმირების მაღალი სიზუსტე, ძაბვის ცვლილების შესაძლებლობა ავარიის საწინააღმდეგო ავტომატიკის ბრძანების მიხედვით, აგრეგატის სიმძლავრის მიხედვით სტაბილიზაციის არხის თვითაწყობა, აგზების დენის ან ძაბვის რეგულირების რეჟიმების მართვა, თავსებადობა ენერგობლოკის და მთლიანად ელექტროსადგურის მართვის ავტომატიზირებულ სისტემებთან, დისტანციური ან ადგილობრივი გადაწყობა რეგულატორის, გენერატორის სრული შესაძლებლობის გამოყენება უკმარაგზნების რეჟიმში მუშაობის დროს, მომსახურე პერსონალის ინფორმაციის გაფართოებული სისტემა რეგულატორის ცალკეული არხების მუშაობაზე და გენერატორის მუშაობის რეჟიმებზე, რეგულატორის ფუნქციონირების ალგორითმის ცვლილების შესაძლებლობა, მისი კონსტრუქციის ცვლილების გარეშე.

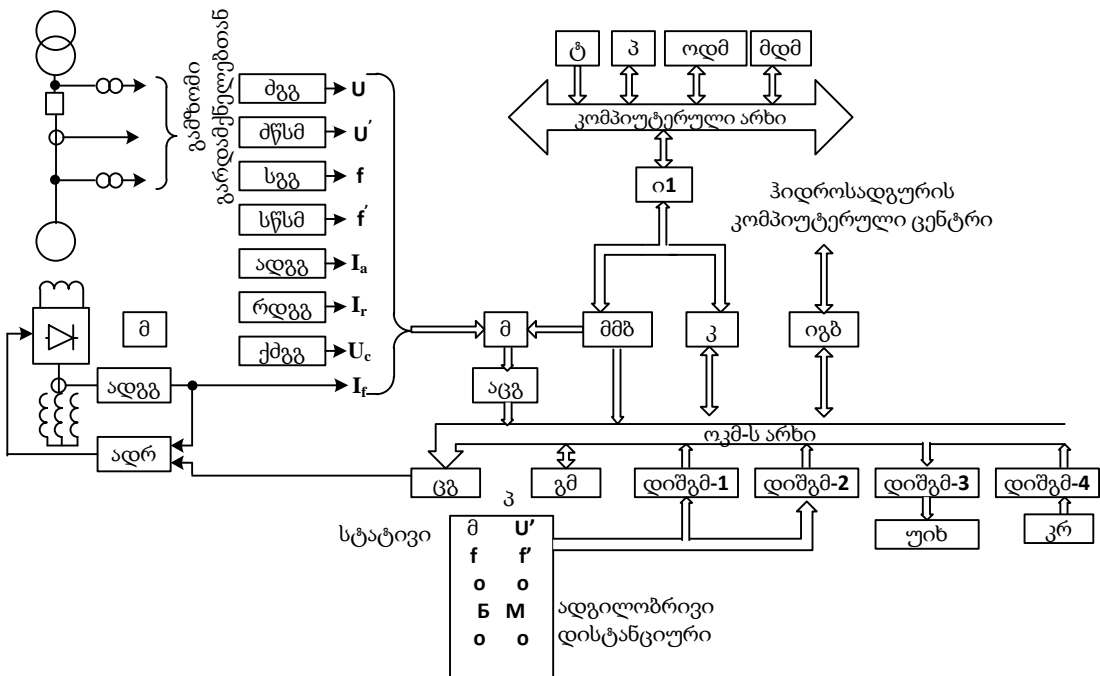
ანალოგიური ინტეგრატორს გააჩნია შედარებით ნაკლები სიზუსტე. ციფრული ინტეგრატორი ხასიათდება მაღალი სიზუსტით. ეს არსებითი გარემოება საშუალებას გვაძლევს შევიყვანოთ რეგულატორში ინტეგრარული მდგენელი რეგულირების კანონში, რის შედეგად იზრდება სტატიკური სიზუსტე რეგულირების.

ციფრული ტიპის აგზების ავტომატური რეგულატორში აგზების რეგულირება ხორციელდება:

1) ძაბვის გადახრის და წარმოებულის მიხედვით, სიხშირის ცვლილების და წარმოებულის მიხედვით; 2) ძაბვის გადახრის და რეაქტიული დენის ცვლილების ინტეგრალის მიხედვით, სტატორის დენის აქტიური მდგენელის წარმოებულის და როტორის დენის წარმოებულის ფუნქციის მიხედვით. ძაბვის რეგულირების კანონი შეიძლება ჩაიწეროს შემდეგი სახით:

$$U_{\text{არ}} = k_{U_0} \Delta U + k_{U_1} U' + k_{f_0} \Delta f + k_{f_1} f' + k_2 \int (\Delta U + \beta I_P) dt + k_3 I_d I_f'$$

ციფრული ტიპის აგზების ავტომატური რეგულატორის ბლოკ-სქემა ნაჩვენებია ნახ. 5.2 [43,48].



ნახ.5.2. აგზების ციფრული რეგულატორის ბლოკ-სქემა.

ძაბვის გაზომვის გარდამქმნელი ($\theta_{\text{გ}}$), ძაბვის წარმოებულის სიგნალის მაფორმირებელი ($d\varphi_{\text{ს}}$), სიხშირის გაზომვის გარდამქმნელი ($\varphi_{\text{გ}}$), სიხშირის წარმოებულის სიგნალის მაფორმირებელი ($d\varphi_{\text{წ}}$), აქტიური დენის გაზომვის გარდამქმნელი ($\alpha_{\text{დგ}}$), რეაქტიული დენის გაზომვის გარდამქმნელი ($\alpha_{\text{რდგ}}$), აგზების დენის რეგულატორი ($\alpha_{\text{დრ}}$), აგზების დენის გაზომვის გარდამქმნელი ($\alpha_{\text{დგგ}}$), ქსელის ძაბვის გაზომვის გარდამქმნელი ($\alpha_{\text{ქგ}}$), ტ-ტაიმერი, პ-პროცესორი, (mab)-ოპერატორული დამამახსოვრებელი მოწყობილობა, მდმ-მუდმივი დამამახსოვრებელი მოწყობილობა, ი1-ინტერფეისის ბლოკი, (θ)-მულტიპლექსორი, მისამართის და მართვის ბლოკე (mab), პ-კომუტატორი, ინფორმაციის გაცვლის ბლოკი (ogd), ანალოგი-ციფრული გარდამქმნელი ($a_{\text{ცგ}}$), ციფროანალოგიური გარდამქმნელი ($c_{\text{ცგ}}$), ობიექტის კავშირის მოწყობილობა ($o_{\text{კმ}}$), გამრავლების მოდული ($\varphi_{\text{გ}}$), დისკრეტული ინფორმაციის შემყვანის და გამოყვანის მოდული ($DADC$), პ-რეგულატორის პულტი, უნივერსალური ინდიკაციის ხელსაწყო ($უიხ$), პლავიშიანი რეგისტრი ($კრ$), U -ძაბვა, U' -ძაბვის წარმოებული, f და f' -სიხშირე და მისი წარმოებული, I_a და I_P –

გენერატორის აქტიური და რეაქტიული დენი, i_f -აგზების დენი, U_c -სისტემის ძაბვა.

გამზომი სისტემები წარმოდგენილია ინფორმაციის გარდამქმნელი ჯგუფით, რომლის გამოსასვლელში ფორმულირდება უნიფიცირებული სიგნალები, რომლებიც თავსებადია ანალოგო-ციფრული გარდამქმნელის შესასვლელში. აგზების რეგულატორის გამზომი ნაწილი უზრუნველყოფს გენერატორის ძაბვის, გენერატორის აქტიური და რეაქტიული დენების, როტორის დენისა და სიხშირის ორობითი კოდის ფორმირებას.

პრინციპულად შეიძლება მივიღოთ აუცილებელი მნიშვნელობა, გვაქვს რა საწყისი მონაცემები დენისა და ძაბვის მყისი მნიშვნელობების. ეს ყველაფერი ცნობილია, როგორც პირდაპირი გაზომვის ვარიანტი. მისი უპირატესობა მდგომარეობს იმაში, რომ არ საჭიროებს დამატებით სპეციალურ აპარატურას. მეორე ვარიანტით გამზომი სისტემა დაკავშირებულია შუალედური გამზომი გარდამქმნელის არსებობასთან.

გამზომი სისტემების ორივე ვარიანტის ანალიზმა აჩვენა, რომ თუ პირველი ვარიანტისათვის გამოიყენება 16-თანრიგიანი მიკროპროცესორი სწრაფქმედებით 1 მილიონი ოპერაციით წამში, პირდაპირი ციფრული გაზომვით შეიძლება უზრუნველყოფილი იქნეს ისეთივე სიზუსტის მაჩვენებელი, სწრაფქმედებისა და დაბრკოლება მდგრადობის, როგორიცაა ვარიანტში გამზომი გარდამქმნელის არსებობისას.

კავშირის მოწყობილობის ბლოკი ობიექტით წარმოდგენილია მოდულების ჯგუფით, გაერთიანებული საერთო სალტეებით და დაკავშირებული ინტერფეისის ბლოკით კომპიუტერის არხთან მულტიპლექსორით ანალოგიური გამზომი სისტემასთან. ობიექტის კავშირის ბლოკში შედის აგრეთვე რეგულატორის პულტი და ინფორმაციის გაცვლის მოდული სადგურის ავტომატიზირებული მართვის სისტემის ზედა დონით. რეგულატორს გააჩნია სახელური რეგულირების კოეფიციენტის დანაყენის რეგულირებისათვის (ცვლილებისათვის) შემდეგი პარამეტრებისათვის $\Delta U, U', \Delta f, f'$.

დისტანციური გადაწყობა რეგულირების კოეფიციენტების
ხორციელდება სადგურის კომპიუტერული არხის მეშვეობით.

კომპიუტერის ბლოკი შეიცავს საერთო არხს, რომელზეც
შეერთებულია პროცესორი, ტაიმერი, აგრეთვე ოპერატორული და
მუდმივი დამამახსოვრებელი მოწყობილობა.

გათვალისწინებულია შემდეგი ძირითადი რეჟიმები: გაშვება,
სინქრონიზაცია, ძაბვის რეგულირება, აგზნების დენის რეგულირება.
ბოლო რეჟიმი მიიღწევა რეგულატორის უკუკავშირის გათიშვით,
შედეგად გამოირიცხება უკუ კავშირი აგზნების დენის მიხედვით და
მიწოდება აგზნების დენის მუდმივი მნიშვნელობა.

აგზნების დენის რეგულირების რეჟიმი შეიძლება აგრეთვე
განხორციელდეს გენერატორის უქმი სვლის მუშაობის დროს, და იმ
შემთხვევაშიც, როცა გენერატორი ჩერდება აგზნების შენარჩუნებით,
როცა სასურველია შევინარჩუნოთ ფარდობა $U/f = const$.

სინქრონიზაციის პროცესს ციფრული აარ-ის დახმარებით გააჩნია
გარკვეული უპირატესობა. ჩვეულებრივად, სინქრონიზაციის პროცესში
ხორციელდება ავტომატური დანაყენის, გენერატორის ძაბვისა და
ქსელის ძაბვის სხვაობის დაყვანა 0,5%-მდე. ციფრული აარ-ს შეუძლია
არა მარტო მორგება დანაყენის, არამედ განახორციელოს თვალთვალი
ქსელის ძაბვის ცვალებადობის.

ინტეგრალური მდგრელი ძაბვის რეგულირების კანონში ამაღლებს
რეგულირების წერტილში ძაბვის დაჭერის სიზუსტეს და
უზრუნველყოფს მკაცრი შესატყვისობას გენერატორის რეაქტიული
სიმძლავრისა მოცემულ სიდიდესთან.

მეორე დამატებითი პარამეტრი სტაბილიზაციის – ნამრავლი
აქტიური დენისა აგზნების დენის პირველ წარმოებულზე –
გამორიცხავს ზოგიერთ ნაკლს, დამახასიათებელი სიხშირის
სიგნალისთვის, და აფართოებს მდგრადობის არეს რეგულირების
კოეფიციენტების სიბრტყეში სიხშირის ცვალებადობის და მისი
წარმოებულის მიხედვით უკმარაგზნების რეჟიმში.

ციფრული აარ-ის საშუალებით იოლად შედის კომპიუტერის
მეხსიერებაში დამოკიდებულებები როტორისა და სტატორის

გადატვირთვის დენებისა დროში. შეზღუდვა სტატორის ან როტორის დენის მიმდინარეობს იმისდა მიხედვით, რომელი მათგანი შეესაბამება გადატვირთვის ხანგრძლივობის მინიმალურ დასაშვებ მნიშვნელობას. რეაქტიული სიმძლავრის მოთხოვნის რეჟიმში ციფრული რეგულატორი უშვებს მოკლე დროით მუშაობას რეჟიმში, რომელიც შესაძლებელია მდგრადობის მიხედვით, მაგრამ არა მისაღებია შუბლური ზონის ხანგრძლივი გახურების პირობის მიხედვით. ყოველივე ამან შეიძლება განავითაროს ავარია ხაზის გამორთვის შემთხვევაში, გენერატორის და მომხმარებლის.

გამოკვლევებმა აჩვენა, რომ ციფრული რეგულატორი უზრუნველყოფს იგივე ზღვარს გენერატორების სტატიკური და დინამიკური მდგრადობის, როგორც ნახევრადგამტარული აარ ძლიერი მოქმედების. ორივე რეგულატორებს აძლევენ კარგ რხევების დემფინირებას. მთელი რიგი სხვა მაჩვენებლებით ციფრული რეგულატორს გააჩნია უპირატესობა ნახევრადგამტარულ რეგულატორთან შედარებით (ცხრ.5.1.).

ცხრილი 5.1. რეგულატორების შედარებითი მახასიათებლები

	ნახევრადგამტარული	ციფრული
სტატიკური სიზუსტე ძაბვის შენარჩუნების, %	1	0,1
თანაფარდობა ზღვრული სიმძლა- ვრებისა თვითგაქანების პირობის მიხედვით, სტაბილიზაციის არხის გამორთვის შემთხვევაში	1	1,6
თანაფარდობა ზღვრული სიმძლავრეებისა თვითგაქანების პირობის მიხედვით, სტაბილიზაციის არხის არსებობის შემთხვევაში	1	1
დასაშვები გადახრა რეაქტიული სიმძლავრის, როცა გამორიცხულია ჯგუფური რეგულირება, %	50	1
ინფორმაციის გადაცემა ცენტრალურ პულტზე გენერატორის სინქრონიზაციის დროს ძაბვების გათანაბრების დრო, წმ	არა	დიას
გენერატორის სინქრონიზაციის დროს ძაბვების გათანაბრების დრო, წმ	-	0,5
ძაბვის დონის პრიორიტეტული მართვა	არა	დიას

აუცილებელია აღინიშნოს, რომ ციფრული რეგულატორის უპირატესობა შეიძლება უფრო მეტად გამოვლინდეს, თუ იქნება დადგენილი ადაპტაციის პრინციპი და მისი რეალიზაციის მეთოდი.

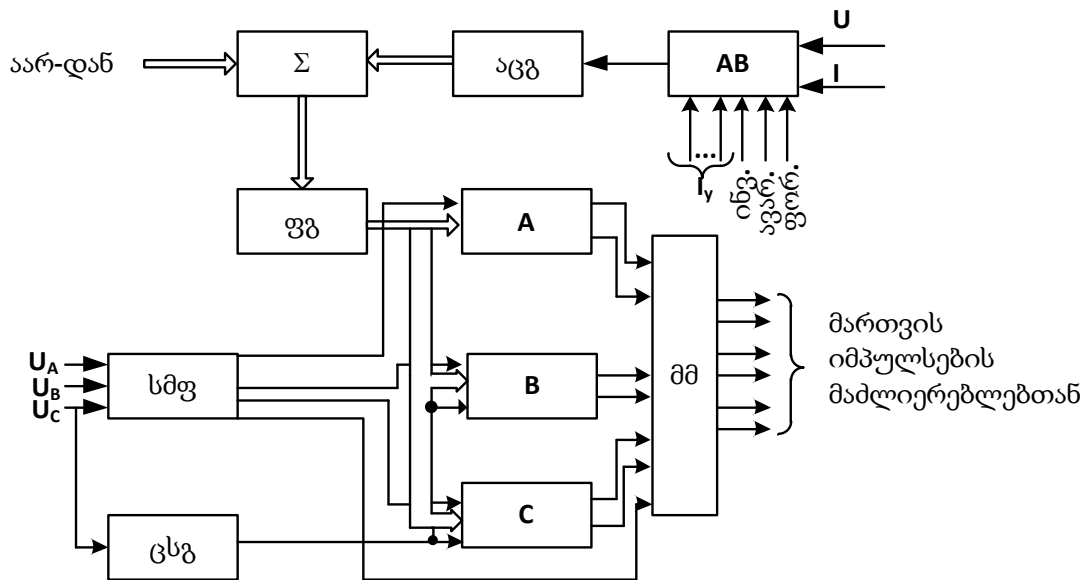
მიკროპროცესორული ტექნიკის გამოყენების არსებით სფეროს მიეკუთვნება ტირისტორული გარდამქმნელის მართვის ციფრული სისტემა. მან უნდა უზრუნველყოს ტირისტორების მართვის იმპულსების მიმღევრობის ფორმირება და მათი ფაზის ცვლილება ძაბვის სიდიდის შესაბამისად, მოდებული ტირისტორზე, და სიგნალებით, მიწოდებული აგზების ავტომატური რეგულატორიდან ან საკუთრივ მართვის ციფრული სისტემიდან.

წარმატებები ციფრული ინტეგრალური მიკროსქემების წარმოების ტექნოლოგიაში მოგვიწოდებს დაუბრუნდეთ მართვის ციფრულ მეთოდებს, მხოლოდ ახალი ელემენტების ბაზაზე.

ფუნქციონალური სქემა ტირისტორული გარდამქმნელის ციფრული მართვის სისტემით მოცემულია ნახ. 5.3.

აღნიშნულ სისტემაში ინფორმაცია, მოცემული ციფრულ ფორმაში, უშუალოდ გარდაიქმნება მართვის იმპულსების ფაზური ძვრის კუთხეში ტირისტორების გაღების მომენტის მიმართ. გარდაქმნა მოცემული კოდის დროის ინტერვალში ხორციელდება მრიცხველის საშუალებით, იმპულსების ათვლის წარმართვით, შექმნილი სპეციალური გენერატორით. ათვლის სიგნალს წარმოადგენს კომუტაციის ძაბვის ნულზე გადასვლის მომენტი, ხოლო მართვის იმპულსი წარმოიქმნება მრიცხველის განულების მომენტში [49,50,51].

მართვის სისტემა შედგება შემდეგი ფუნქციონალური მოდულებისაგან: სამი მრიცხველი A, B და C (ფაზაზე ერთი მრიცხველი), ცვლადი სისტირის იმპულსების გენერატორი – (ცსიგ), სინქრონიზაციის მოწყობილობა ფილტრით - (სმფ), ფუნქციონალური გარდამქნელი ფ.გ., სუმატორი Σ , ანალოგიური შემყვანის მოდული AB (აცგ)-თი და მართვის მოწყობილობა (მმ).



ნახ.5.3. ტირისტორული გარდამქმნელის ფუნქციონალური სქემა ციფრული მართვის სისტემით

მოქმედების პრინციპით სისტემა სინქრონულია, სამარხიანი; მართვის კუთხის ცვლილების დიაპაზონი 0-დან 170 ელ. გრად. მრიცხველი ათი თანრიგიანია, ამიტომ ერთ კოდს შეესაბამება კუთხე 0,2 ელ.გრად.

აგზნების სისტემის მართვის სიგნალები (ფორსირება, დაცვა, როცა მწყობრიდან გამოდის გარკვეული რიცხვი ვენტილების, სიგნალი გარდამქმნელის გადაყვანაზე ინვერტორულ რეჟიმში მანქანის გაჩერების დროს) მიეწოდება ანალოგიურ ფორმაში. მათი რეალიზაცია ხორციელდება ანალოგიური შემყვანის გავლით. ამასთან ერთად, ანალოგიური შემყვანი ახორციელებს აარ-ს სარეზერვო ფუნქციას. ამავე დროს ის ასრულებს ამოცანას პროპორციული მოქმედების ძაბვის რეგულატორის. მას გააჩნია შემცირებული მაძლიერებელი კოეფიციენტი ძაბვის გადახრის მიხედვით (რიგით 20).

მართვის სისტემაში გათვალისწინებულია აგრეთვე შესაძლებლობა მუშაობის ანალოგიური რეგულატორიდან ანალოგიური შემყვანის პლატის გავლით. პლატის დახმარებით შეიძლება უზრუნველყოფილი იქნას, დამოუკიდებელი რეგულირების არხი სინქრონული მანქანის რეჟიმის პარამეტრების ნებისმიერი მნიშვნელობისათვის.

ანალოგიური შემყვანის მოწყობილობა, შემავალი სიგნალები (დანაყენი, წანაცვლება, აგზების ძაბვის ან დენის უკუკავშირის სიგნალი, ავარიის საწინააღმდეგო ავტომატიკის მოწყობილობიდან და ა.შ.), რომელიც წარმოდგენილია ანალოგიურ ფორმაში, დაკავშირებულია დანარჩენ სისტემასთან 10-თანრიგიანი აცგ-თი გარდამქნელის 40 მკ წმ-ის სიჩქარით.

სიგნალები აარ და აცგ-დან მიეწოდება სუმატორში სხვადასხვა დროში შესაბამისი სიხშირით თითოეული მოწყობილობას.

ფუნქციონალური გარდამქნელი წარმოადგენს მუდმივ დამამასსოვრებელ მოწყობილობას, რომელშიც ჩაწერილია ფუნქციის მნიშვნელობების მასივი. ფუნქციონალური გარდამქნელიდან მართვადი სიგნალები გადაიწერება მრიცხველში.

სიგნალი, რომელიც ნებას რთავს ანგარიშზე, მიეწოდება მრიცხველს სინქრონიზაციის პლატფორმის. აღნიშნული სიგნალი სინქრონიზირებულია ხაზური კომუტაციის ძაბვის ნულთან გადასვლის მომენტან.

ლუწი იმპულსები სისტემაში მიეწოდება ცვლადი სიხშირის გენერატორიდან (ცხიგ), მოქმედებს ისე, რომ მასინქრონებელი ძაბვის სიხშირის ცვალებადობის დროს იმპულსების რიცხვი აღნიშნული ძაბვის პერიოდში დარჩეს მუდმივი. უნდა აღინიშნოს, რომ კომპიუტერული ტექნიკის გამოყენება პერსპექტიულია არა მხოლოდ აარ-სთვის ტირისტორების მართვის სისტემაში, არამედ უფრო დიდი გეგმებისათვის როგორიცაა ენერგეტიკული აგრეგატების მართვისათვის. აღნიშნული, პირველ როგორ ეპუთვნის აგრეგატების აქტიური სიმძლავრისა და სიხშირის რეგულირების ციფრულ სისტემებს.

აგზების სისტემებს, აგრეგატების აქტიური სიმძლავრისა და სიხშირის რეგულირებას მიკროპროცესორული შესრულებით გააჩნია ბევრი იდენტური ელემენტები (კვების წყაროები, გამზომი ელემენტები, პროცესორები და ა.შ.) ყოველივე ეს იძლევა შესაძლებლობას ფუნქციონალური ურთიერთზემოქმედებისა.

და ბოლოს დაუბრუნდეთ მიკროპროცესორების გამოყენებას აგზების სისტემაში, განსაკუთრებით შევჩერდეთ მოწყობილობაზე

მართვის, კონტროლის, დაცვის და სიგნალიზაციის. რადიკალურად მარტივდება კონსტრუქცია, მიიღწევა იმედიანობის ამაღლება, ფუნქციის გაფართოება, გაბარიტების და ლირებულებას შემცირება. აგზნების სისტემა გახდება სრულფასოვანი ქვესისტემა ელექტროსადგურის ავტომატიზირებული მართვის სისტემის. ამიტომ მიკროპროცესორული ტექნიკის დანერგვა განსახილველი მოწყობილობაში წარმოადგენს მნიშვნელოვან პირველხარისხოვან ამოცანას.

5.3. ენგურჟესის 306 მგვა სიმძლავრის პიდროგენერატორის ტირისტორული აგზნების მოწყობილობებში ექსპერიმენტალური ელექტრომაგნიტური პროცესები

ცხრილებში 5.2, 5.3, 5.4, 5.5, 5.6 მოცემულია უურნალის ნუსხიდან ამოღებული შეტყობინებების ტექსტი თარიღის დროს კლასის ჯგუფის და კოდის ნომერის ჩვენებით. შეტყობინების ტექსტში ნაჩვენებია სხვადასხვა სახის გამაფრთხილებელი ინფორმაცია, როგორიცაა მაგალითად: გენერატორის დაუბალანსებელი ტვირთი; ხვიათაშორის მოკლე შერთვის გამაფრთხილებელი სიგნალი; სიხშირის სიგნალი; გენერატორის ხვიათა შორის მოკლე შერთვა; სისტემის სიხშირე; უკმარაგზნების შემზღვდველი; მიმმართველის საერთო უწესივრობა; აგზნების გაფრთხილება; საწყისი აგზნების ამომრთველი ჩართულია; გადატვირთვის სიგნალი; საგენერატორო ამომრთველის უწესივრობა; უკმარძაბვის გამაფრთხილებელი სიგნალი; ტემპერატურის განგაში; გენერატორის დიფერენციალური დაცვა, გენერატორის სალტის დიფ. დაცვით გამორთვა; ქვედა საკისარში ზეთის ზედმეტად დაბალი დონით გამორთვა; გენერატორის დენური გადატვირთვა; პიდრავლიკური მართვის საერთო გაფრთხილება; ზედა საკისრის ვიბრაციის გამაფრთხილებელი სიგნალი; ტემპერატურის სიგნალი და სხვა მრავალი. ცხრილებიდან ჩანს თუ რომელი სახის უწესივრობა მეორდება ხშირად. მაგალითისთვის შეიძლება მოვიყვანოთ ტემპერატურის სიგნალი, გენერატორის დაუბალანსებელი ტვირთი, ხვიათაშორის მოკლედ შერთვის გამაფრთხილებელი სიგნალი და სხვა.

უწესივრობის სახეობის ხშირად განმეორების შემთხვევაში მიღებული უნდა იქნეს შესაბამისი ზომები, მათი აღმოფხვრისათვის.

ნახ. 5.4-5.13 მოცემულია პიდროგენერატორის რეჟიმების ელექტრომაგნიტური პარამეტრების ცვლილების ოსცილოგრამები დროში, როგორც დამყარებულ ისე გარდამავალ პროცესებში.

ცხრილი 5.2. შეტყობინების ტექსტი

შეტყობინების ნუსხა									
VShyCon		მასარი		A.W.		გ-1		გ-2	
თარიღი	დროი	კლება	ჯგუფი	კლება	მდგრადი	კლება	მდგრადი	კლება	მდგრადი
759	30/11/16	12:06:36	W.	M5M5	KKS 185	ვწერტარის დაწესდანსტულ ტერიტორიაზე მართვული სამართლებულო სამართლებულო სამართლებულო			
760	30/11/16	12:06:36	W.	M5M5	KKS 217	სამართლებულო მართვული სამართლებულო სამართლებულო			
761	30/11/16	12:06:36	W.	M5M5	KKS 238	სამართლებულო მართვული სამართლებულო			
762	30/11/16	12:06:36	A	M5M5	KKS 190	ვწერტარის ხელმისამართის ზაკულ წერტარი			
763	30/11/16	12:06:36	W.	M5M5	KKS 95	სამართლებულო სამართლებულო			
764	30/11/16	12:06:36	W.	M5M5	KKS 25	სუბიექტურულ უწევებების უწევებები			
765	30/11/16	12:06:36	W.	M5M5	KKS 49	საწყის პრინციპის მიზნების მიზნები			
766	30/11/16	12:06:36	W.	M5M5	KKS 48	სამართლებულო სამართლებულო მართვული სამართლებულო			
767	30/11/16	12:06:36	W.	M5M5	KKS 25	უწევებების უწევებები			
768	30/11/16	12:06:36	W.	M5M5	KKS 59	საწყის უწევებების მიზნების მიზნები			
769	30/11/16	12:06:36	W.	M5M5	KKS 28	კრიტიკული უწევებები			
770	30/11/16	12:06:36	W.	M5M5	KKS 236	სისტემის სისტემა			
771	30/11/16	12:06:36	W.	M5M5	KKS 184	გადატვირთვის სამართლებულო ტერიტორიაზე მართვული სამართლებულო მართვული სამართლებულო			
772	30/11/16	12:06:36	W.	M5M5	KKS 222	სამართლებულო ამონტენებული უწევებები			
773	30/11/16	12:06:36	W.	M5M5	KKS 138	უწევებების მიზნების მიზნები			
774	30/11/16	12:06:36	W.	M5M5	KKS 139	კრიტიკული უწევებები			
775	30/11/16	12:06:36	W.	M5M5	KKS 217	საკალარის მართვული სამართლებული სამართლებული სამართლებული სამართლებული			
776	30/11/16	12:06:36	W.	M5M5	KKS 213	უწევებების კრიტიკული უწევებები			
777	30/11/16	12:06:36	W.	M5M5	KKS 141	კრიტიკული უწევებები			
778	30/11/16	12:06:36	W.	M5M5	KKS 217	საკალარის მართვული სამართლებული სამართლებული სამართლებული სამართლებული			
779	30/11/16	12:06:36	W.	M5M5	KKS 217	საკალარის მართვული სამართლებული სამართლებული			
780	30/11/16	12:06:36	W.	M5M5	KKS 185	ვწერტარის დაწესდანსტულ ტერიტორიაზე მართვული სამართლებული სამართლებული			

ცხრილი 5.3. შეტყობინების ტექსტი

შურალის ნუსხა									
	თარიღი	დრო	კლება	კლება	კლება	კლება	კლება	კლება	კლება
481	30/11/16	12:06:36	W.	M6M6	KKS 185	ანგილიურის დაჭავ ლამინულ ტერილ Siprotec F11/F21			
482	30/11/16	12:06:37	W.	M5M5	KKS 185	ანგილიურის დაჭავ ლამინულ ტერილ Siprotec F11/F21			
483	30/11/16	12:06:37	W.	M5M6	KKS 108	TUG ტეკიკოლოგი ფრენტ P20-24			
484	30/11/16	12:06:37	A	M5M5	KKS 180	ანგილიურის არაურინიცური აუცილებელი Siprotec F11/F21			
485	30/11/16	12:06:37	W.	M5M5	KKS 184	გაღატების ძირის საკედლი Siprotec F11/F21			
486	30/11/16	12:06:37	A	M5M5	KKS 201	ანგილიურის საკედლის დაფარვით პრინციპი			
487	30/11/16	12:06:37	W.	M6M5	KKS 211	ანგილიურის დაჭავ აუცილებელი სამართლის საკედლი სისწოდელი			
488	30/11/16	12:06:37	W.	M5M5	KKS 220	საკედლის დაფარვით პრინციპის სამართლის საკედლი სისწოდელი			
489	30/11/16	12:06:37	A	M5M5	KKS 190	ანგილიურის წყალმინის ჩატვირთვა ზერდა			
490	30/11/16	12:06:37	W.	M5M5	KKS 217	სკალარის ჩატვირთვა ზერდა გამოტონის საკედლი სისწოდელი			
491	30/11/16	12:06:37	A	M5M5	KKS 42	გვერდობულის განერიცება ეპუნტრულ დაცემ ჯერილობა			
492	30/11/16	12:06:37	A	M5M5	KKS 134	კედლის საწარმოებო ურის გაფართოება			
493	30/11/16	12:06:38	W.	M5M5	KKS 138	უნიტების A არჩევის გაფართოება			
494	30/11/16	12:06:38	W.	M5M5	KKS 139	უნიტების B არჩევის უნიტების გაფართოება			
495	30/11/16	12:06:38	W.	M5M5	KKS 28	უნიტების საჭრის დაუსახულებელი			
496	30/11/16	12:06:38	W.	M5M5	KKS 141	უნიტების A და B-ის დროებით უნიტების დაუსახულებელი			
497	30/11/16	12:06:40	W.	M5M5	KKS 170	დაგ-ტენის აღმართვა (BP301) <0.050			
498	30/11/16	12:06:44	A	M5M5	KKS 188	ანგილიურის აუცილებელი გაღატების დაუსახულებელი			
499	30/11/16	12:06:45	A	M5M5	KKS 188	ანგილიურის აუცილებელი გაღატების დაუსახულებელი			
500	30/11/16	12:06:45	W.	M5M5	KKS 215	ანგილიურის გაუმჯობესებულ ტერილ Siprotec F11/F21			
501	30/11/16	12:06:55	W.	M5M5	KKS 234	სტრეს სარჩევლის უზრუნველყოფა გადასახულებელი			
502	30/11/16	12:06:55	W.	M5M5	KKS 55	სტრეს სარჩევლის უზრუნველყოფა გადასახულებელი			

ცხრილი 5.4. შეტყობინების ტექსტი

ვურნალის ნუსა									
	დრო	კუთხი	კუთხი	კუთხი	მოვარი	მოვარი	მოვარი	მოვარი	მოვარი
104	30/11/16 12:07:03	A	M5M5	KKS 56	პლატფორმულ გარემოს სამიზნო გარემო	შეტყობინების ტექსტი			
105	30/11/16 12:07:03	W.	M5M5	KKS 108	TUG ტექსტურის გარემოს სამიზნო გარემო	P20-24			
106	30/11/16 12:07:04	W.	M5M5	KKS 69	TUG-ის სისტემის გარემო	ა-წერტ.			
107	30/11/16 12:07:11	W.	M5M5	KKS 171	დწა არა-ზოდება (BL.02) <25				
108	30/11/16 12:07:15	W.	M5M5	KKS 68	ტექსტურის სისტემა TUG P25-29				
109	30/11/16 12:07:16	W.	M5M5	KKS 30	უფასო სისტემის გარემოს გამოყენების სისტემა	სისტემის გამოყენების სისტემა			
110	30/11/16 12:07:24	W.	M5M5	KKS 30	უფასო სისტემის გარემოს გამოყენების სისტემა	სისტემის გამოყენების სისტემა			
111	30/11/16 12:07:55	W.	M5M5	KKS 234	სუვერენი სამუშაოების გაუძლივებელი ჩართვა				
112	30/11/16 12:07:55	W.	M5M5	KKS 55	პლატფორმულ გარემოს სამიზნო გარემო				
113	30/11/16 12:07:56	W.	M5M5	KKS 68	ტექსტურის სისტემა TUG P25-29				
114	30/11/16 12:07:56	W.	M5M5	KKS 68	ტექსტურის სისტემა TUG P25-29				
115	30/11/16 12:07:56	W.	M5M5	KKS 68	ტექსტურის სისტემა TUG P25-29				
116	30/11/16 12:07:57	W.	M5M5	KKS 155	დწა დრო-ზოდება 2-ში დასახური (BP102) <0.5				
117	30/11/16 12:08:00	W.	M5M5	KKS 68	ტექსტურის სისტემა TUG P25-29				
118	30/11/16 12:08:01	W.	M5M5	KKS 68	ტექსტურის სისტემა TUG P25-29				
119	30/11/16 12:08:01	W.	M5M5	KKS 68	ტექსტურის სისტემა TUG P25-29				
120	30/11/16 12:08:01	W.	M5M5	KKS 155	დწა წევა ტექსტ 2-ში დასახური (BP102) <0.5				
121	30/11/16 12:08:09	W.	M5M5	KKS 68	ტექსტურის სისტემა TUG P25-29				
122	30/11/16 12:08:10	W.	M5M5	KKS 68	ტექსტურის სისტემა TUG P25-29				
123	30/11/16 12:08:10	W.	M5M5	KKS 68	ტექსტურის სისტემა TUG P25-29				
124	30/11/16 12:08:11	W.	M5M5	KKS 68	ტექსტურის სისტემა TUG P25-29				
125	30/11/16 12:08:13	W.	M5M5	KKS 68	ტექსტურის სისტემა TUG P25-29				

ცხრილი 5.5. შეტყობინების ტაქსტი

შურალის ნუსხა									
დარჩენი	დრო	კლასი	ჯგუფი	მატება	მატების მდგრადი დანართი	მატების მდგრადი დანართი	მატების მდგრადი დანართი	მატების მდგრადი დანართი	მატების მდგრადი დანართი
138	30/11/16 12:06:02	W.	M2M2	Kks2/13	მერაბიანის უტოტებები Siprotec F11/F21				
139	30/11/16 12:06:02	W.	M2M2	Kks184	გარეტერეფს სინკ-ლუ Siprotec F11/F21				
140	30/11/16 12:06:02	W.	M2M2	Kks2/13	გვერდის უტოტებები Siprotec F11/F21				
141	30/11/16 12:06:03	W.	M2M2	Kks25	უტოტებების გადატვები				
142	30/11/16 12:06:03	W.	M2M2	Kks184	გადატვის სინკ-ლუ Siprotec F11/F21				
143	30/11/16 12:06:03	W.	M2M2	Kks25	უტოტებების გადატვები				
144	30/11/16 12:06:07	W.	M3M3	KKS 2/13	კერძოდ უტოტებები Siprotec F11/F21				
145	30/11/16 12:06:07	W.	M3M3	KKS 184	კერძოდ უტოტებები Siprotec F11/F21				
146	30/11/16 12:06:07	W.	M3M3	KKS 2/13	გვერდის უტოტებები Siprotec F11/F21				
147	30/11/16 12:06:08	W.	M3M3	Kks 184	გაღატერეფს სინკ-ლუ Siprotec F11/F21				
148	30/11/16 12:06:30	W.	M1M1	Kks2/13	უტოტებების გამოტვილების სინკ-ლუ				
149	30/11/16 12:06:30	W.	M1M1	Kks2/13	უტოტებების გამოტვილების სინკ-ლუ				
150	30/11/16 12:06:36	W.	M5M5	KKS 2/11	მერაბიანის გატ-ტერის უტოტებების სინკ-ლუ				
151	30/11/16 12:06:36	W.	M5M5	KKS 220	სალტ-ა გატ-ტერის გატ-ტერის უტოტებების სინკ-ლუ				
152	30/11/16 12:06:36	W.	M5M5	KKS 185	გვერდის გატ-ტერის უტოტებების სინკ-ლუ Siprotec F11/F21				
153	30/11/16 12:06:36	A	M5M5	KKS 201	გვერდის გატ-ტერის უტოტებების სინკ-ლუ				
154	30/11/16 12:06:36	A	M5M5	KKS 180	გვერდის გატ-ტერის უტოტებების სინკ-ლუ ასე				
155	30/11/16 12:06:36	W.	M5M5	KKS 2/15	უტოტებების გამოტვილების სინკ-ლუ				
156	30/11/16 12:06:36	W.	M5M5	KKS 222	კერძოდ უტოტებების გამოტვილების სინკ-ლუ				
157	30/11/16 12:06:36	W.	M5M5	KKS 2/15	კერძოდ უტოტებების გამოტვილების სინკ-ლუ				
158	30/11/16 12:06:36	A	M5M5	KKS 42	გვერდის გატ-ტერის უტოტებების სინკ-ლუ ასე				
159	30/11/16 12:06:36	W.	M5M5	KKS 185	გვერდის გატ-ტერის უტოტებების სინკ-ლუ Siprotec F11/F21				

Pending: 49 To acknowledge: 0 Hidden 0 List: 1000

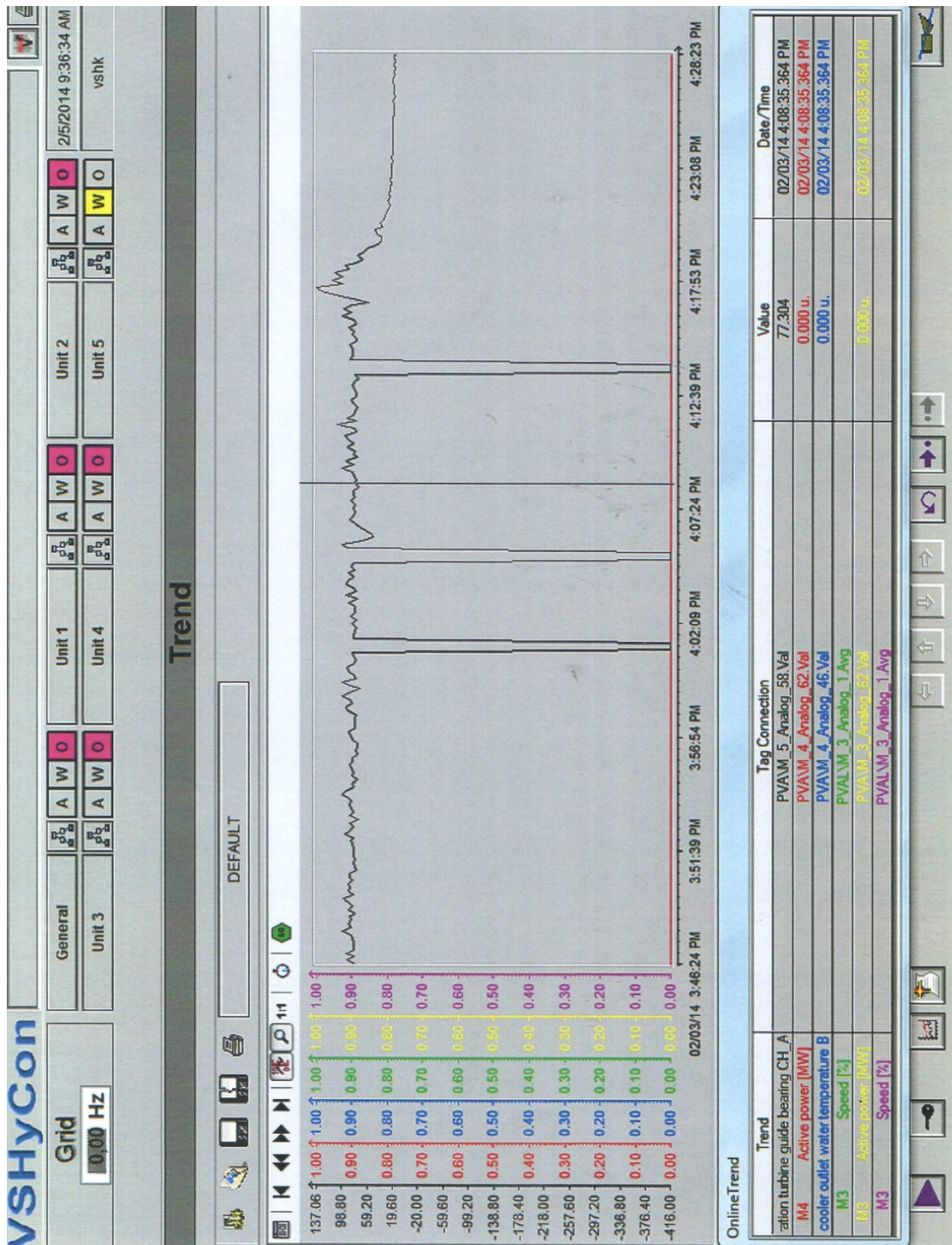
Ready

08	AL	M1	M2	M3	M4	M5
<input type="checkbox"/>						

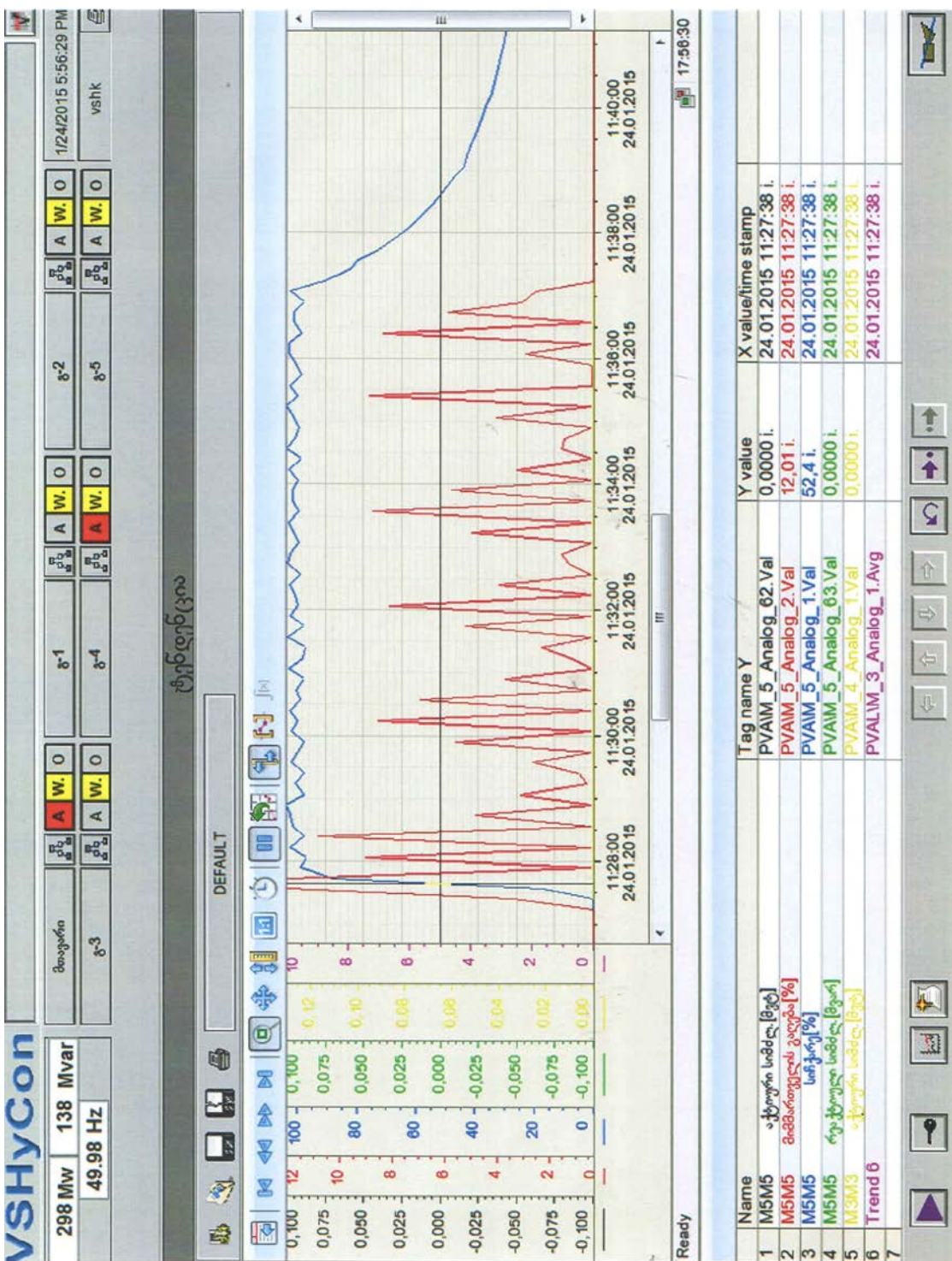


ცხრილი 5.6. შეტყობინების ტექსტი

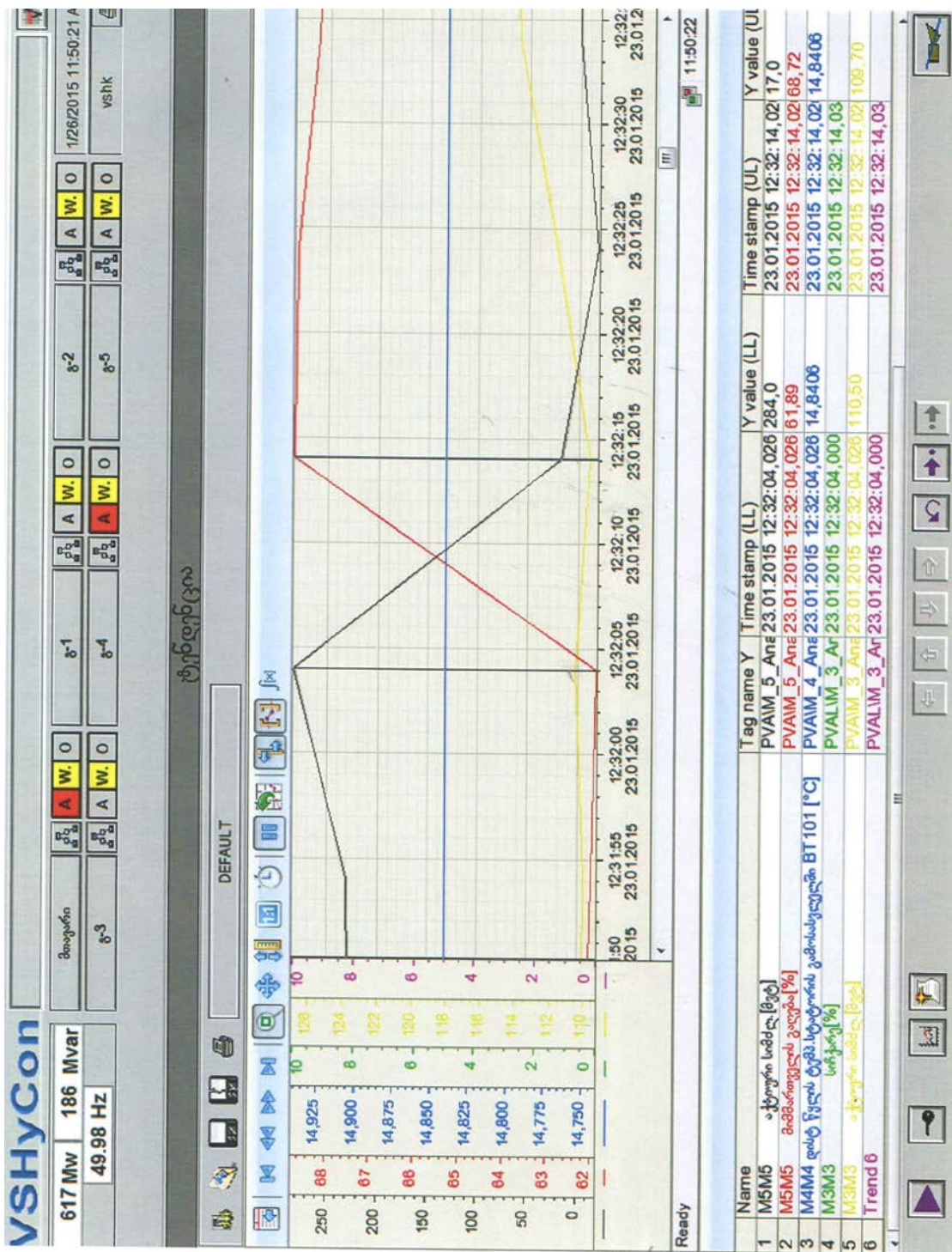
თარიღი	დრო	კუთხი	კოდი	კოდი	მიზანი	მდგრადი	ა. W.	ბ.1	ბ.4	ბ.5	ბ.6	ბ.7	ა. W.	ბ.2	ბ.5	ა. W.	ბ.6	ა. W.	ბ.7	ვ. shk	დ.
I34	30/11/16	12:08:29	W.	M5M5	KKS 153	ღწევ წევა დამატება ტება 1 (BP101) <6,5														1/13/2016 12:52:29	
I35	30/11/16	12:08:31	W.	M5M5	KKS 68	ღწევ ღწევის საწელი TUG P25-29															
I36	30/11/16	12:08:31	W.	M5M5	KKS 155	ღწევ წევა 2-3 ღწევა (BP102) <6,5															
I37	30/11/16	12:08:31	W.	M5M5	KKS 153	ღწევ წევა ტება 1 (BP101) <6,5															
I38	30/11/16	12:08:32	W.	M5M5	KKS 30	უკა საჭროს კონსისტენცია გამაფინანსული საჭრალი															
I39	30/11/16	12:08:38	W.	M5M5	KKS 68	ღწევ ღწევის საწელი TUG P25-29															
I40	30/11/16	12:08:39	W.	M5M5	KKS 68	ღწევ ღწევის საწელი TUG P25-29															
I41	30/11/16	12:08:51	W.	M5M5	KKS 68	ღწევ ღწევის საწელი TUG P25-29															
I42	30/11/16	12:08:52	W.	M5M5	KKS 68	ღწევ ღწევის საწელი TUG P25-29															
I43	30/11/16	12:09:52	W.	M5M5	KKS 68	ღწევ ღწევის საწელი TUG P25-29															
I44	30/11/16	12:08:53	W.	M5M5	KKS 68	ღწევ ღწევის საწელი TUG P25-29															
I45	30/11/16	12:08:54	W.	M5M5	KKS 68	ღწევ ღწევის საწელი TUG P25-29															
I46	30/11/16	12:09:54	W.	M5M5	KKS 68	ღწევ ღწევის საწელი TUG P25-29															
I47	30/11/16	12:08:54	W.	M5M5	KKS 68	ღწევ ღწევის საწელი TUG P25-29															
I48	30/11/16	12:08:57	W.	M5M5	KKS 155	ღწევ წევა 2-3 ღწევა (BP102) <6,5															
I49	30/11/16	12:09:01	W.	M5M5	KKS 68	ღწევ ღწევის საწელი TUG P25-29															
I50	30/11/16	12:09:01	W.	M5M5	KKS 68	ღწევ ღწევის საწელი TUG P25-29															
I51	30/11/16	12:09:01	W.	M5M5	KKS 155	ღწევ ტება 2-3 ღწევა (BP102) <6,5															
I52	30/11/16	12:09:02	W.	M5M5	KKS 68	ღწევ ღწევის საწელი TUG P25-29															
I53	30/11/16	12:09:04	W.	M5M5	KKS 68	ღწევ ღწევის საწელი TUG P25-29															
I54	30/11/16	12:09:04	W.	M5M5	KKS 68	ღწევ ღწევის საწელი TUG P25-29															
I55	30/11/16	12:09:07	W.	M5M5	KKS 68	ღწევ ღწევის საწელი TUG P25-29															



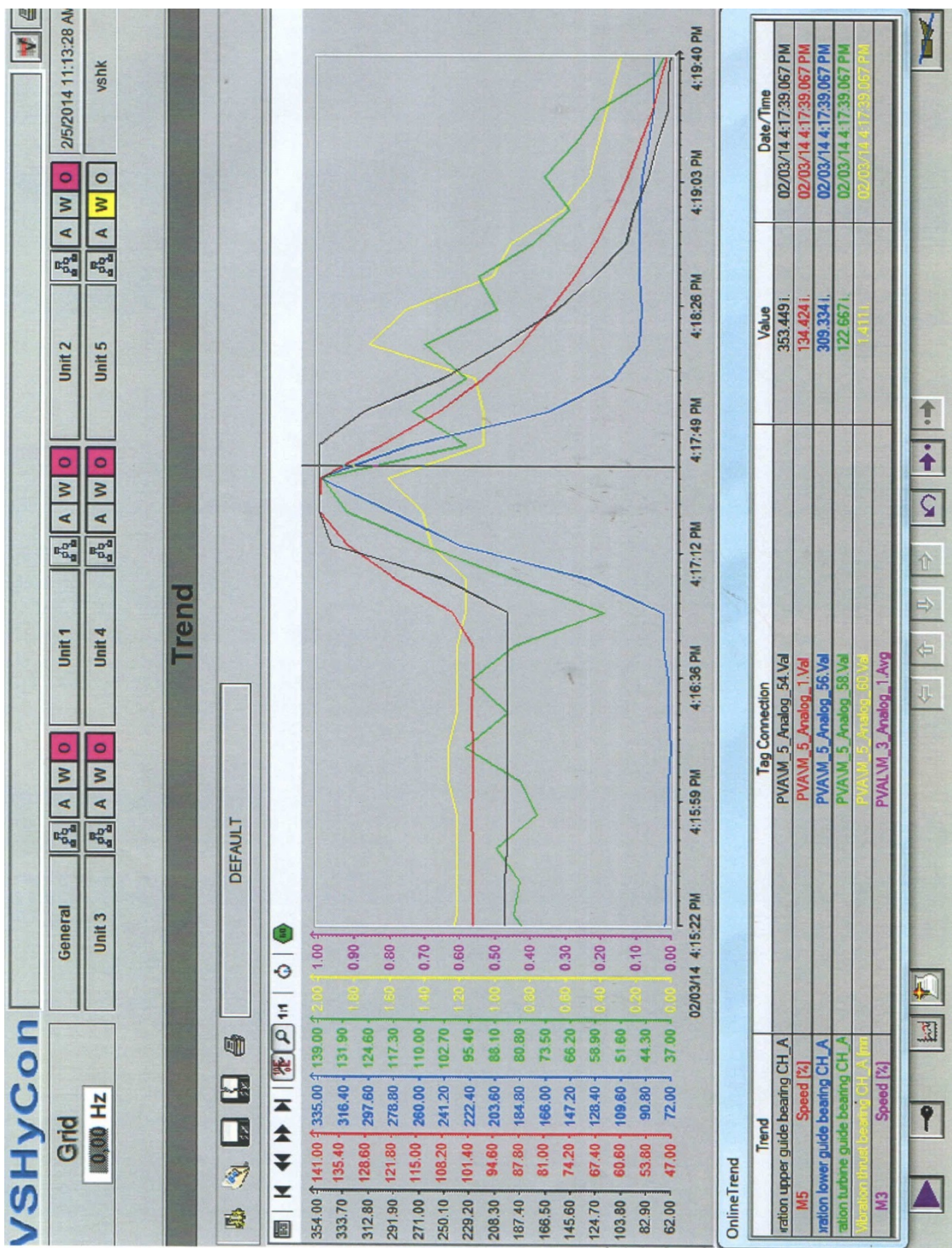
ნახ.5.4. ჰიდროგენერატორის რეჟიმის ელექტრომაგნიტური პარამეტრის ცვლილების ოსცილოგრამები ჩროში



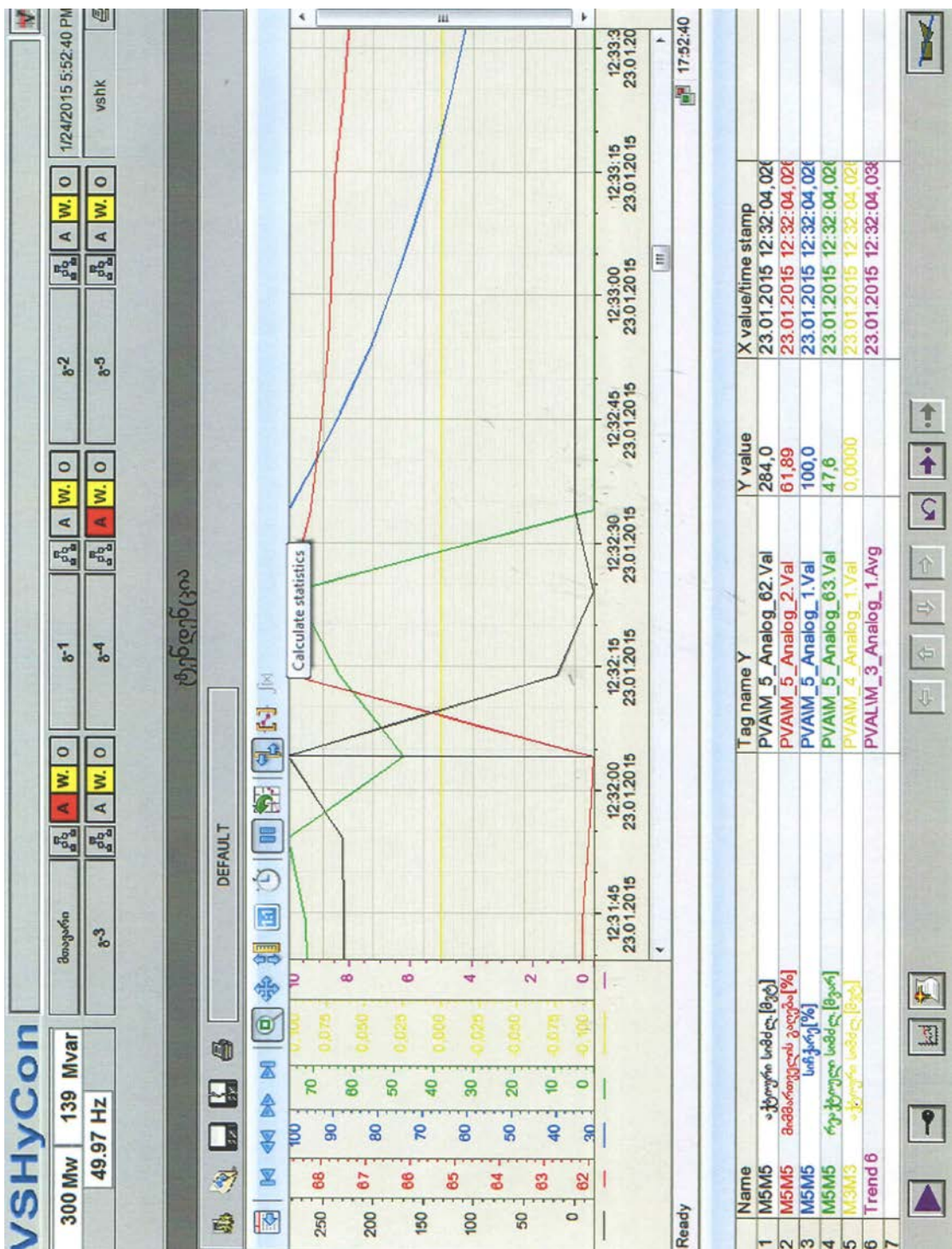
ნახ.5.5. პიდროგენერატორის რეჟიმების ელექტრომაგნიტური პარამეტრების ცვლილების ოსცილოგრამები დროში



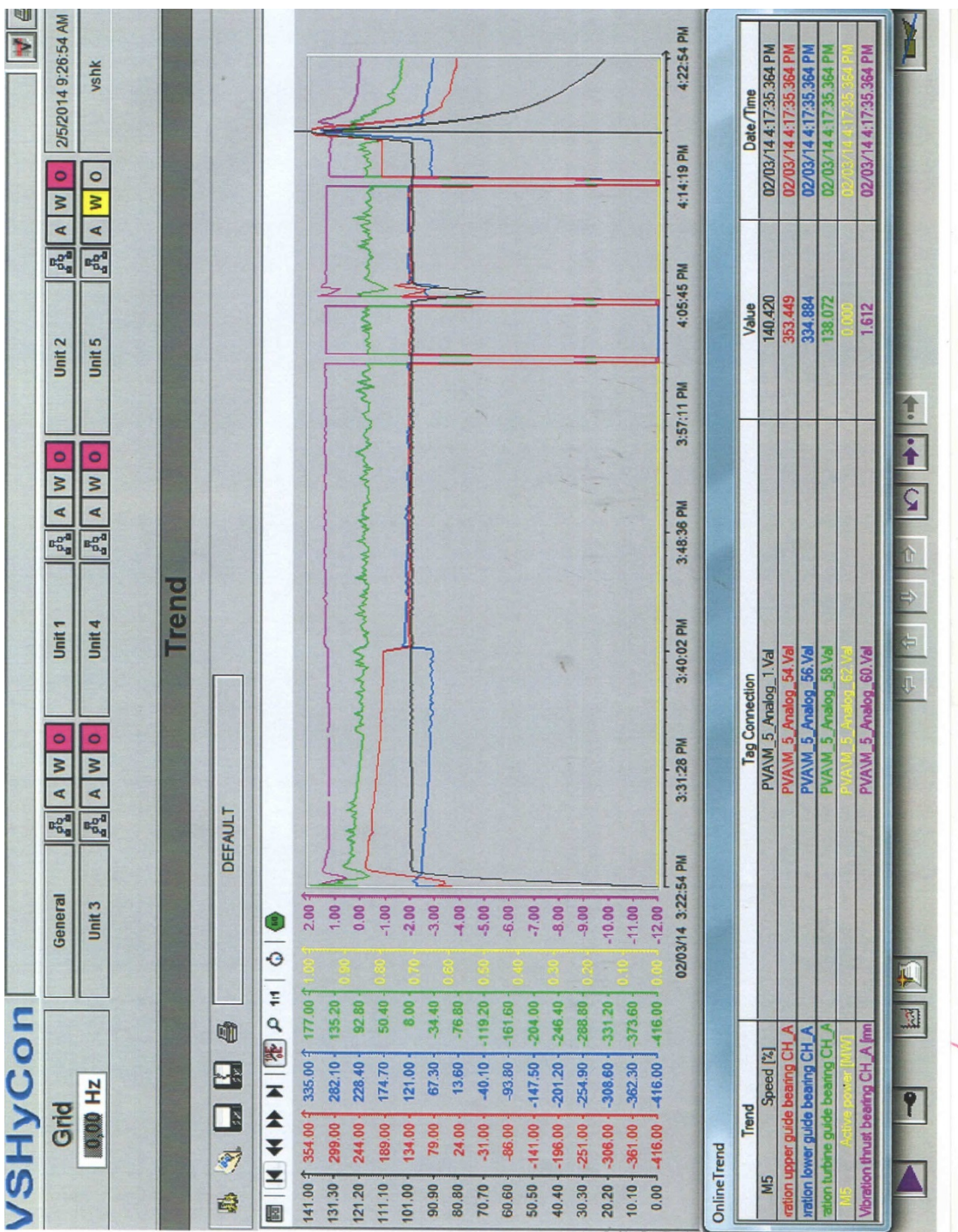
ნახ.5.6. ჰიდროენერატორის რეჟიმების ელექტრომაგნიტური პარამეტრების ცვლილების ოსცილოგრამები დროში



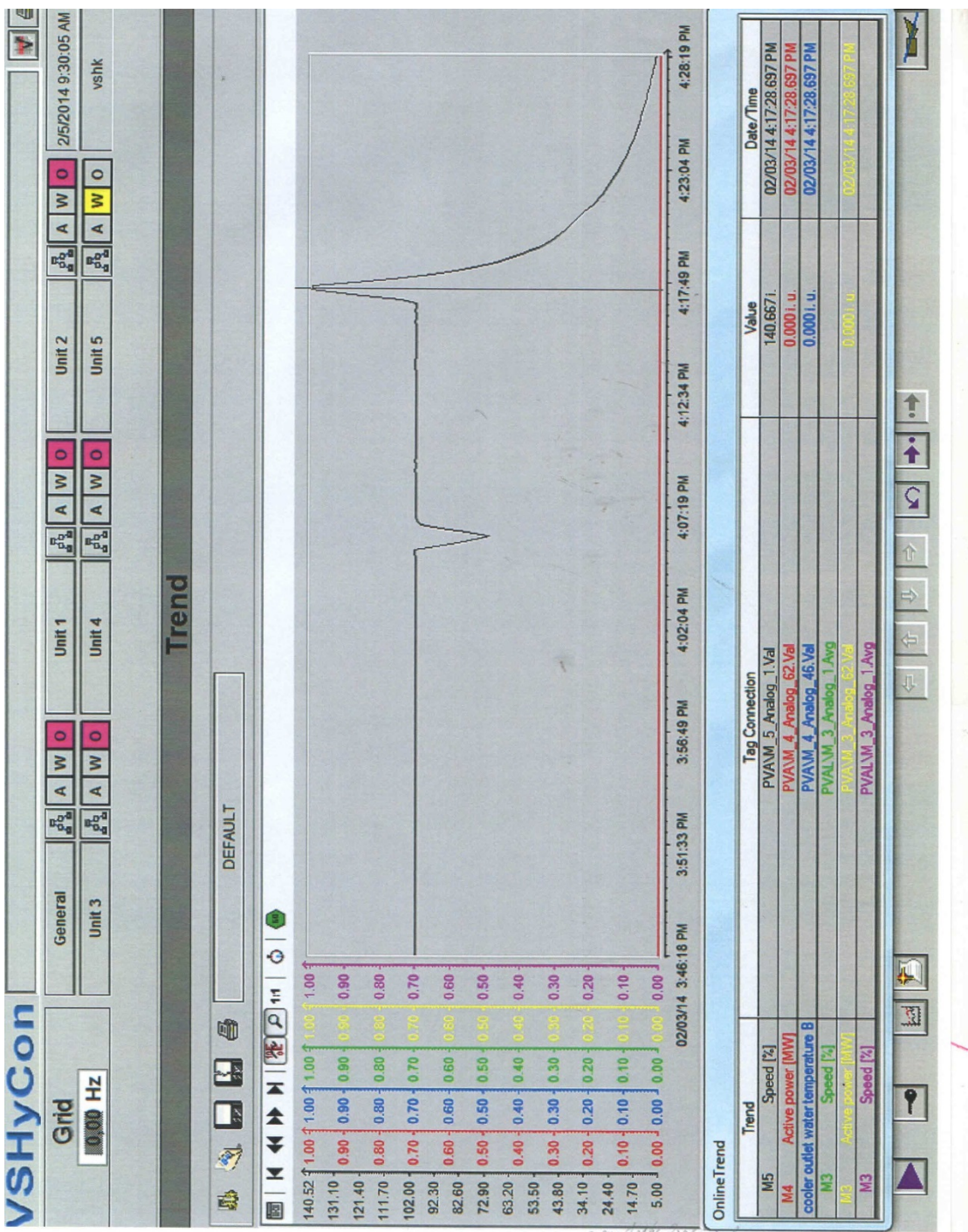
ნახ.5.7. პიდროგენერატორის რეჟიმების ელექტრომაგნიტური პარამეტრების ცვლილების ოსცილოგრამები დროში



ნახ.5.8. პიდროგენერატორის რეჟიმების ელექტრომაგნიტური
პარამეტრების ცვლილების ოსცილოგრამები დროში

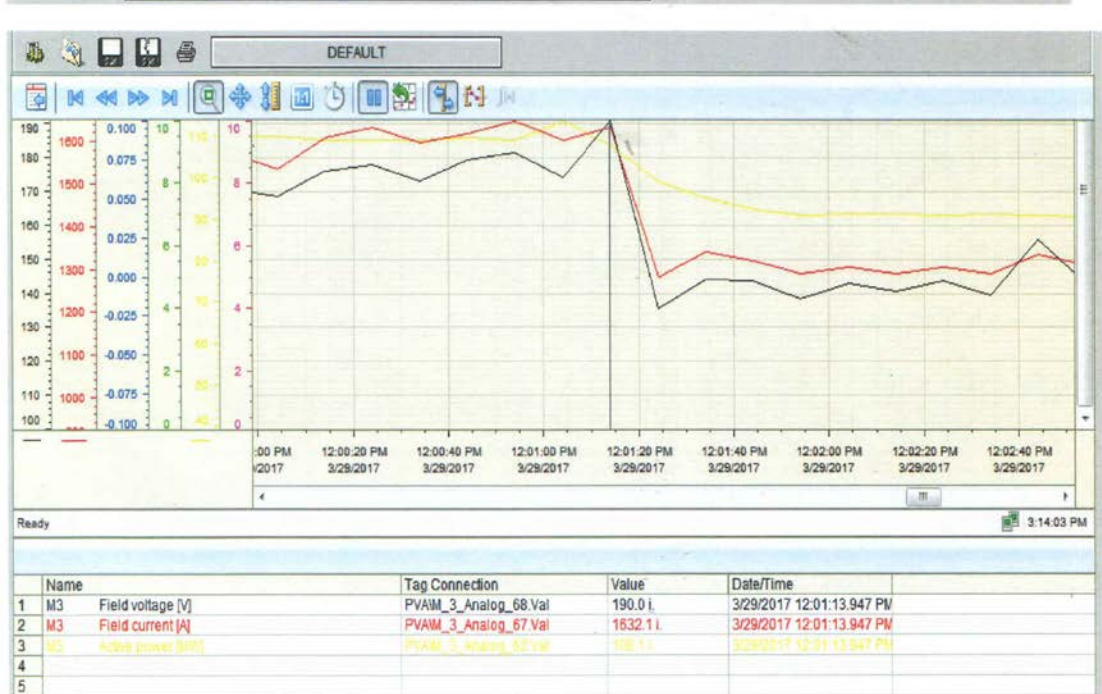


ნახ.5.9. პიდროგენერატორის რეჟიმების ელექტრომაგნიტური პარამეტრების ცვლილების ოსცილოგრამები დროში



ნახ.5.10. პიდროგენერატორის რეჟიმის ელექტრომაგნიტური პარამეტების ცვლილების ოსცილოგრამები დროში

	Date	Time	Class	Group	Code number	Message text	State
864	29/03/17	11:56:00	W	M5	KKS.26	Excitation Overexcitation limit	■■■
865	29/03/17	11:56:00	W	M5	KKS.62	Excitation generator overvoltage limiter is active	■■■
866	29/03/17	11:56:09	W	M5	KKS.26	Excitation Overexcitation limit	■■■
867	29/03/17	11:56:09	W	M5	KKS.62	Excitation generator overvoltage limiter is active	■■■
868	29/03/17	11:56:14	W	M5	KKS.26	Excitation Overexcitation limit	■■■
869	29/03/17	11:56:14	W	M5	KKS.26	Excitation Overexcitation limit	■■■
870	29/03/17	11:56:14	W	M5	KKS.62	Excitation generator overvoltage limiter is active	■■■
871	29/03/17	11:56:14	W	M5	KKS.62	Excitation generator overvoltage limiter is active	■■■
872	29/03/17	11:56:14	W	M5	KKS.26	Excitation Overexcitation limit	■■■
873	29/03/17	11:56:14	W	M5	KKS.62	Excitation generator overvoltage limiter is active	■■■
874	29/03/17	11:56:19	W	M5	KKS.26	Excitation Overexcitation limit	■■■
875	29/03/17	11:56:19	W	M5	KKS.26	Excitation Overexcitation limit	■■■
876	29/03/17	11:56:19	W	M5	KKS.62	Excitation generator overvoltage limiter is active	■■■
877	29/03/17	11:56:19	W	M5	KKS.62	Excitation generator overvoltage limiter is active	■■■
878	29/03/17	11:57:03	W	M3	KKS.26	Excitation Overexcitation limit	■■■
879	29/03/17	11:57:03	W	M3	KKS.62	Excitation generator overvoltage limiter is active	■■■
880	29/03/17	11:57:08	W	M3	KKS.26	Excitation Overexcitation limit	■■■
881	29/03/17	11:57:09	W	M3	KKS.62	Excitation generator overvoltage limiter is active	■■■
882	29/03/17	11:57:11	W	M3	KKS.26	Excitation Overexcitation limit	■■■
883	29/03/17	11:57:11	W	M3	KKS.26	Excitation Overexcitation limit	■■■
884	29/03/17	11:57:11	W	M3	KKS.62	Excitation generator overvoltage limiter is active	■■■
885	29/03/17	11:57:11	W	M3	KKS.62	Excitation generator overvoltage limiter is active	■■■
886	29/03/17	11:57:12	W	M3	KKS.26	Excitation Overexcitation limit	■■■
887	29/03/17	11:57:12	W	M3	KKS.62	Excitation generator overvoltage limiter is active	■■■
888	29/03/17	11:57:13	W	M3	KKS.26	Excitation Overexcitation limit	■■■
889	29/03/17	11:57:13	W	M3	KKS.26	Excitation Overexcitation limit	■■■
890	29/03/17	11:57:14	W	M3	KKS.62	Excitation generator overvoltage limiter is active	■■■

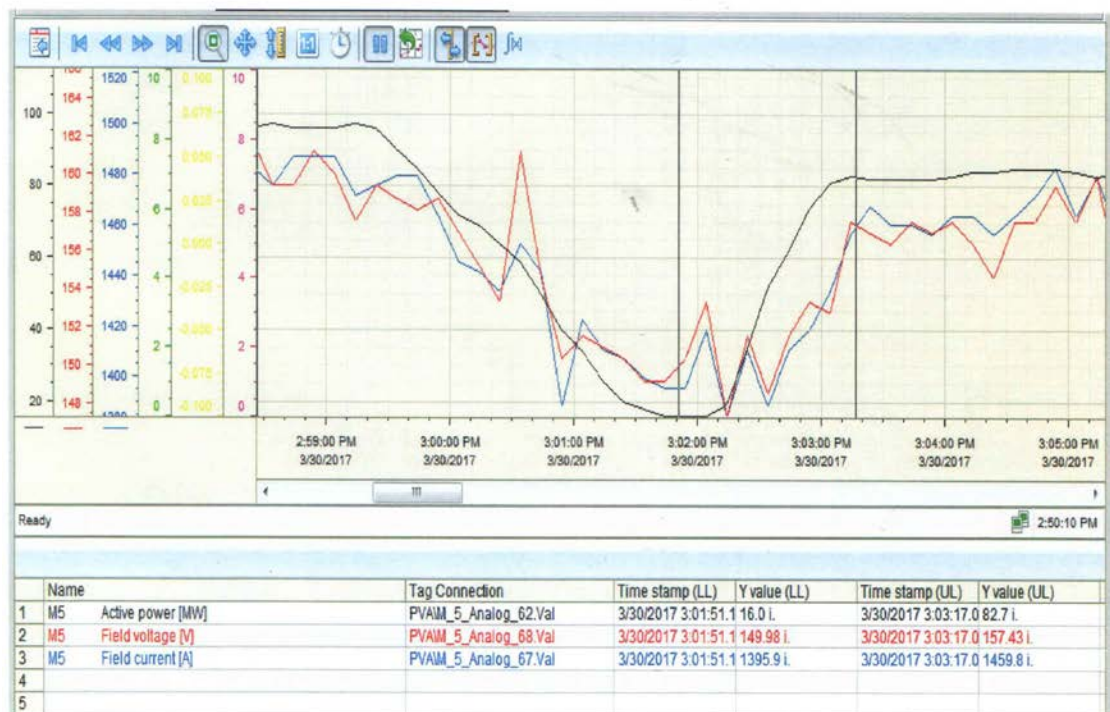


ნახ.5.11. პიდროგენერატორის რეჟიმების ელექტრომაგნიტური პარამეტრების ცვლილების ოსცილოგრამები დროში

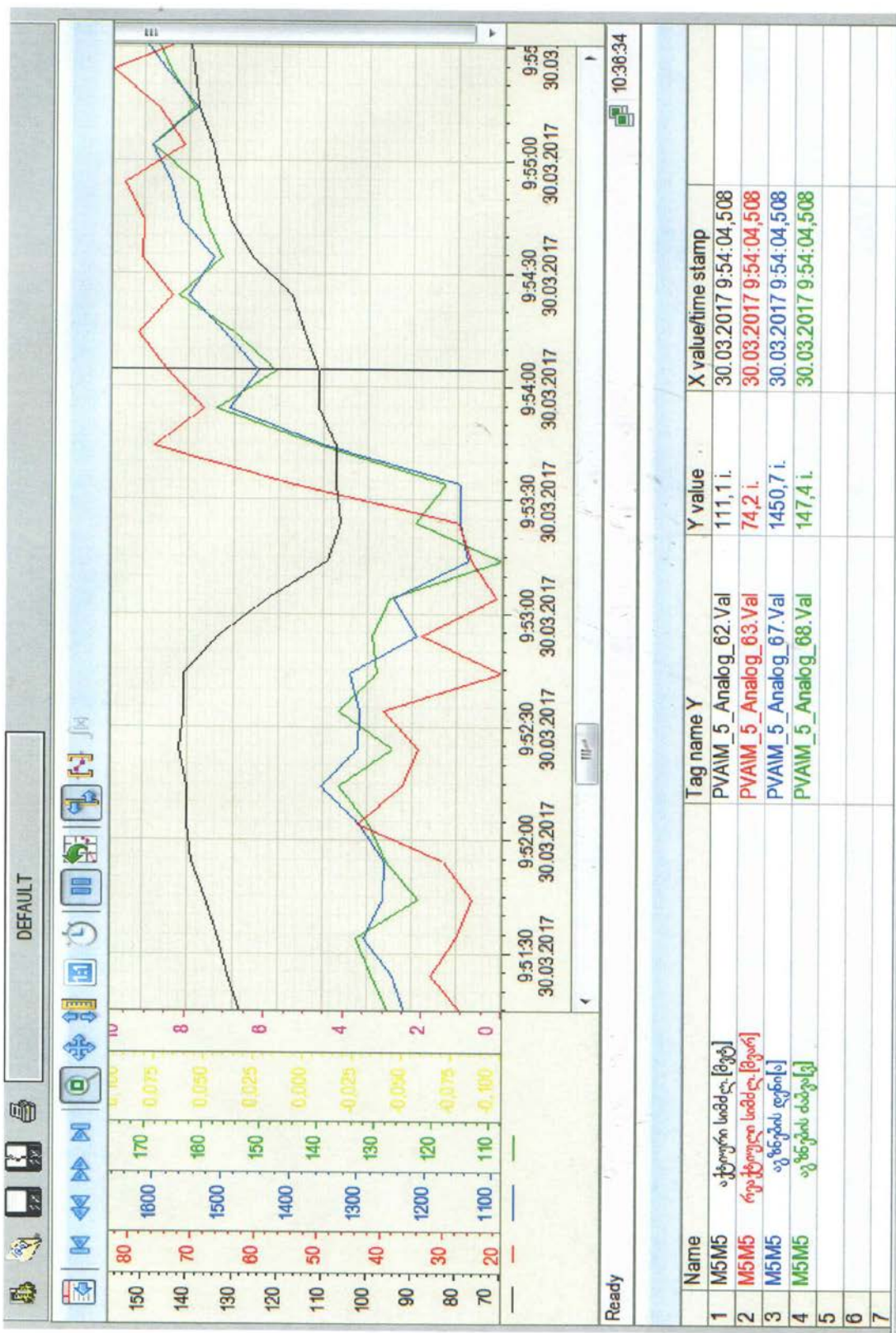
986	30/03/17	12:40:28	W	M2	KKS 36	Fault DP-BUS Warning	<input checked="" type="checkbox"/>
987	30/03/17	12:40:29	W	M2	KKS 60	Excitation U/f limiter is active (Overfluxing)	<input checked="" type="checkbox"/>
988	30/03/17	12:40:32	W	M2	KKS 60	Excitation U/f limiter is active (Overfluxing)	<input checked="" type="checkbox"/>
989	30/03/17	14:17:32	W	M2	KKS 111	Governor Oil Tank Level Low	<input checked="" type="checkbox"/>
990	30/03/17	14:17:41	W	M2	KKS 111	Governor Oil Tank Level Low	<input checked="" type="checkbox"/>
991	30/03/17	14:32:35	W	M2	KKS 111	Governor Oil Tank Level Low	<input checked="" type="checkbox"/>
992	30/03/17	14:55:05	W	M3	KKS 60	Excitation U/f limiter is active (Overfluxing)	<input checked="" type="checkbox"/>
993	30/03/17	14:55:11	W	M3	KKS 60	Excitation U/f limiter is active (Overfluxing)	<input checked="" type="checkbox"/>
994	30/03/17	14:55:18	W	M3	KKS 60	Excitation U/f limiter is active (Overfluxing)	<input checked="" type="checkbox"/>
995	30/03/17	15:06:58	W	M4	KKS 185	Generator unbalanced load Siprotec F11F21	<input checked="" type="checkbox"/>
996	30/03/17	15:06:58	W	M4	KKS 185	Generator unbalanced load Siprotec F11F21	<input checked="" type="checkbox"/>
997	30/03/17	15:07:09	W	M4	KKS 185	Generator unbalanced load Siprotec F11F21	<input checked="" type="checkbox"/>
998	30/03/17	15:30:54	W	M5	KKS 185	Generator unbalanced load Siprotec F11F21	<input checked="" type="checkbox"/>
999	30/03/17	15:09:54	W	M5	KKS 185	Generator unbalanced load Siprotec F11F21	<input checked="" type="checkbox"/>
1000	30/03/17	15:10:04	W	M5	KKS 185	Generator unbalanced load Siprotec F11F21	<input checked="" type="checkbox"/>
1001							

!!!

Ready Pending: 65 To acknowledge: 0 Hidden 0 List: 1000 



ნახ.5.12. პიდროგენერატორის რეჟიმების ელექტრომაგნიტური პარამეტრების ცვლილების ოსცილოგრამები დროში



Տաե.5.13. Ցոდրոցը բարձրագույն ռեզումենիս շահերի վեհապետության մասին պարագայության համապատասխան ցուցանիւնների շահերի պահանջման դրույթը

დასკვნები

1. დამუშავებულია პიდროგენერატორის ტირისტორული აგზნების სისტემაში ელექტრომაგნიტური პროცესების საანგარიშო მათემატიკური მოდელი როგორც სიმეტრიული სამფაზა მოკლე შერთვის ისე არასიმეტრიული მოკლე შერთვის დროს.

2. განხილულია პიდროგენერატორის ინდუქციური წინაღობის გავლენა ტირისტორული აგზნების სისტემის მუშაობაზე და მოცემულია მეთოდი გარე მახასიათებლის აგების. ნაჩვენებია, რომ გარე მახასიათებელი წარმოადგენს არაწრფივ ფუნქციას გენერატორის პარამეტრების, რეგულირების კუთხის და კომუტაციის კუთხის.

3. გამოკვლეულია პიდროგენერატორის ტირისტორული აგზნების სისტემის სხვადასხვა სქემები. მიღებული ფორმულების საფუძველზე აგებულია რეგულირების კუთხის და კომუტაციის კუთხის ცვლილების არე (α, γ) კოორდინატებში. აღნიშნული დიაგრამები ნათელ წარმოდგენას იძლევიან ტირისტორული აგზნების სისტემის ყველა რეჟიმის მუშაობაზე, რეგულირების კუთხის, კომუტაციის კუთხის და ტირისტორის მუშაობის სანგრძლივობაზე.

4. ნაჩვენებია, რომ ტირისტორული აგზნების სისტემაში კომუტაციის დროს მიმდინარეობს არასიმეტრიული მოკლე შერთვა გამმართველი ტრანსფორმატორის მოჭერებზე. ამასთან დაკავშირებით ანგარიშისთვის გამოყენებულია სიმეტრიული მდგრელთა მეთოდი და მოცემულია სრული ანალიზი კომუტაციური პროცესების.

5. გამოკვლეულია ელექტრომაგნიტური პროცესები ტირისტორული აგზნების სისტემის სამფაზა გამმართველის სქემაში ნულოვანი ვენტილით თანაც ანოდური დენის ფორმის განსაზღვრა განხორციელდა გამმართველი ტრანსფორმატორზე ორფაზა მოკლე შერთვის განხილვის საფუძველზე კომუტაციის დროს. მიღებულია ფორმულები ძირითადი პარმონიკის და ანოდური დენის მაღალი რიგის პარმონიკების ამპლიტუდისა და ფაზის მნიშვნელობების განსაზღვრისათვის. მიღებული ფორმულებით გაანგარიშებულია კომუტაციის კოეფიციენტის მნიშვნელობა k_k სხვადასხვა რეგულირების კუთხის α მნიშვნელობების

დროს და აგებულია მრუდეები. ჩატარებული ანალიზის საფუძველზე შეიძლება განისაზღვროს ანოდური დენის პარმონიკების ამპლიტუდა და ფაზა ნორმალურ და ავარიულ რეჟიმებში, როცა ადგილი აქვს ტირისტორების მტყუნებას.

6. გამოკვლეულია ელექტრომაგნიტური პროცესები ტირისტორული აგზების სისტემის სამფაზა ბოგირული გამმართველის სქემაში ნულოვანი ვენტილებით. მიღებული ფორმულების საფუძველზე აგებულია რეგულირების კუთხის α და კომუტაციის კუთხის γ ცვლილების არე ტირისტორული აგზების სისტემის სხვადასხვა რეჟიმებში მუშაობის დროს.

7. ნაჩვენებია, რომ ტირისტორული აგზების სისტემაში ნულოვანი ვენტილის გამოყენება ახდენს მთელი რიგი უწესივრობათა აცილებას, ხარისხოვნად აუმჯობესებს ტირისტორული აგზების სისტემას.

- ნულოვანი ვენტილის გამოყენება ზრდის რეგულირების კუთხის α ცვლილების ზღვარს $\alpha_m = 150^\circ$ -მდე, ნაცვლად $\alpha_m = 90^\circ$ სქემაში ნულოვანი ვენტილის გარეშე. ამგვარად ფართოვდება გამართული ძაბვის საშუალო მნიშვნელობის რეგულირების დიაპაზონი.
- ფაზის ტირისტორის მტყუნების შემთხვევაში ნულოვანი ვენტილი უზრუნველყოფს პიდროგენერატორის ნორმალურ მუშაობას. გამართული ძაბვის საშუალო მნიშვნელობა ფაზის მცირდება უმნიშვნელოდ - $10\div20\%$.
- ამცირებს გარე მახასიათებლის დახრას.
- დრმა რეგულირების კუთხის დროს $\alpha > 80^\circ$: ამცირებს გამართული ძაბვის პარმონიკების სიდიდეს და შესაბამისად პულსაციებს პიდროგენერატორის აგზების დენში, როცა ნულოვანი ვენტილის გამოყენების გარეშე გააჩნია უკუ სურათი: აუმჯობესებს სიმძლავრის კოეფიციენტს $\cos\varphi$.
- იძლევა საშუალებას იმუშაოს დრმა რეგულირების კუთხით და შესაბამისად უზრუნველყოს ფორსირების რეჟიმი ვენტილების მეორე ჯგუფის გამოყენების გარეშე.

8. გამოკვლეულია ელექტრომაგნიტური პროცესები ტირისტორული აგზების სისტემაში სამფაზა ბოგირული სქემის, ნულოვანი გენტილების გამოყენებით და დადგენილია, რომ ნულოვანი ვენტილების გამოყენება ახდენს მთელი რიგი უწესროვობათა აცილებას, ხარისხოვნად აუმჯობესებს ტირისტორული აგზების სისტემის ბოგირულ სქემას. ნულოვანი ვენტილების გამოყენება:

- ამცირებს გარდამქმნელის გარე მახასიათებლის დახრას;
- ზრდის რეგულირების კუთხის დიაპაზონს 150^0 -მდე, იძლევა შესაძლებლობას იმუშაოს დრმა რეგულირების კუთხით და შესაბამისად:
- იძლევა კარგ მაჩვენებელს ვენტილების არასრული რიცხვით მუშაობის დროს, აუმჯობესებს სიმძლავრის კოეფიციენტს;
- ამცირებს ალბათობას ვენტილების ჟაჟ ჩართვისა და გარღვევის; სქემა წარმოადგენს მარტივს და საიმედოს, შეიძლება გამოყენებული იქნეს სინქრონული ჰიდროგენერატორებისთვის ვენტილების მეორე ჯგუფის გარეშე.

9. განხილულია ელექტრომაგნიტური პროცესები თვითაგზების ტირისტორული სისტემაში ნულოვანი ვენტილებით და ექვსფაზა სქემით სამფაზა გამათანაბრებელი რეაქტორით. ნაჩვენებია, რომ მართვადი ვენტილური სისტემა ნულოვანი ვენტილებით ხასიათდება მუშაობის რეჟიმების დიდი სხვადასხვაობით, რომლებიც განსხვავდებიან ერთმანეთისაგან, როგორც რიცხობრივად, ისე ურთდროულად გამტარი ვენტილების შემადგენლობით. აგზების სისტემის გარე მახასიათებელი გამოირჩევა მინიმალური დახრით და დიდი მდგრადობით.

10. მოცემულია ენგურჲესის 306 მგვა სიმძლავრის ჰიდროგენერატორის ტირისტორული აგზების მოწყობილობებში ელექტრომაგნიტური პროცესების ექსპერიმენტალური ოსცილოგრამები.

გამოყენებული ლიტერატურა

1. Глебов И.А. Развитие систем возбуждения и регулирования турбо и гидрогенераторов / И.А. Глебов // Известия РАН. Энергетика. 1996. - №4. – с. 47-63.
2. Симкина, С. Новые решения найдут дорогу на рынок /С. Симкина// Силовые машины. 2007.-№12(108).
3. Симкина, С. На системы возбуждения большой спрос/ С.Симкина// Силовые машины. 2009.-№4(172).
4. Логинов, А.Г. Системы возбуждения турбо-и гидрогенераторов ОАО «Электросила»/А.Г. Логинов// Электротехника. 2003. -№5. – с. 43-48.
5. Синяпольский, В.А. Системы возбуждения производства ООО «СКБ ЭЦМ»/ В.А. Синепольский, А.С. Шелепов //Электрические станции. – 2006. №7. –с. 60-62.
6. Шевченко, В.М. Опыт внедрения тиристорных систем возбуждения нового поколения/В.М. Шевченко, Н.А. Ваккер// электрические станции. – 2006.-№12.с.47-55.
7. Лапиков, Ю.Б. Новое поколение систем возбуждения синхронных машин/Ю.Б. Лапиков//Энергетик. 2008.-№2-с.48.
8. Уланов, С.А. Техническое перевооружение систем возбуждения Ростовской ТЭЦ-2/С.А. Улянов, И.В. Бабков// электрические станции. 2009.- №1.-с. 61-63.
- 9.IEC60034-16-1(2011). Rotating Electrical Machines. Part 16-1: Excitation Systems for Synchronous Machines Definitions/ IEC: 2011. – 26 p.
- 10.IEC/TR 60034-16-2(2011). Rotating Electrical Machines. Part 16: Excitation Systems for Synchronous Machines. Chapter2: Models for Power System studies. - IEC: 199. – 70 p.
- 11.IEC/TR2 60034-16-3(1996). Rotating Electrical Machines. Part 16: Excitation Systems for Synchronous Machines. Section 3: Dynamic Performance. IEC: 1996. – 36 p.
12. Гост 215-58.2000. Системы возбуждения турбогенераторов, гидрогенераторов и синхронных комплектаторов. Общие технические условия. М.: Изд-во стандартов, 2003. – 16 с.

13. Система тиристорного самовозбуждения гидро-и турбогенераторов /А.С. Востраков, С.А. Харитонов, Ю.Н. Золотухин и др. //электротехника. – 2000. -№11, -с.6-11.
14. Логинов, А.Г. Микропроцессорный автоматический регулятор типа АРВ-М для систем возбуждения АО «Электросила» /А.Г. Логинов, А.В. Фадеев//Электротехника 2001. -№9.-с.66-70.
15. Новое оборудование для систем возбуждения и опыт его эксплуатации /В.К. Воробей, С.Л. Иванов, В.В. Кичаев и др.///Электрические станции. 2002. - №11.-с.51-57.
16. Логинов, А.Г. Микропроцессорный автоматический регулятор типа AVR-2М для систем возбуждения завода «Электросила» /А.Г. Логинов.
17. А.В. Фадеев//Электротехника. 2006-№9.-с.54-57.
18. Ваккер, Н.А. Реконструкция тиристорных систем возбуждения типа СТС с частичной заменой оборудования/Н.А. Ваккер, А.В. Тонышев.
19. В.М. Шевченко//Энергетик. 2009.-№3.-с.23-24.
20. Кощев, Л.А. Автоматическое противоаварийное управление в электроэнергетических системах /Л.А. Кощев. Л.: Энергоатомиздат, 1990.-140 с.
21. Глебов, И.А. Электромагнитные процессы систем возбуждения синхронных машин/И.А. Глебов. Л.: Наука, 1987.-344 с.
22. Глебов, И.А. Работа ионного самовозбуждения синхронного генератора при несимметричных повреждениях /И.А. Глебов//сб. работ по вопросам электромеханики. 1960.-вып.3.-с.3-14.
23. Савченко, Е.В. Исследование и повышение надежности работы турбогенераторов с самовозбуждением: автореферат дис.канд.техн.наук./Е.В. Савченко. Л.: ВНИИ электромаш, 1970.-16 с.
24. Вейганд, В.Я. Характеристики трех фазного мостового преобразователя при несимметричных условиях работы/В.Я. Вейгандт// Известия АН СССР. Серия «Энергетика и транспорт». 1984.-№5.-с.42-52.
25. Пооссе, А.В. Схемы и режимы электропередач постоянного тока /А.В. Поссе. Л.:Энергия, 1973.-302 с.

26. Замкнутые системы преобразования электрической энергии. В.А. Жуйков, И.Е. Коротеев, В.М. Рябенький и др.; под ред. В.Я. Жуйкова. К.: Техника; Братислава: Альфа, 1989.-320 с.
27. Зиновьев, Г.С. Основы силовой электроники: учеб. пособие/Г.С. Зиновьев. 3-е изд. испр. и доп.-Новосибирск: Изд-во НГТУ,2004.-672 с.
28. Хохлов, Ю.И. Компенсированные выпрямители с фильтрацией в коммутирующие конденсаторы нечетнократных гармоник токов преобразовательных блоков/Ю.И. Хохлов. Челябинск: Изд-во ЧГТУ, 1995.-355 с.
- 29.Глебов. И.А. Системы возбуждения синхронных генераторов с управляемыми преобразователями/И.А. Глебов. М.; Л.: Изд-во АН СССР, 1960.-336 с.
30. Глебов. И.А. Системы возбуждения мощных синхронных машин/И.А. Глебов, - Л.: Наука, 1979.-315 с.
31. Завалишин, Д.А. Внезапные КЗ турбогенератора с самовозбуждением от ионного преобразователя /Д.А. Завалишин, И.А. Глебов//Электросила. - 1951.-№8.
- 32, Глебов И.А. Научные основы проектирования систем возбуждения мощных синхронных машин. – Л.: Наука. Ленинград. 1988. 332 с.
33. Орурк И.А. Расчет сложных линейных и нелинейных динамических систем применением интегральный уравнений. Тр. Военно-морской академии кораблестроения и вооружения им. А.Н. Крымова. 1956.Вып.12.с.39-55.
34. Виноградов А.А. Вопросы расчета установившегося и переходного режимов синхронного генератора с ионным самовозбуждением: Автореф. дис. ... канд. тех. наук. М.: МЭИ, 1958. 20 с.
35. Фишлер Я.Л., Урманов Р.Н. Преобразовательные трансформаторы. М.: Энергия, 1974. 224 с.
36. Фишлер Я.Л., Ланге В.В. Последовательные вольтодобавочные трансформаторы статических возбудителей синхронных машин//Электричество. 1969, №10. с. 43-48.
37. Ульянов С.А. Короткие замыкания в электрических системах. М.:Л.: Госэнергоиздат, 1949. 319 с.
38. Жданов П.С. Устойчивость электрических систем М.:Л.: Госэнергоиздат, 1948. 399 с.

39. Долбня В.Т. Несимметричное сетечное управление ионными выпрямителями //Электричество. 1959, №4. с.43-48.
40. Uhlmann E. Verbesserung des Leistungsfaktors von gittergesteuerten Mehrphasengleichrichtern//E.U.M. 1937. H.26.S.309-313; H.27.S.323-326.
41. Лутидзе Ш.И., Михневич Г.В., Тафт В.А. Введение в динамику синхронных машин и машинно-полупроводниковых систем. М.: Наука. 1973. 338 с.
42. Ботвиник М.М. Асинхронизированная синхронная машина. М.-М., Госэнергоиздат, 1960.
43. Джентри Ф., Гутцвиллер Ф., Гологъяк Н., Застрев Э. фон. Управляемые полупроводниковые вентили. М.: Мир, 1967. 455 с.
44. Herzog H., Deak J. Schutz von statischen Erregungseinrichtungen und Rotovwicklungen von Synchronmaschinen gegen Überspannungen//BBM. 1982.H.6.s. 207-211.
45. Башнин О.И., Буевич В.В., Каштелян В.Е. и др. Пикропроцессоры в энергетике. Л.: Наука. Ленингр. от-ние, 1982. 190 с.
46. Башнин О.И., Семенов В.В., Степура Э.Ф. Аппаратура группового регулирования активной мощности и частоты агрегатов гидроэлектростанций. Электротехника. 1979. №4. с.12-14.
47. А.с. 660184 СССР. Устройство для автоматического регулирования возбуждения синхронной машины / О.И. Башнин, Н.С. Сырий// Б.И. 1979. №16.
48. Автоматическое регулирование и управление в энергосистемах, Под ред. В.Д. Ковалева. М.: Энергоатомиздат, 1983. 94 с.
49. Горский Ю.М., Ушаков В.А., Смирнов С.С. и др. Цифровой регулятор возбуждения и скорости синхронных машин // Электричество, 1981. №1. с.8-13.
50. Буевич В.В., Глебов И.А., Каштелян В.Е. и др. Перспективы применения микропроцессорной техники для управления электроэнергетическими агрегатами //Изв. АН СССР. Энергетика и трансп. 1981. №6. С.13-21.
51. Буевич В.В., Каштелян В.Е., Кичев В.В., Юрьянин А.А. Цифровое регулирование возбуждения мощных турбо и гидрогенераторов// Системы возбуждения и регулирования мощных синхронных генераторов. Л.: Наука. Ленингр. от-ние, 1986. с.134.
52. კონფერენცია, მებონია დ./ რეგულირებადი პიდროგენერატორი გარდამავალი ელექტრომაგნიტური პროცესები. ენერგია. 2016. №4(80), გვ. 49-54.

53. კოხერეიძე თ., მებონია ლ. პიდროგენერატორის მუშაობა
არასიმეტრიული დატვირთვის დროს. ენერგია. 2016. №4(80), გვ. 55-58.

54. მებონია ლ. პიდროგენერატორის ტირისტორული აგზების
სისტემაში ელექტრომაგნიტური პროცესების მათემატიკური მოდელი. III
საერთაშორისო სამეცნიერო კონფერენცია. ენერგეტიკა რეგიონული
პრობლემები და განვითარების პერსპექტივები. მოხსენებების კრებული.
ქუთაისი, საქართველო. 2015. გვ. 63-66.

55. კოხერეიძე თ., მებონია ლ. პიდროგენერატორის ტირისტორული
აგზების სისტემის წრედებში გადამეტბაბვები. ინტელექტუალი, 2016.
№32, გვ. 133-137.